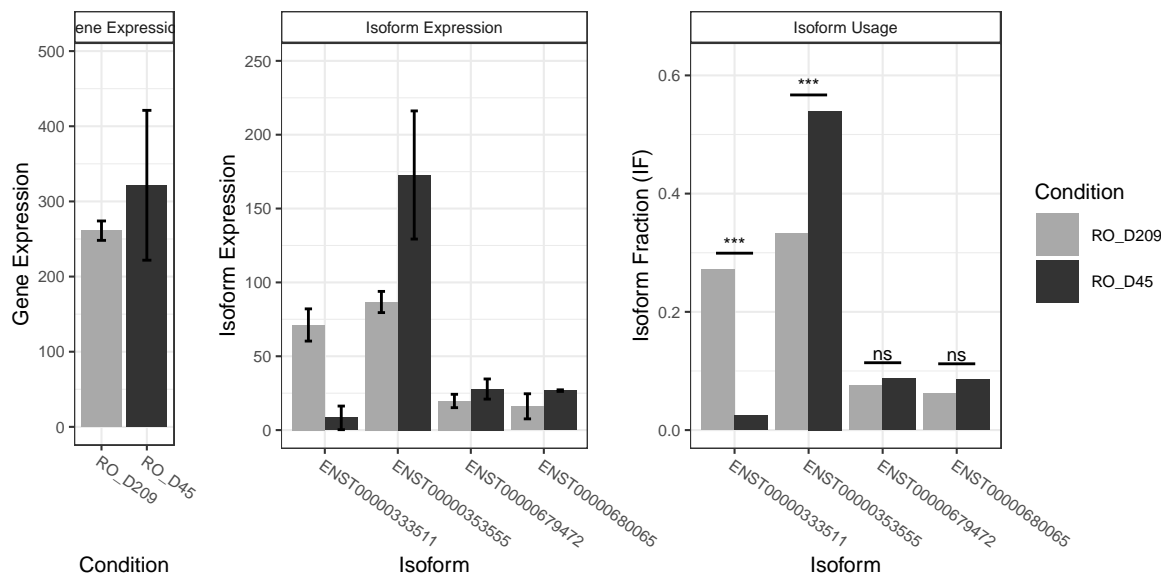
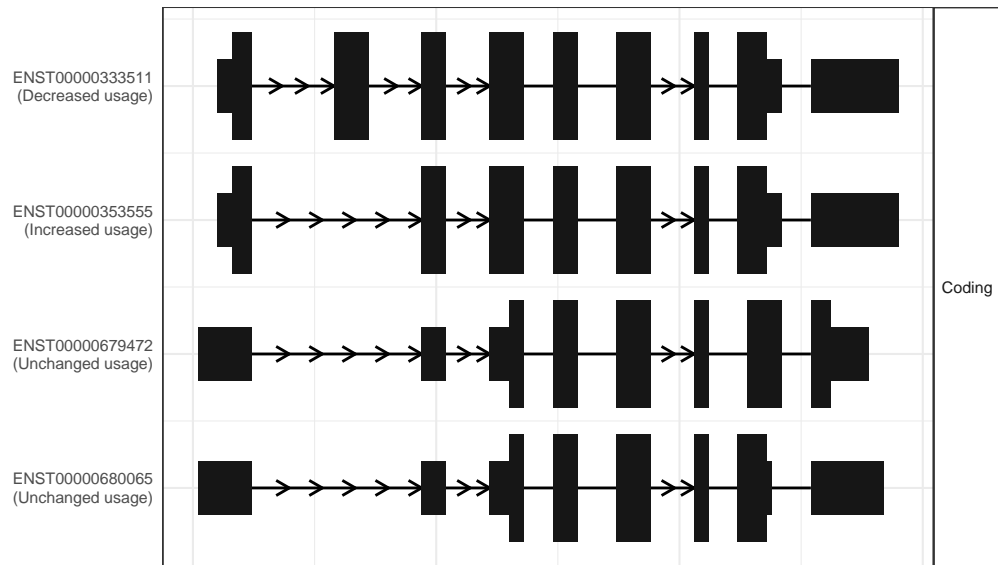
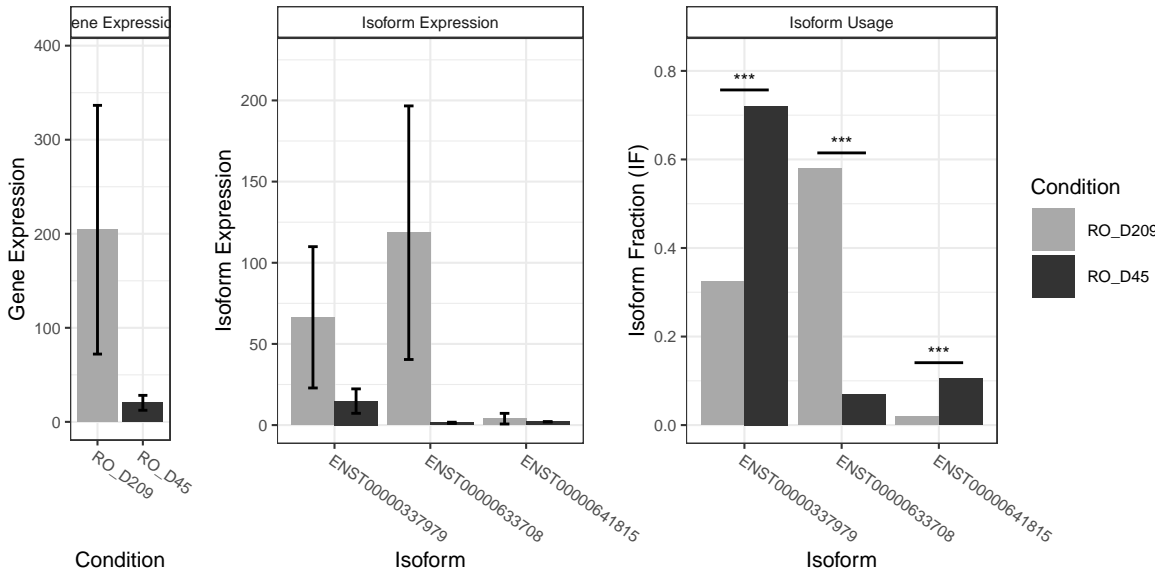
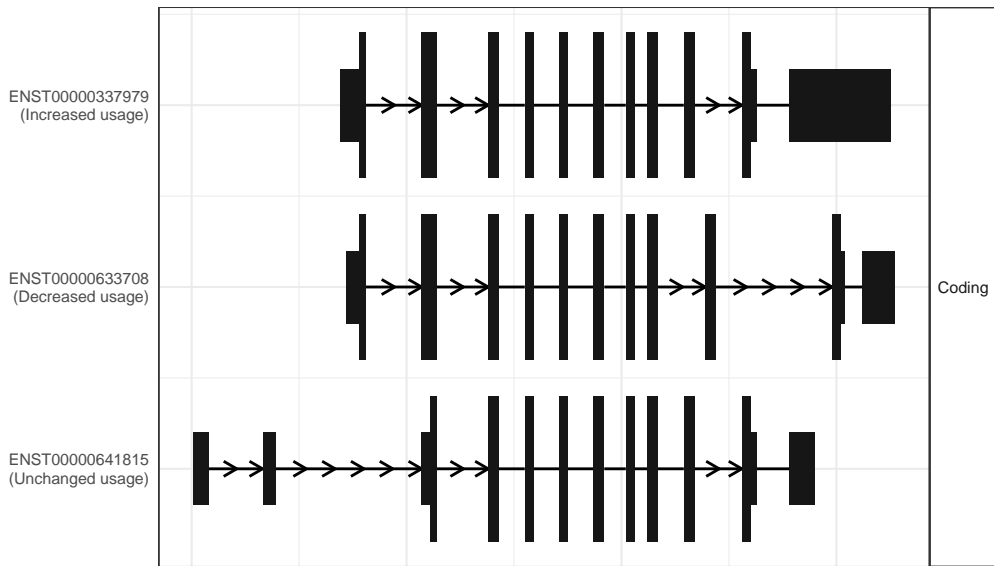


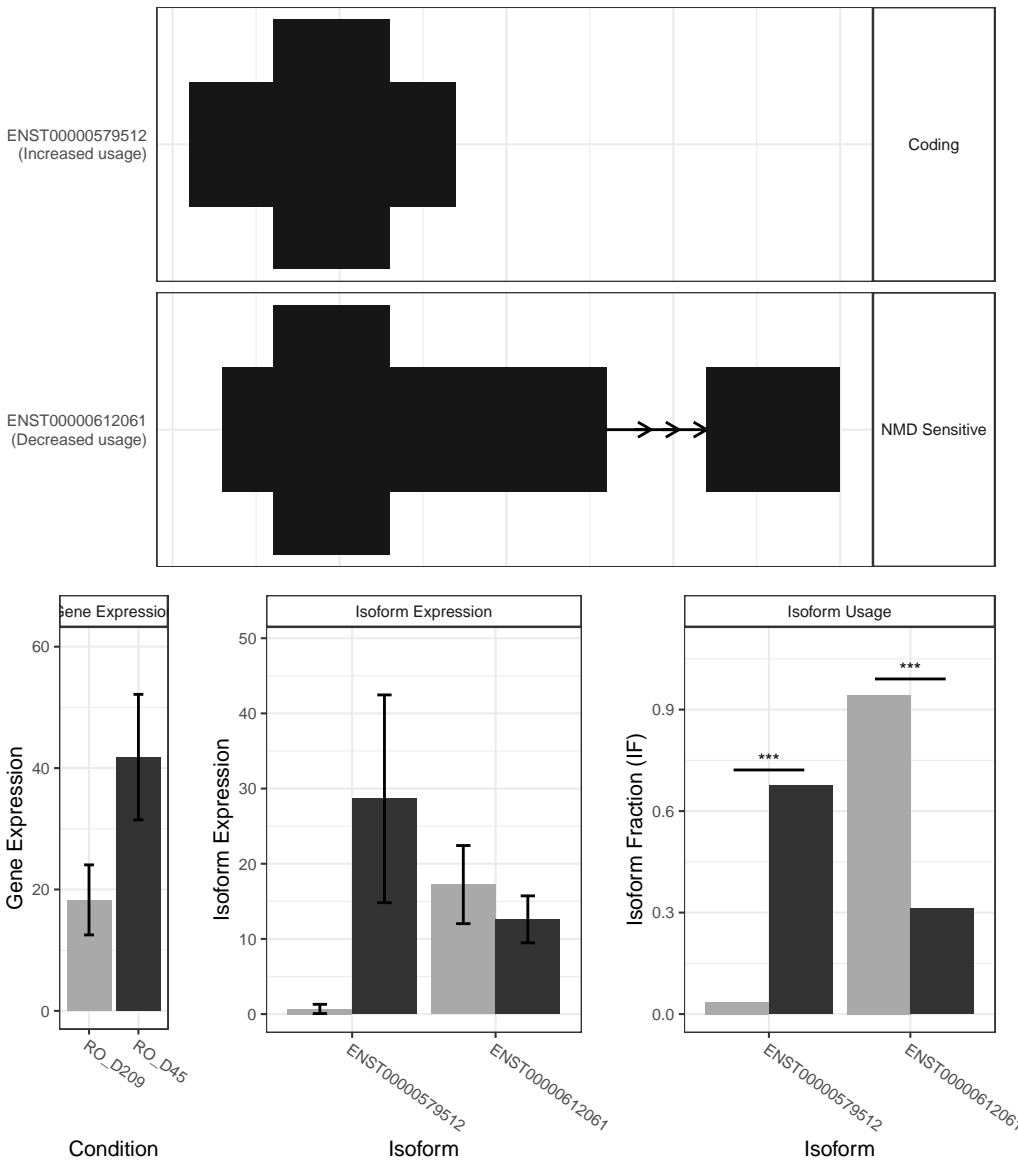
The isoform switch in BSG (RO_D209 vs RO_D45)



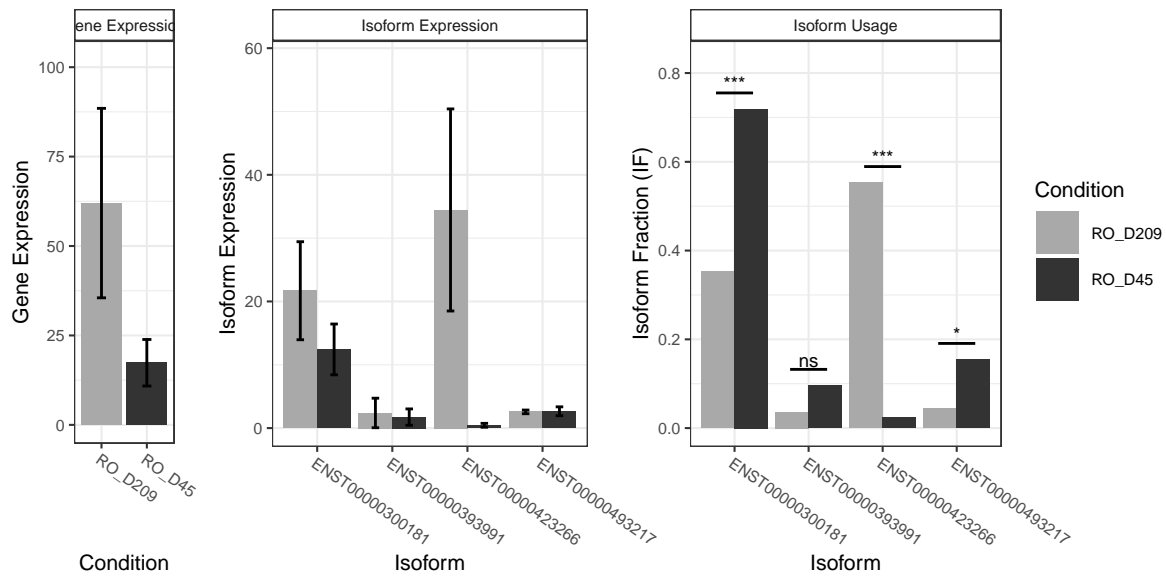
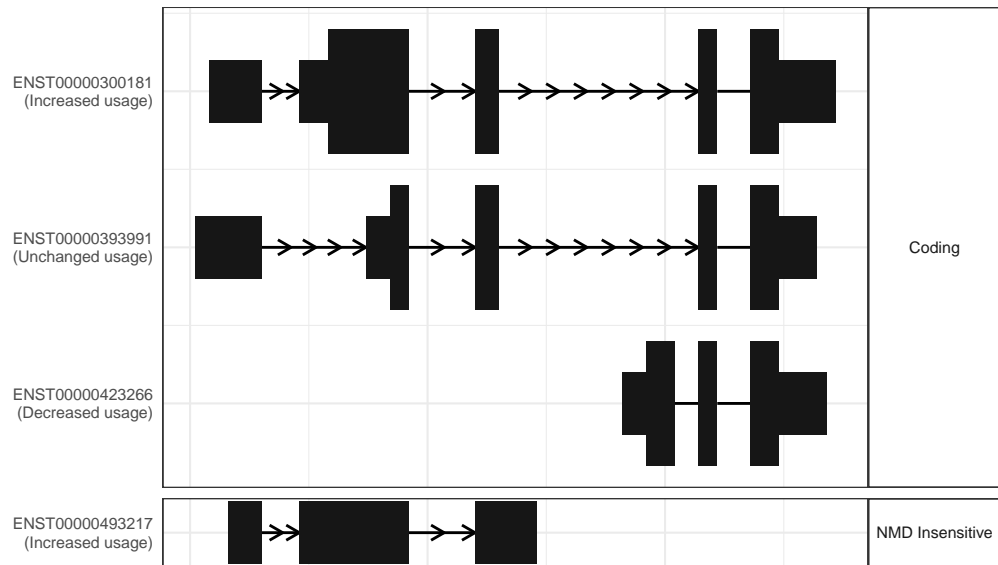
The isoform switch in STX3 (RO_D209 vs RO_D45)



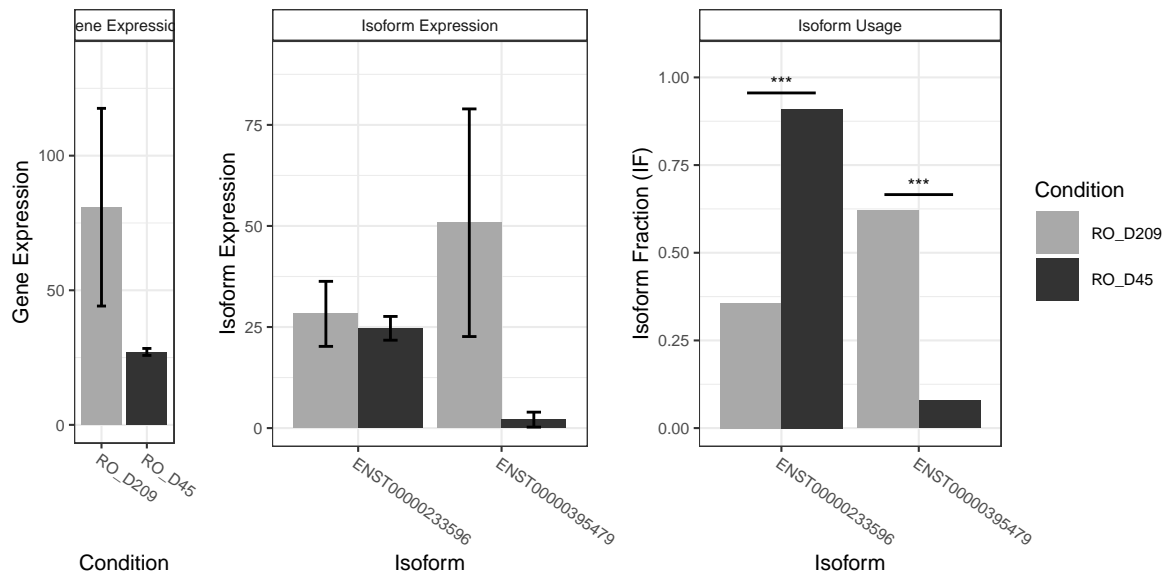
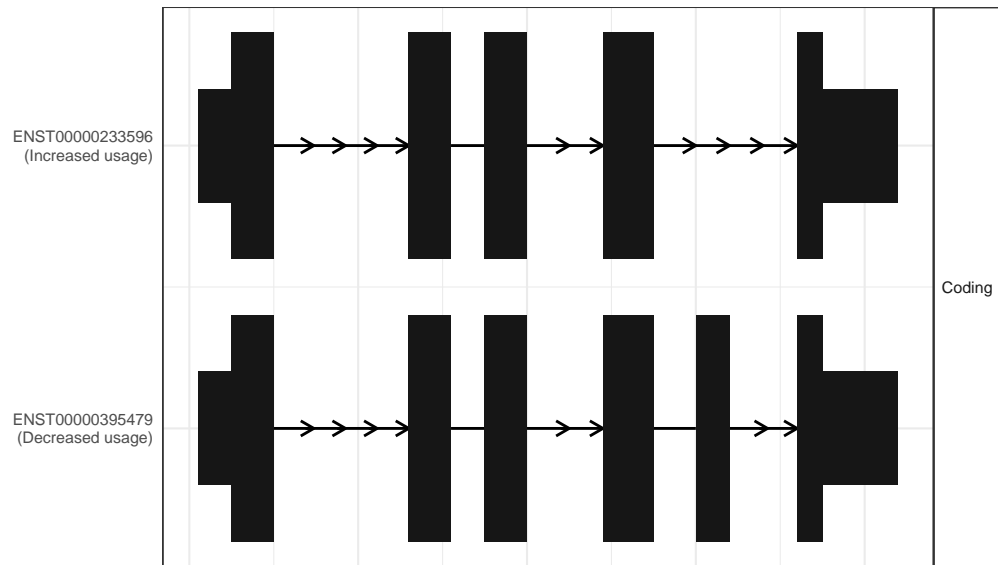
The isoform switch in H4C15 (RO_D209 vs RO_D45)



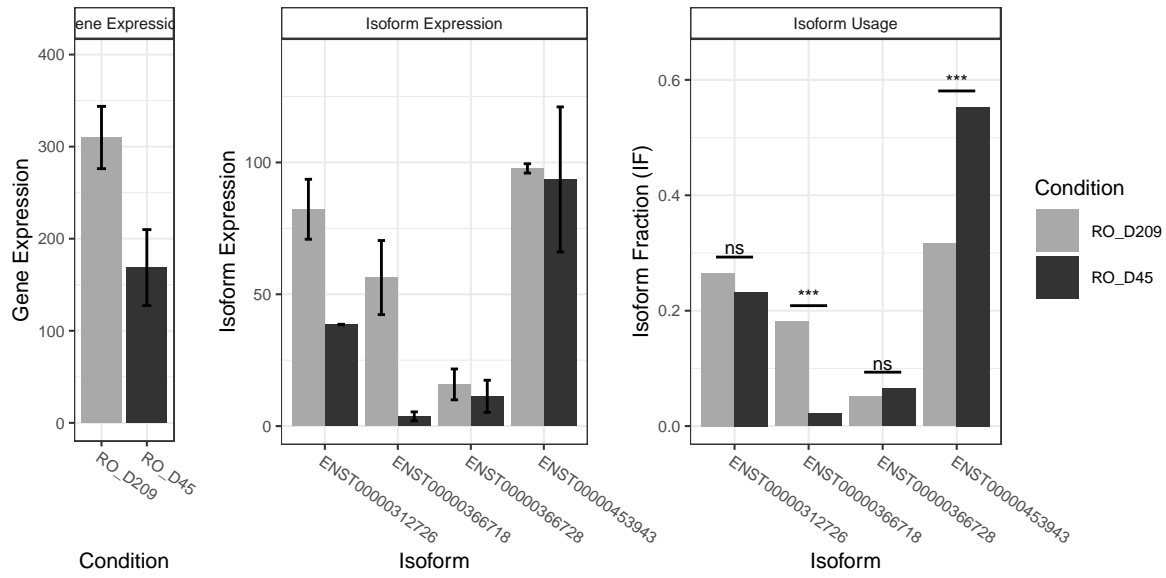
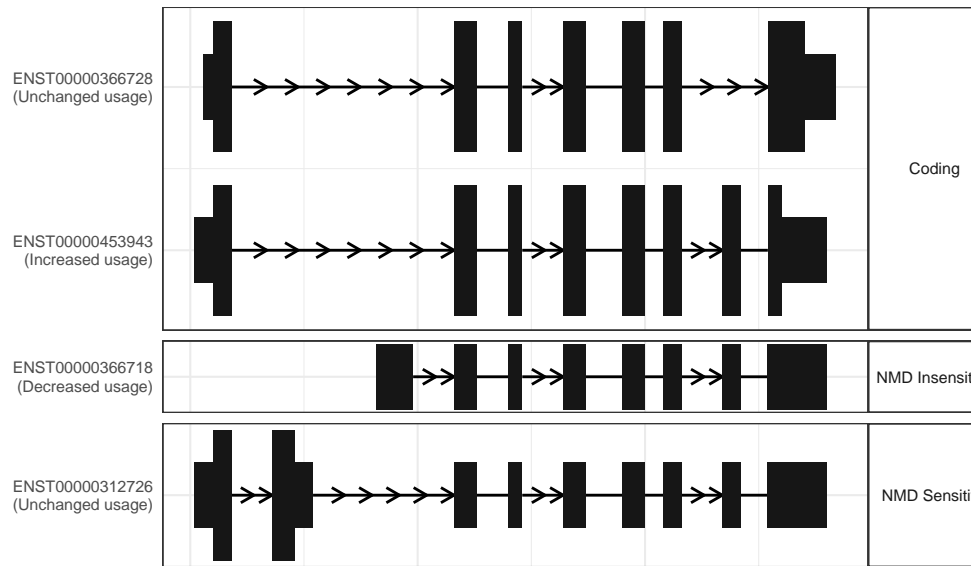
The isoform switch in TSC22D4 (RO_D209 vs RO_D45)



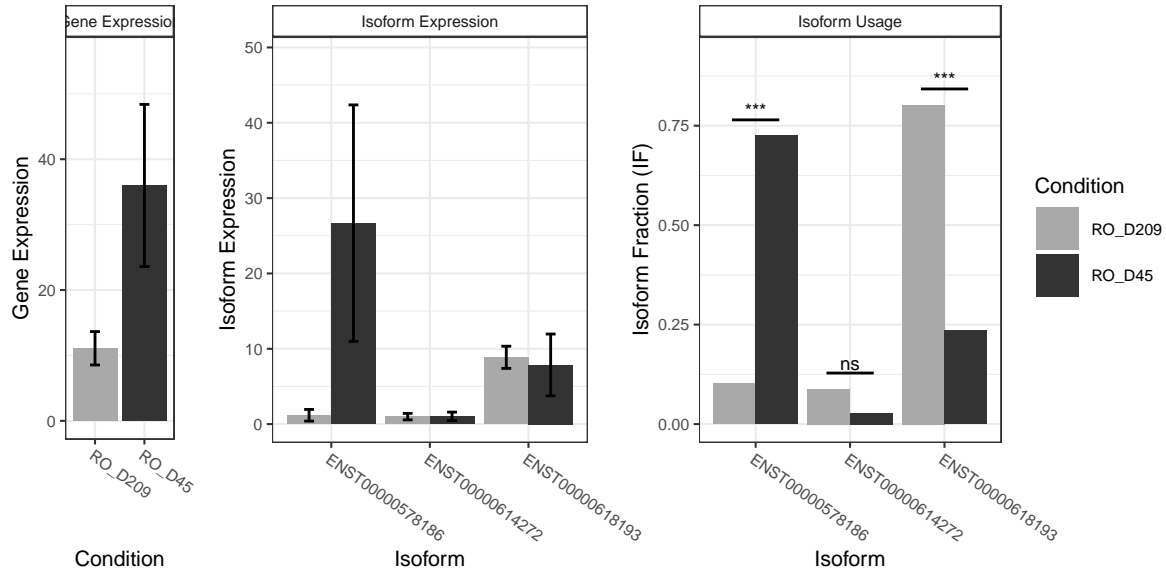
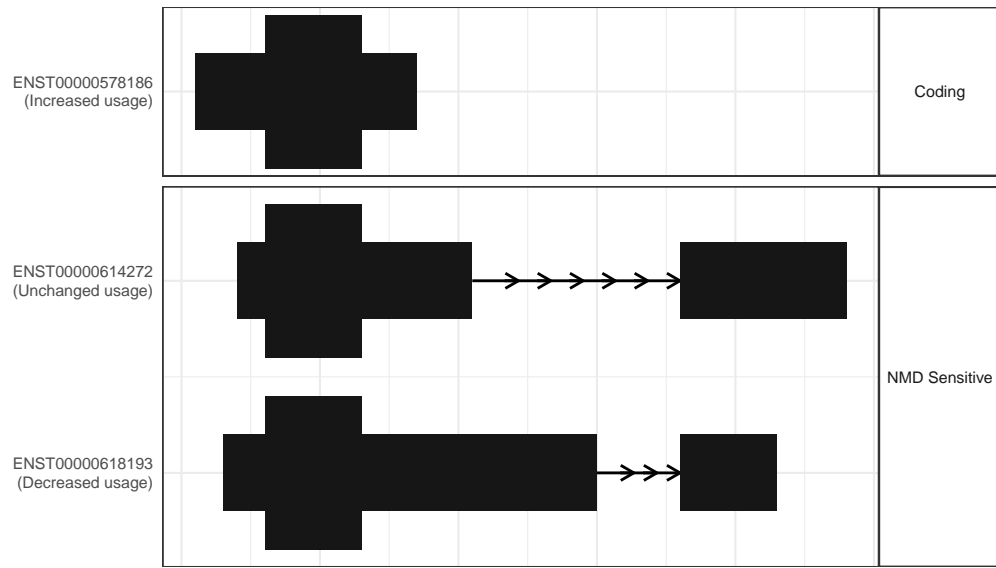
The isoform switch in REEP6 (RO_D209 vs RO_D45)



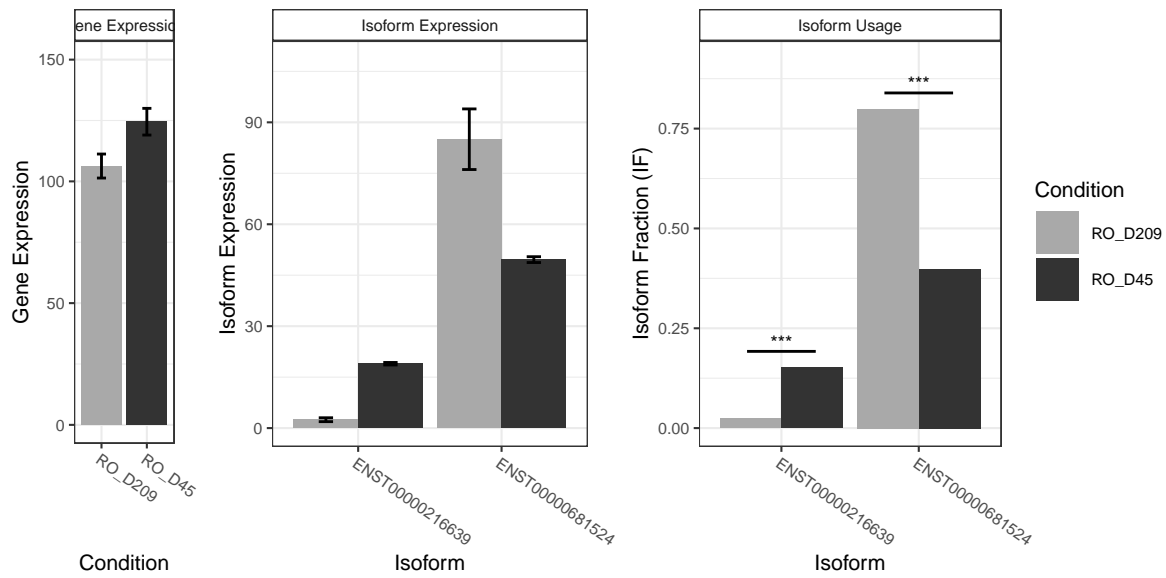
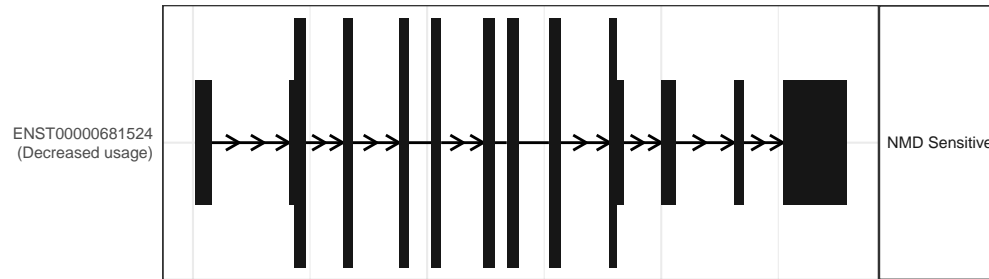
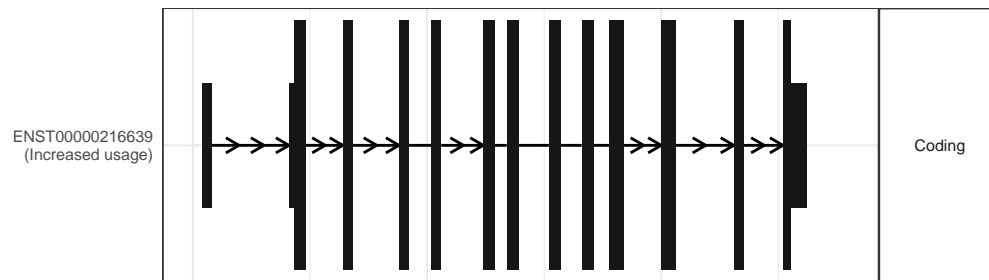
The isoform switch in GUK1 (RO_D209 vs RO_D45)



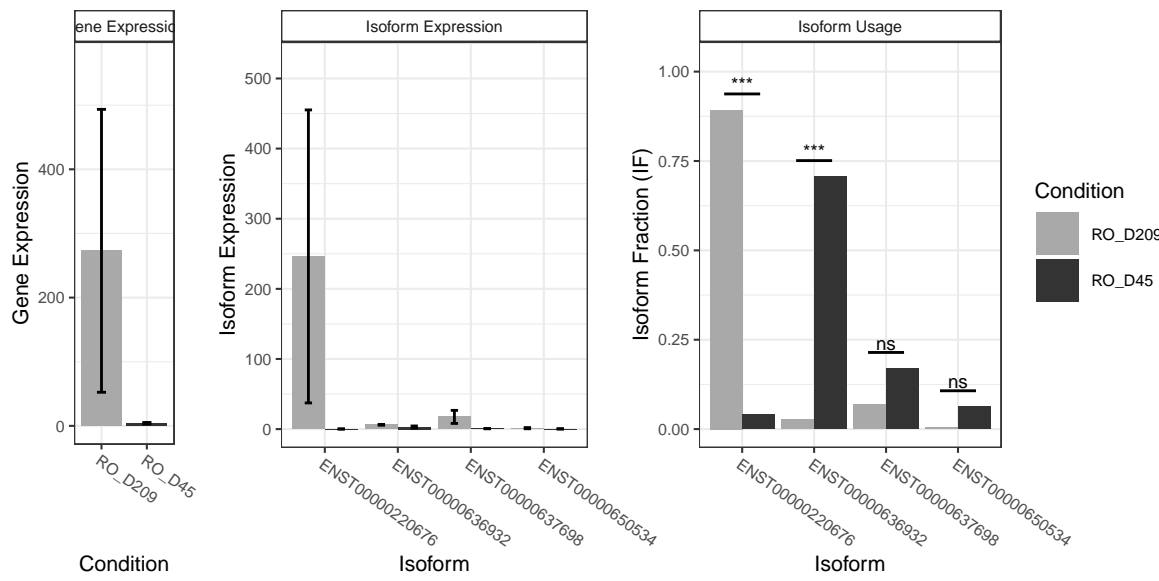
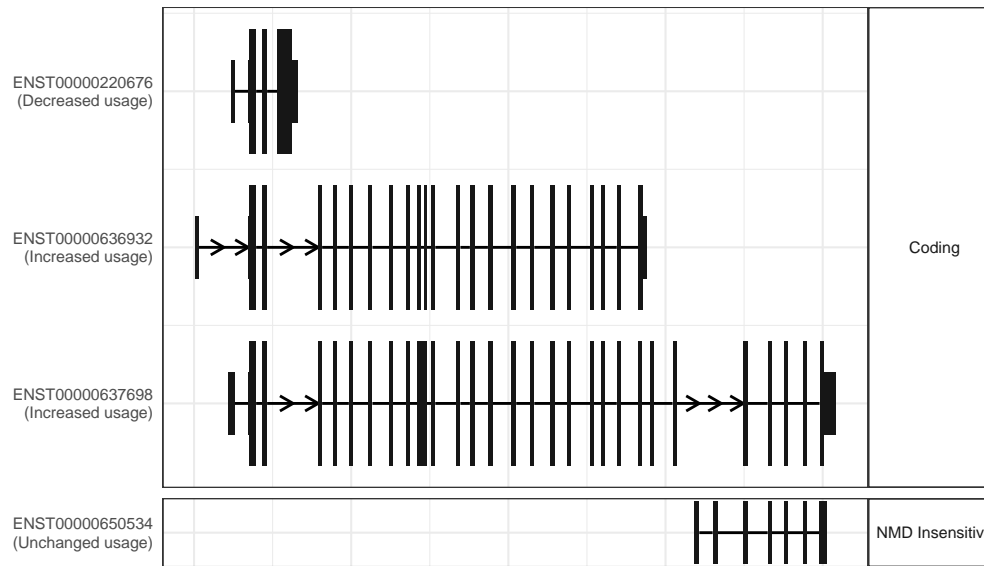
The isoform switch in H4C14 (RO_D209 vs RO_D45)



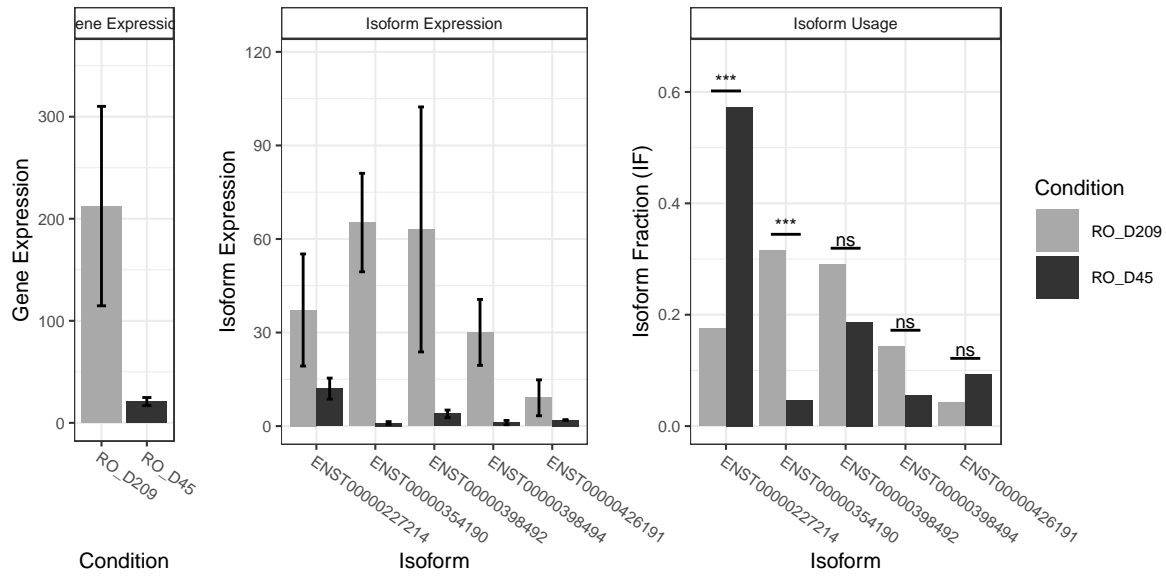
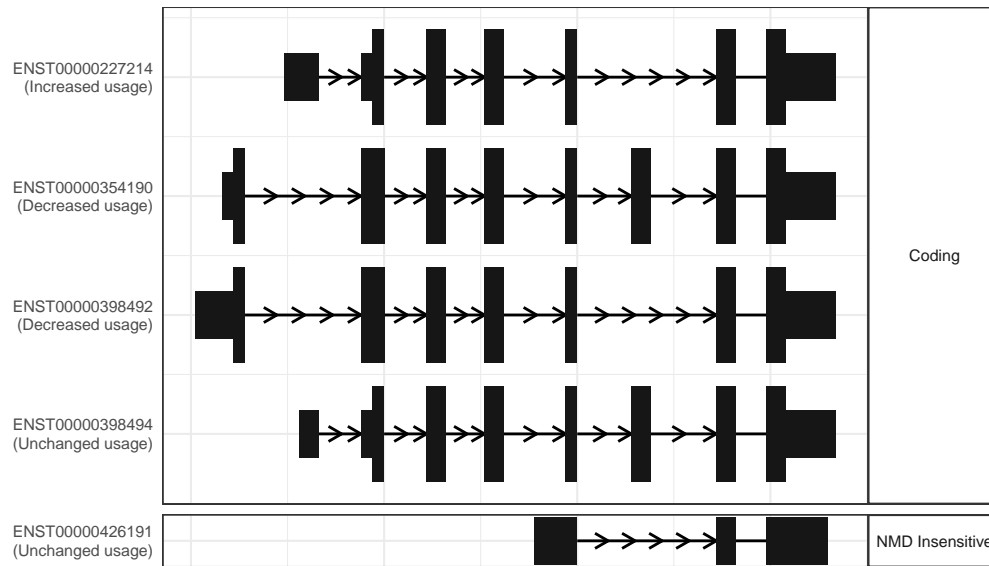
The isoform switch in VRK1 (RO_D209 vs RO_D45)



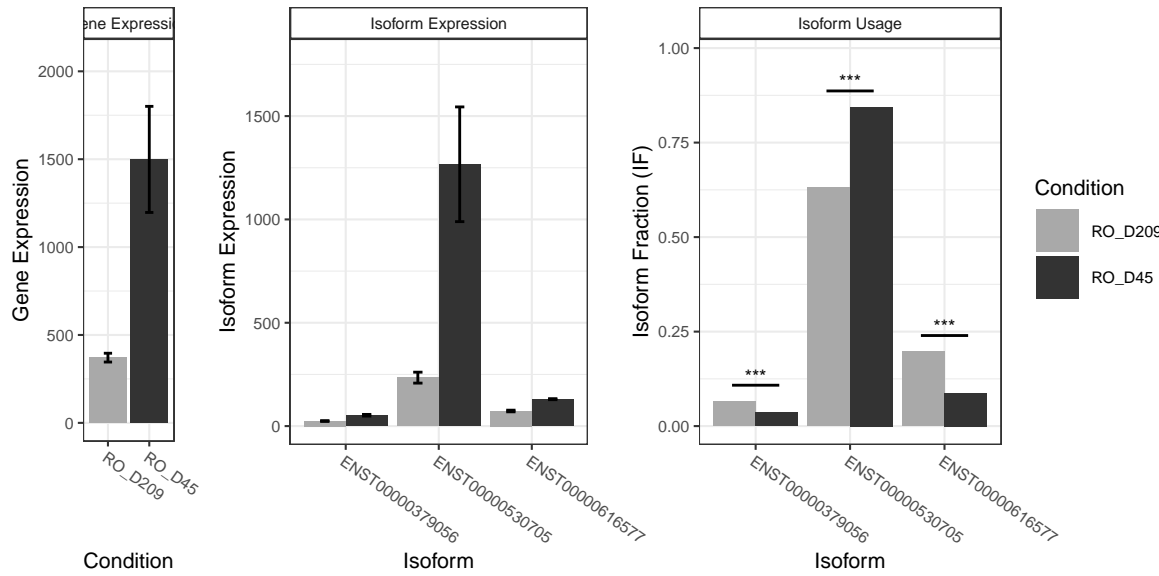
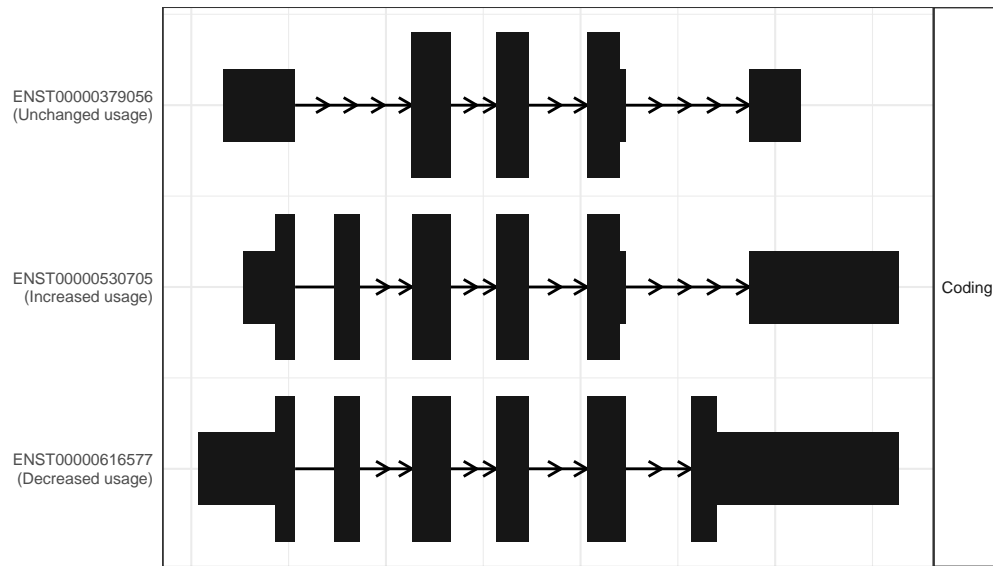
The isoform switch in RP1 (RO_D209 vs RO_D45)



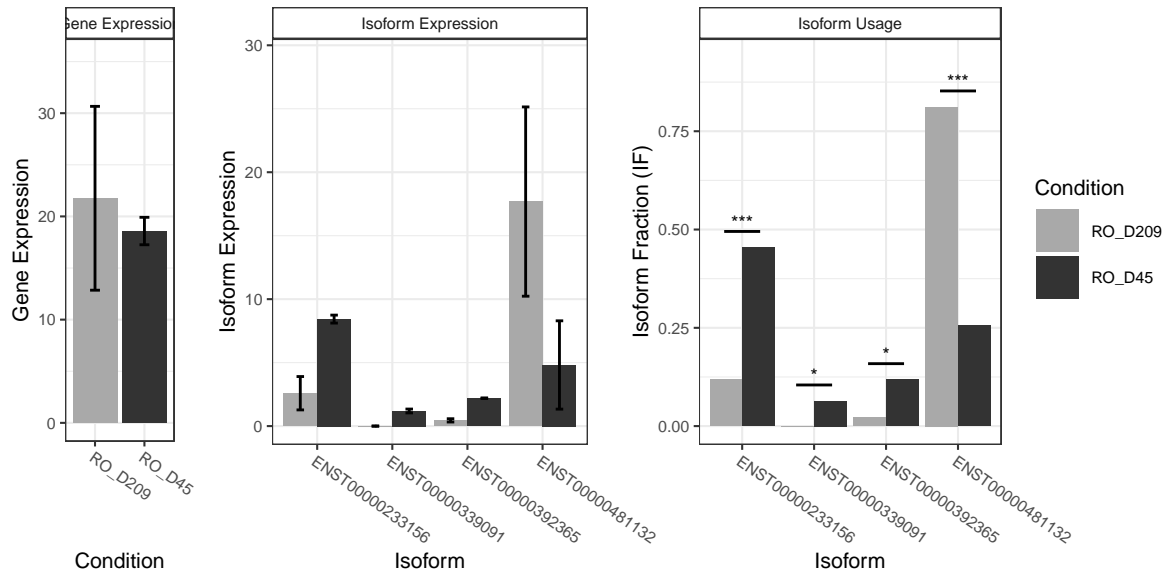
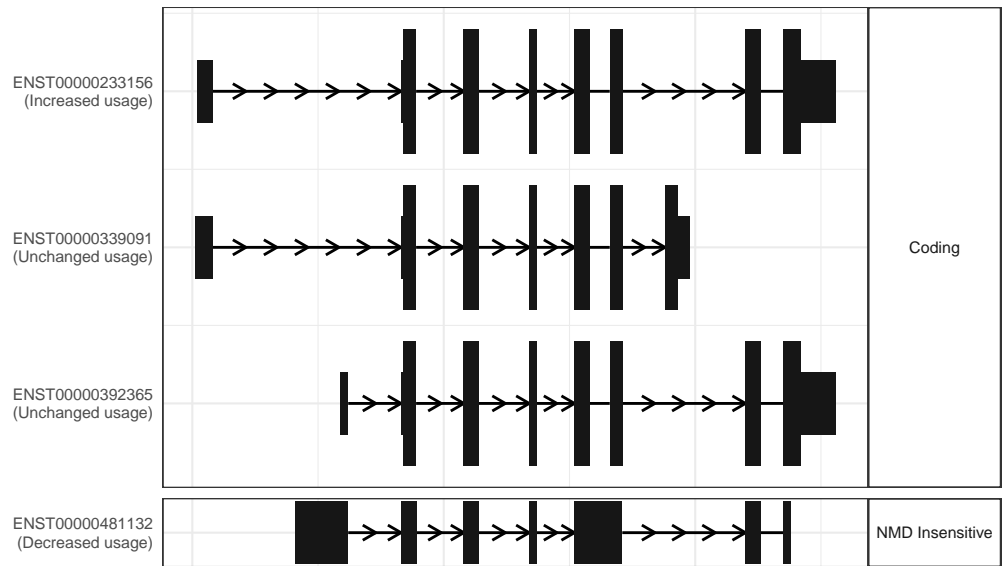
The isoform switch in PLEKHB1 (RO_D209 vs RO_D45)



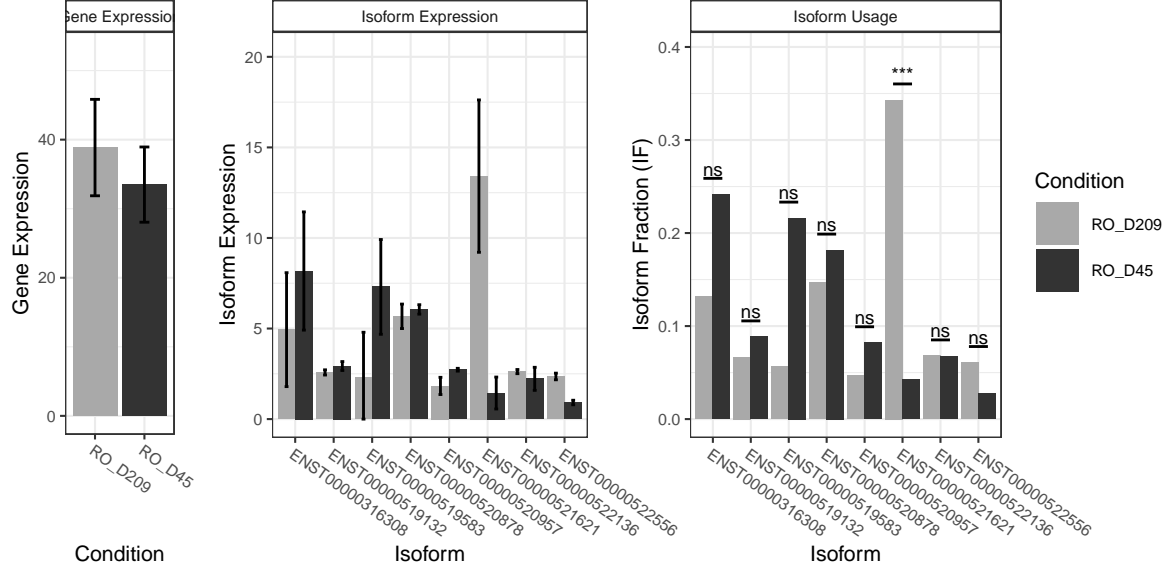
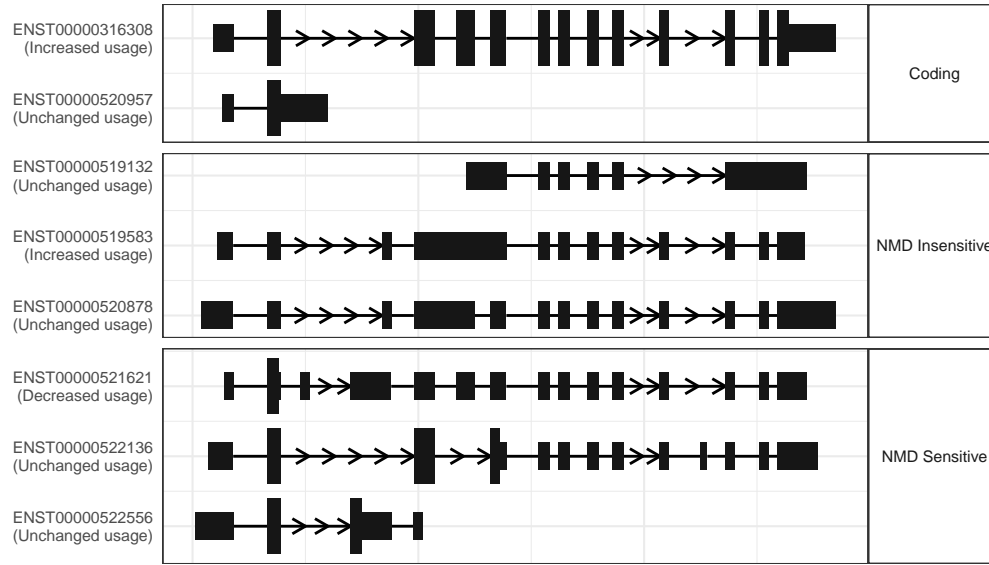
The isoform switch in TPT1 (RO_D209 vs RO_D45)



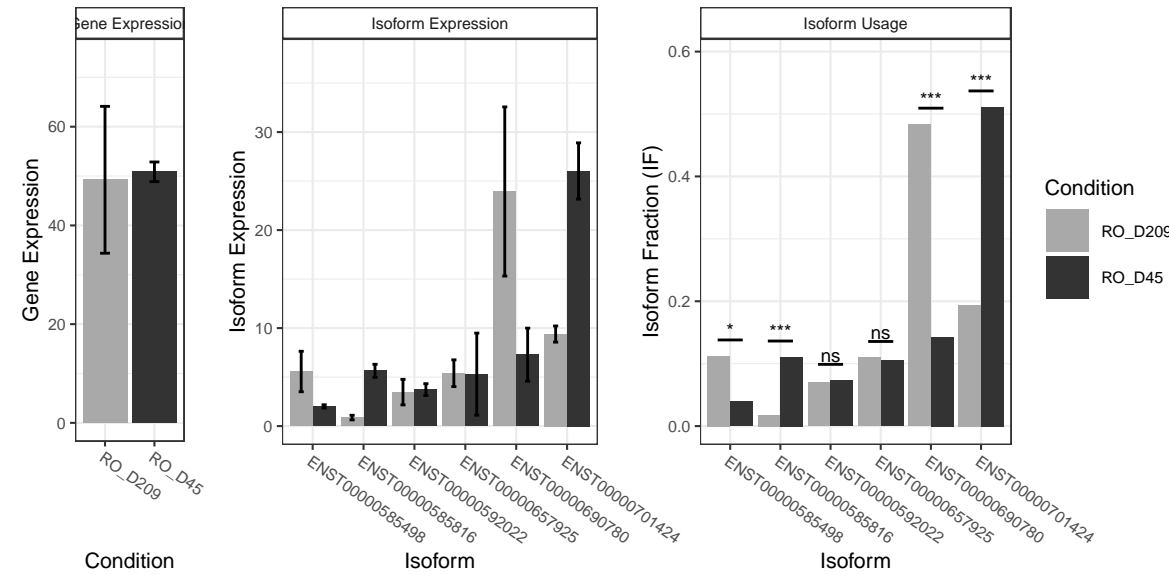
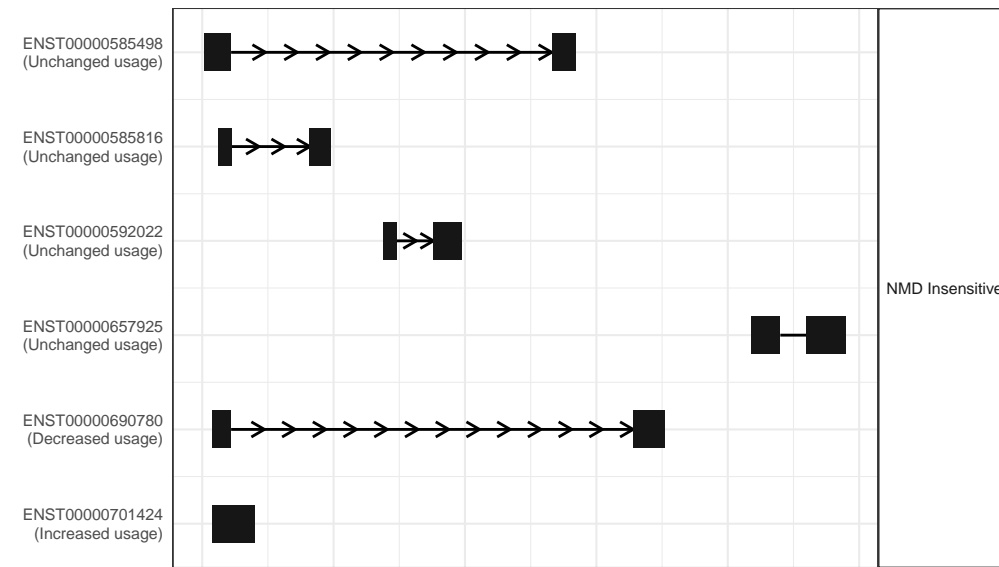
The isoform switch in TFPI (RO_D209 vs RO_D45)



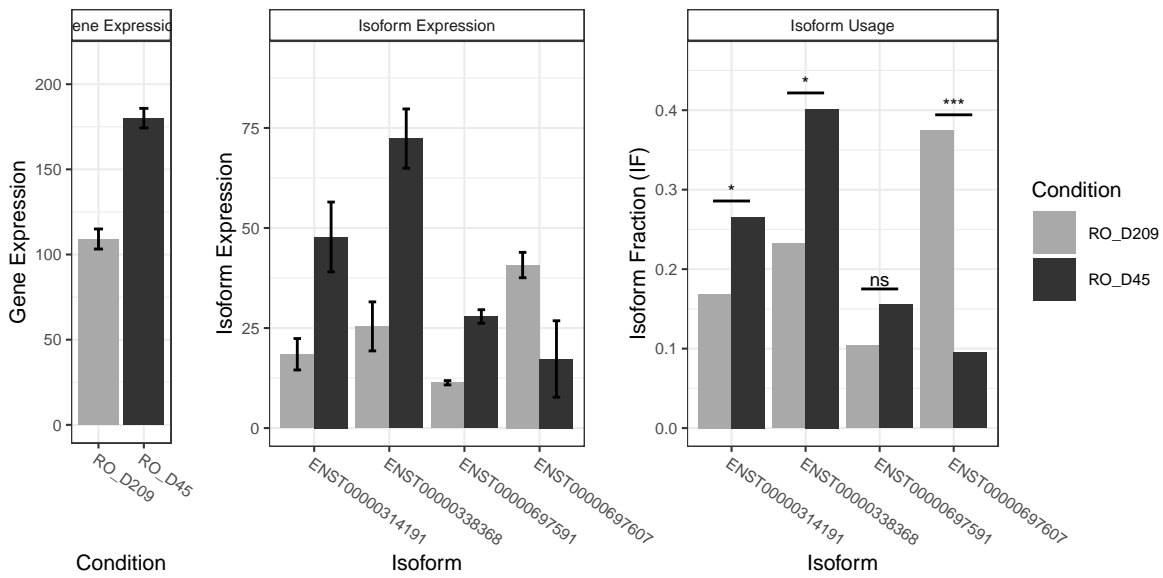
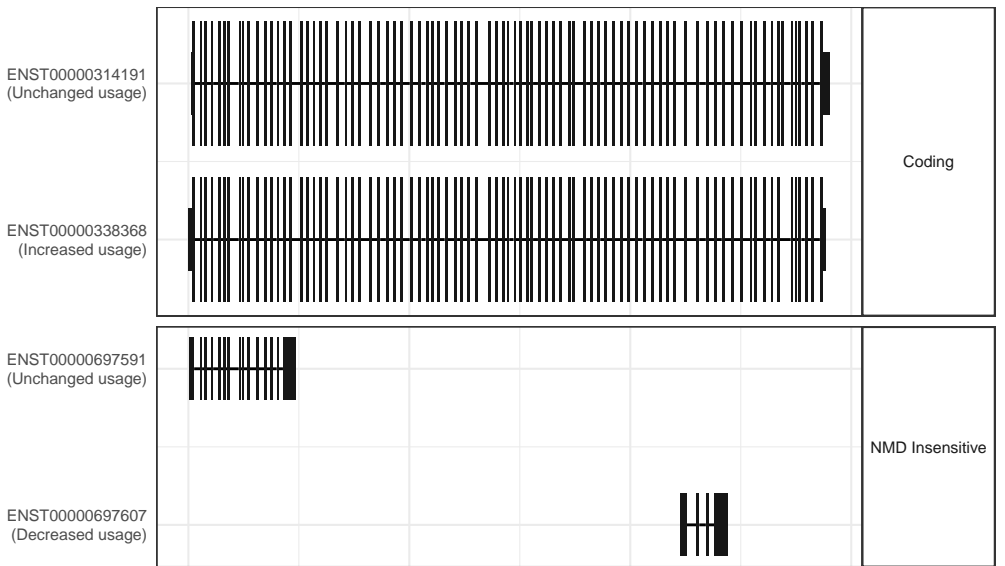
The isoform switch in CLK4 (RO_D209 vs RO_D45)



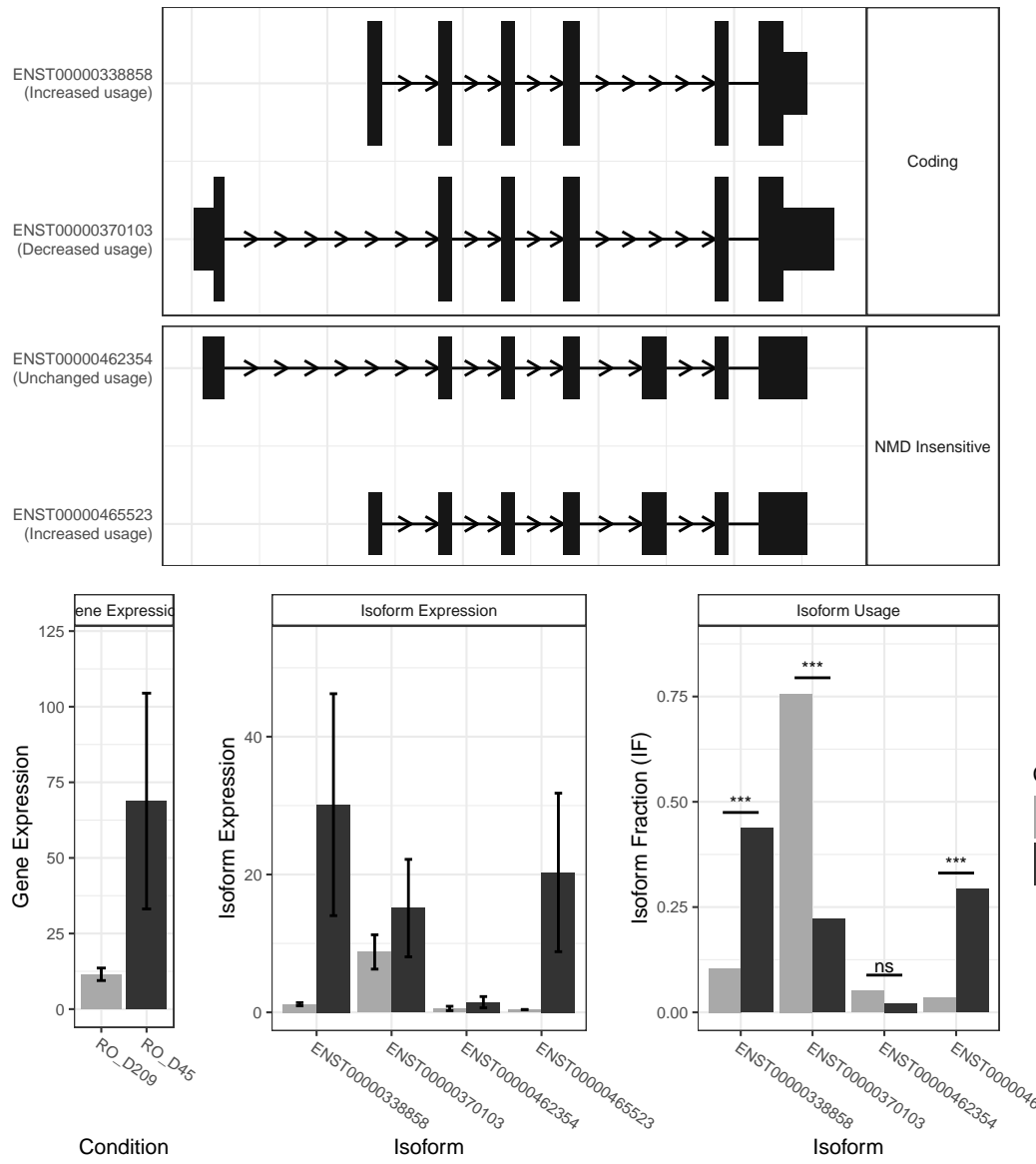
Isoform switch in ENSG00000267383 (RO_D209 vs RO_D45)



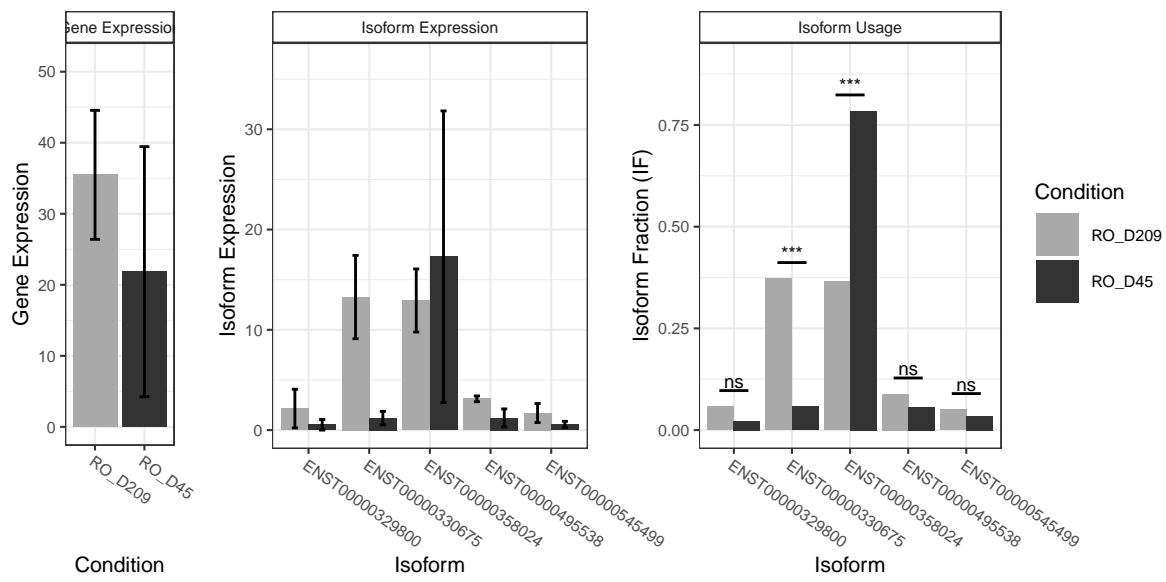
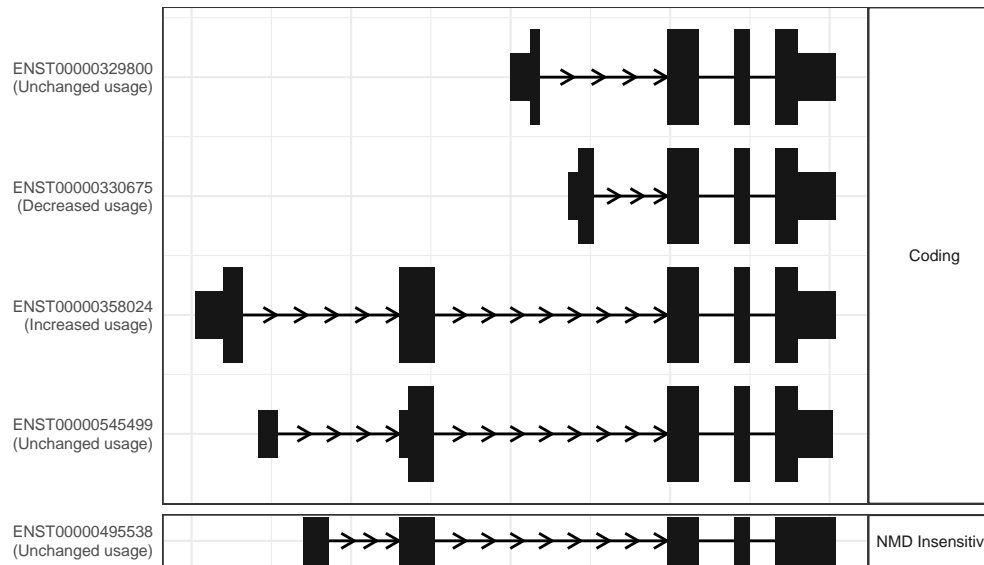
The isoform switch in PRKDC (RO_D209 vs RO_D45)



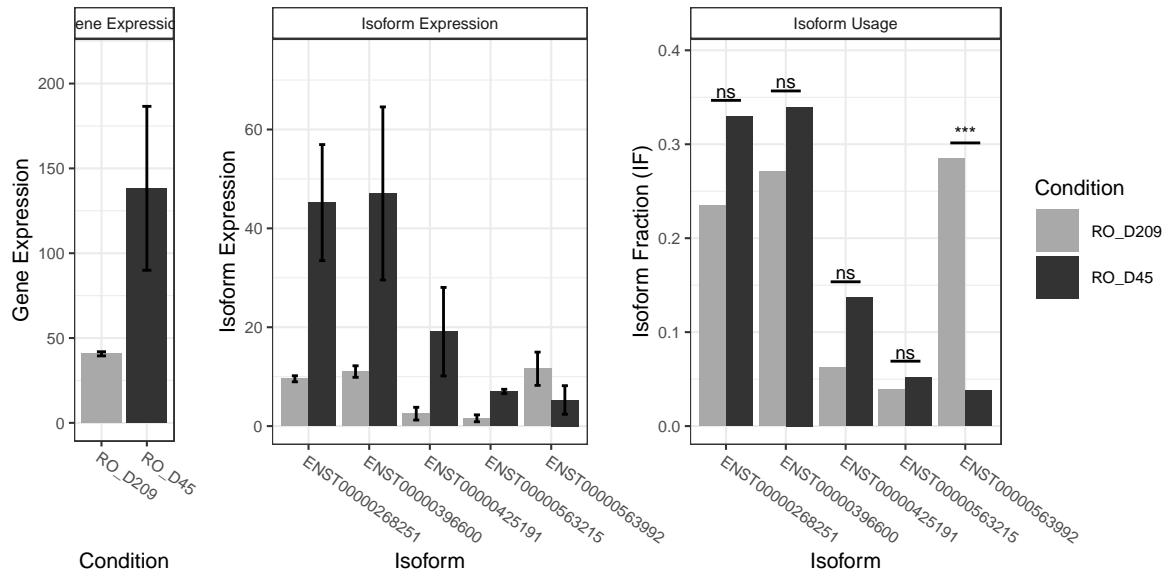
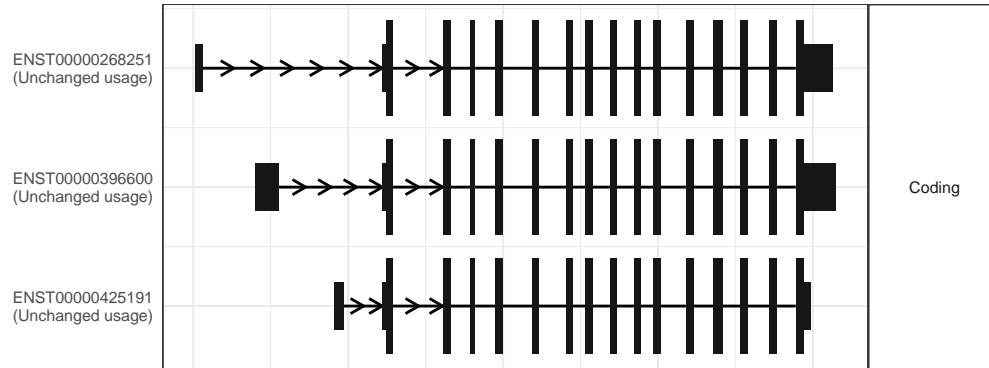
The isoform switch in OLFM3 (RO_D209 vs RO_D45)



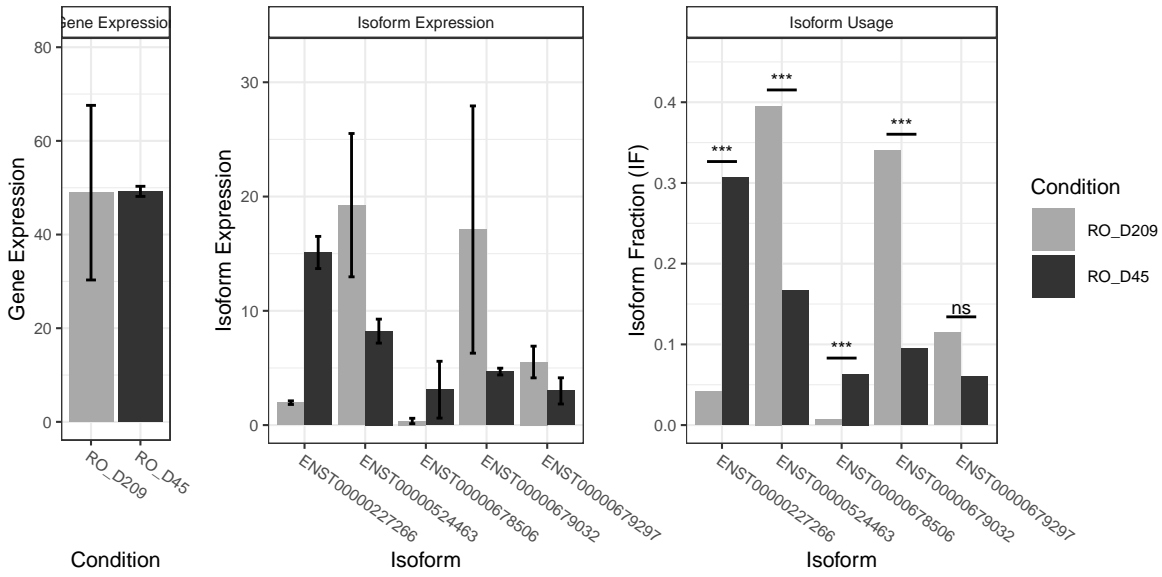
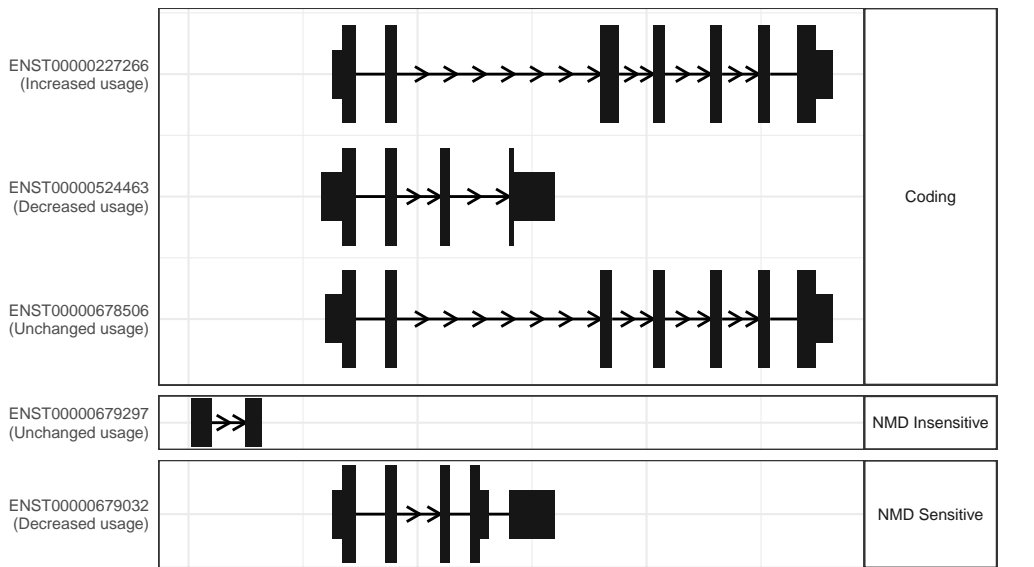
The isoform switch in TMCC2 (RO_D209 vs RO_D45)



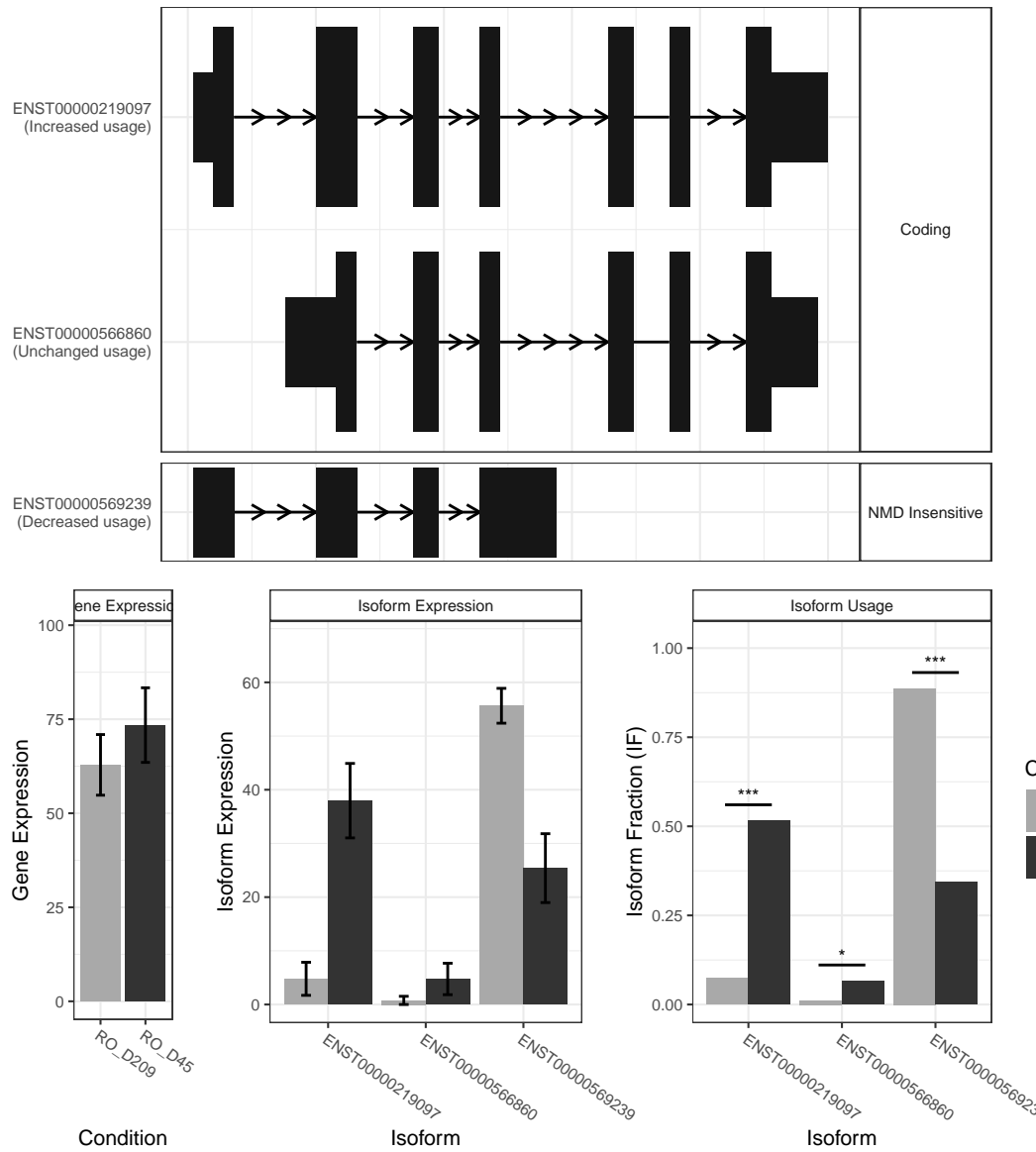
The isoform switch in ABAT (RO_D209 vs RO_D45)



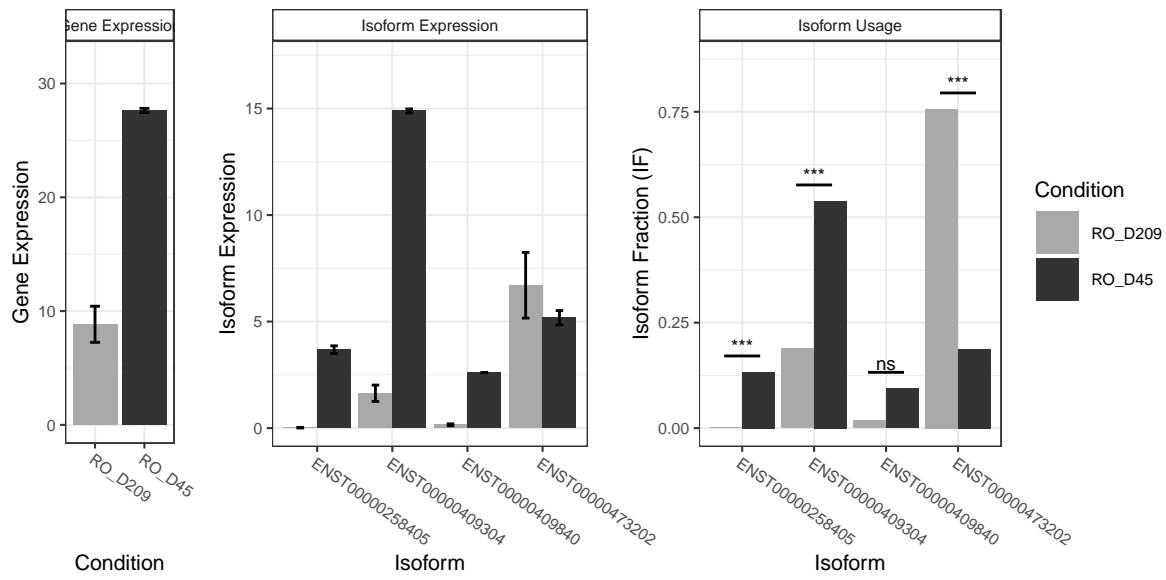
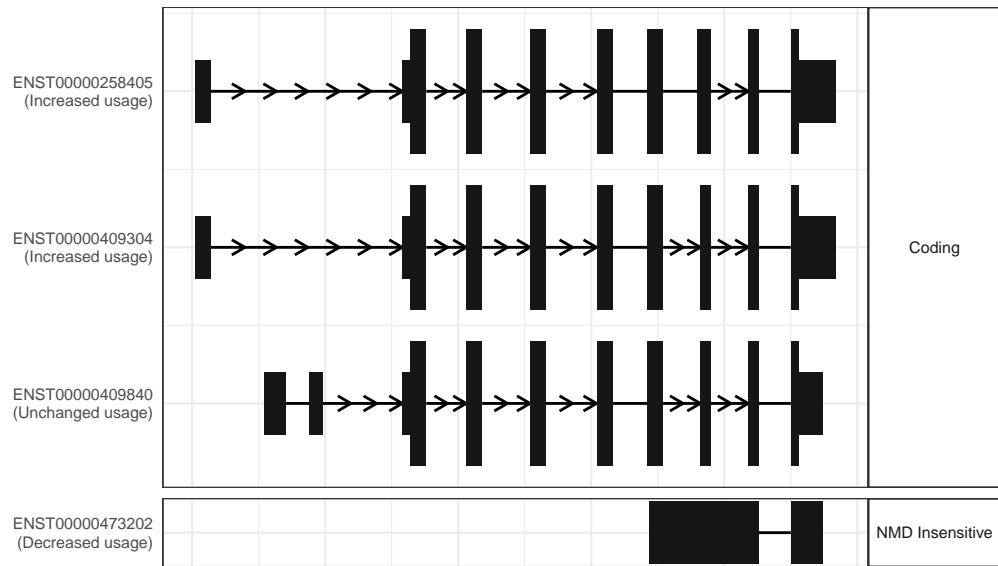
The isoform switch in CTSC (RO_D209 vs RO_D45)



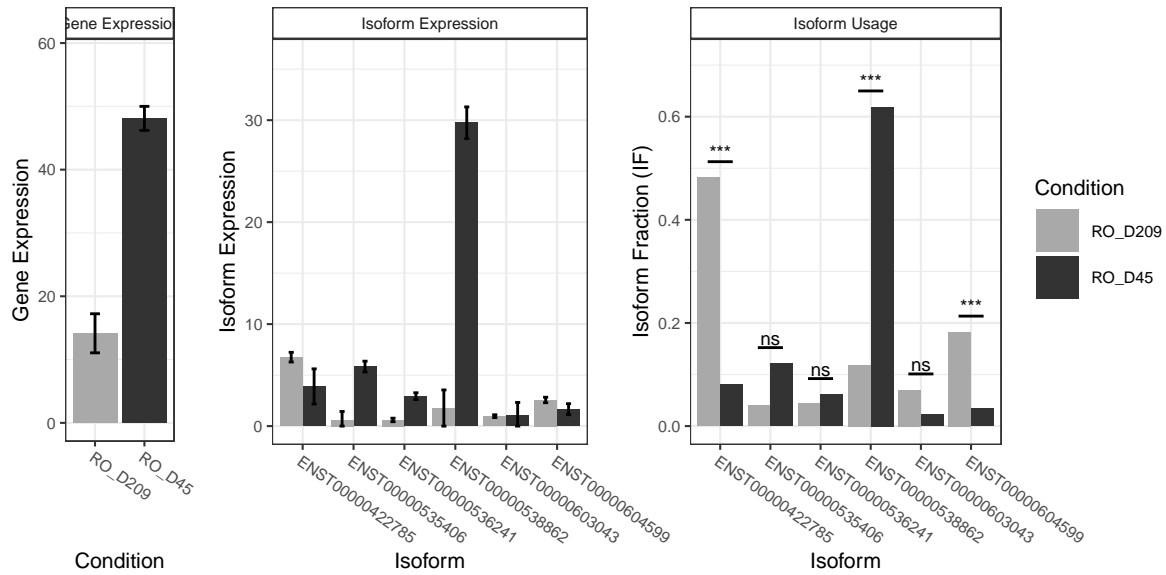
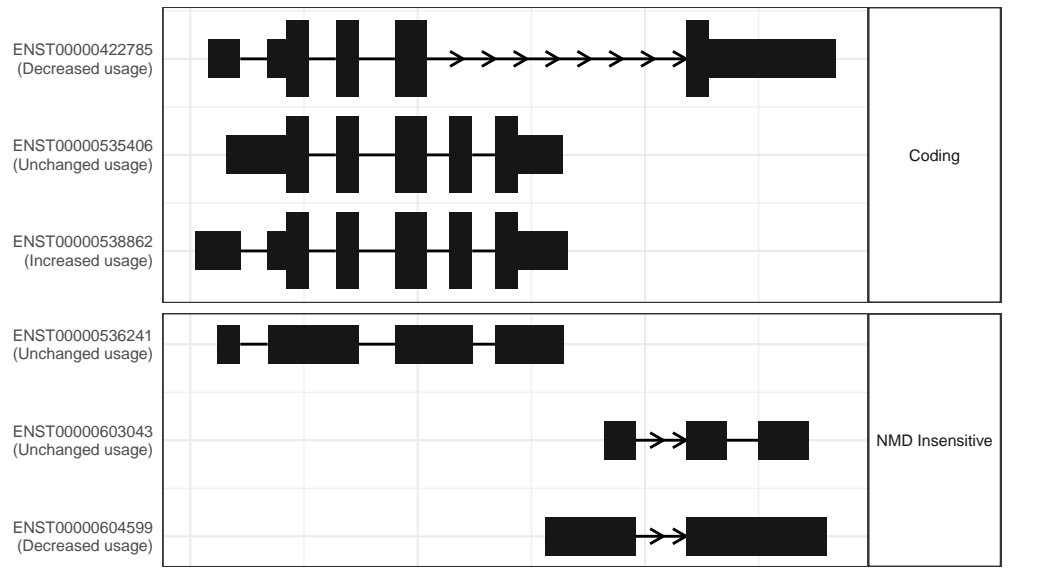
The isoform switch in ORC6 (RO_D209 vs RO_D45)



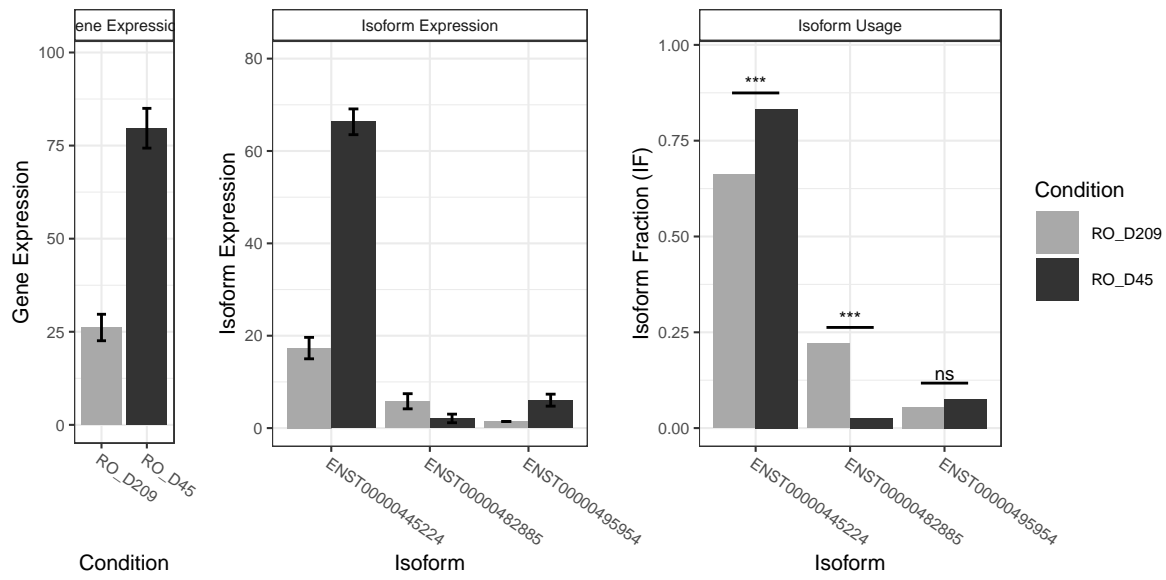
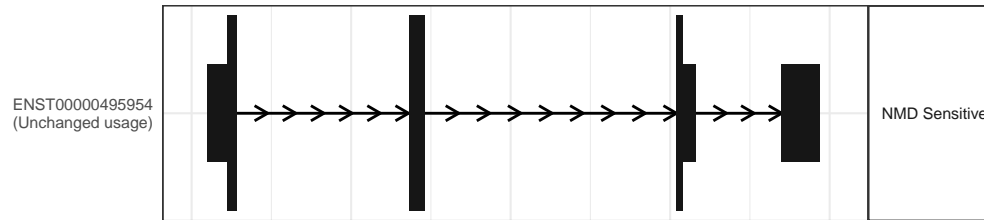
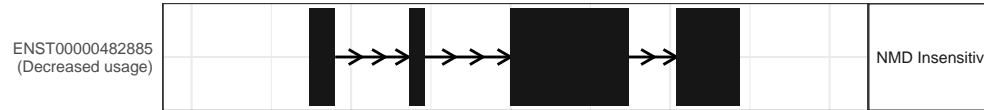
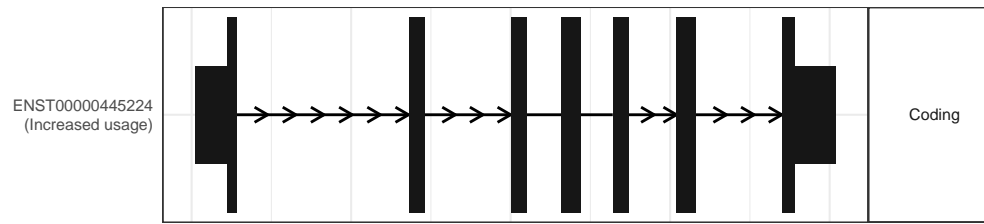
The isoform switch in SERPINE2 (RO_D209 vs RO_D45)



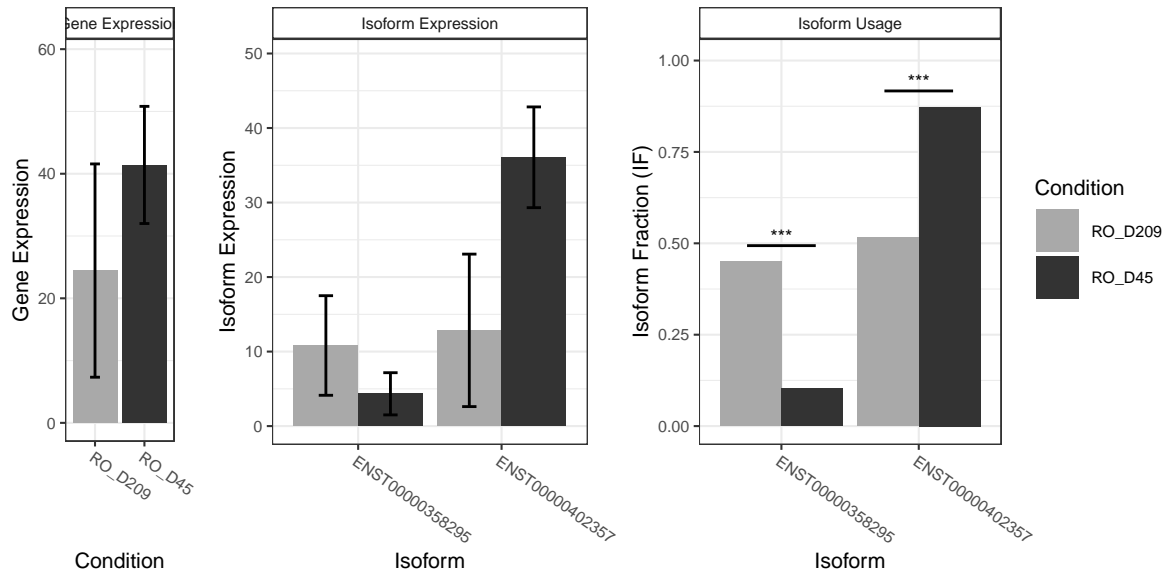
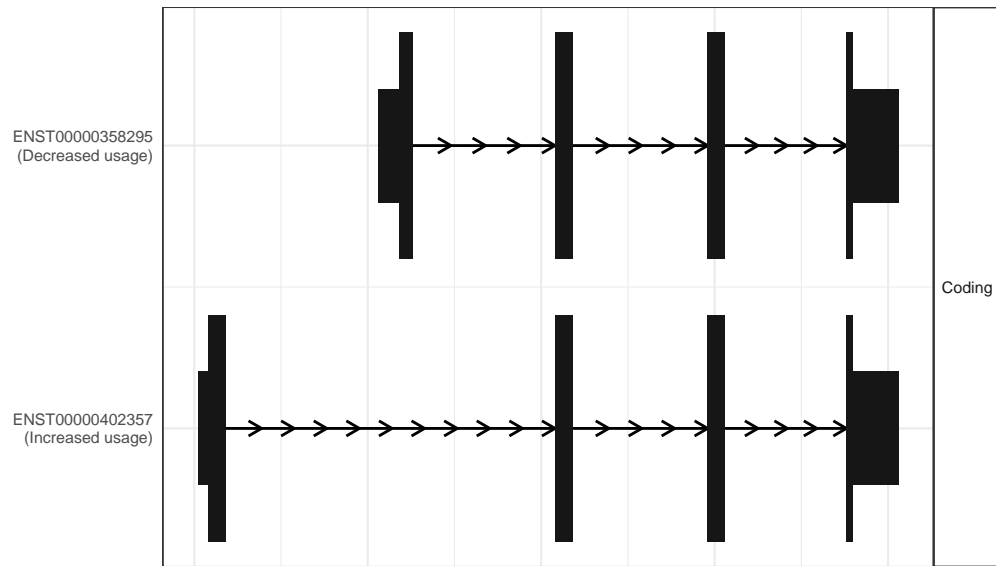
The isoform switch in CDCA3 (RO_D209 vs RO_D45)



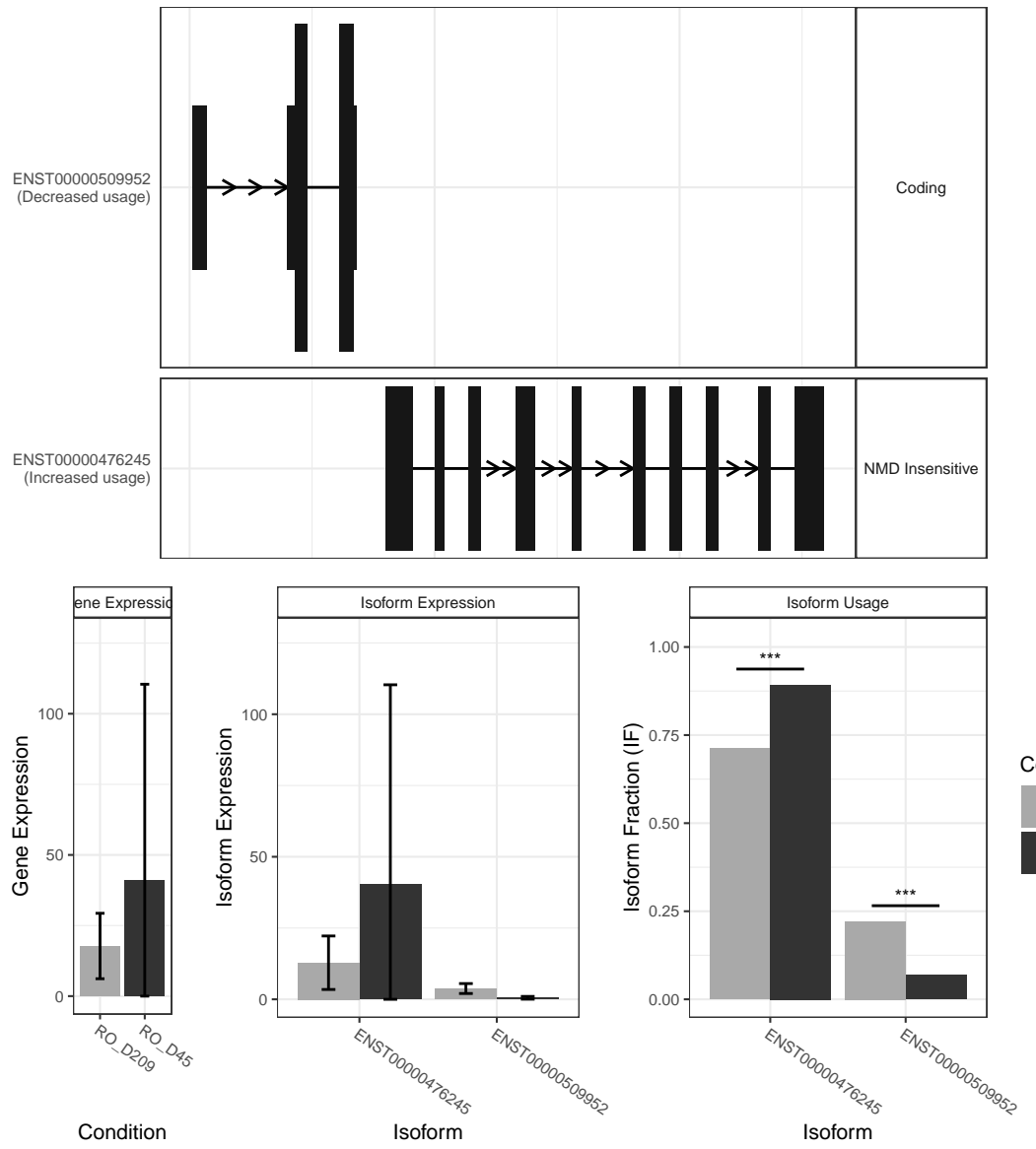
The isoform switch in SCHIP1 (RO_D209 vs RO_D45)



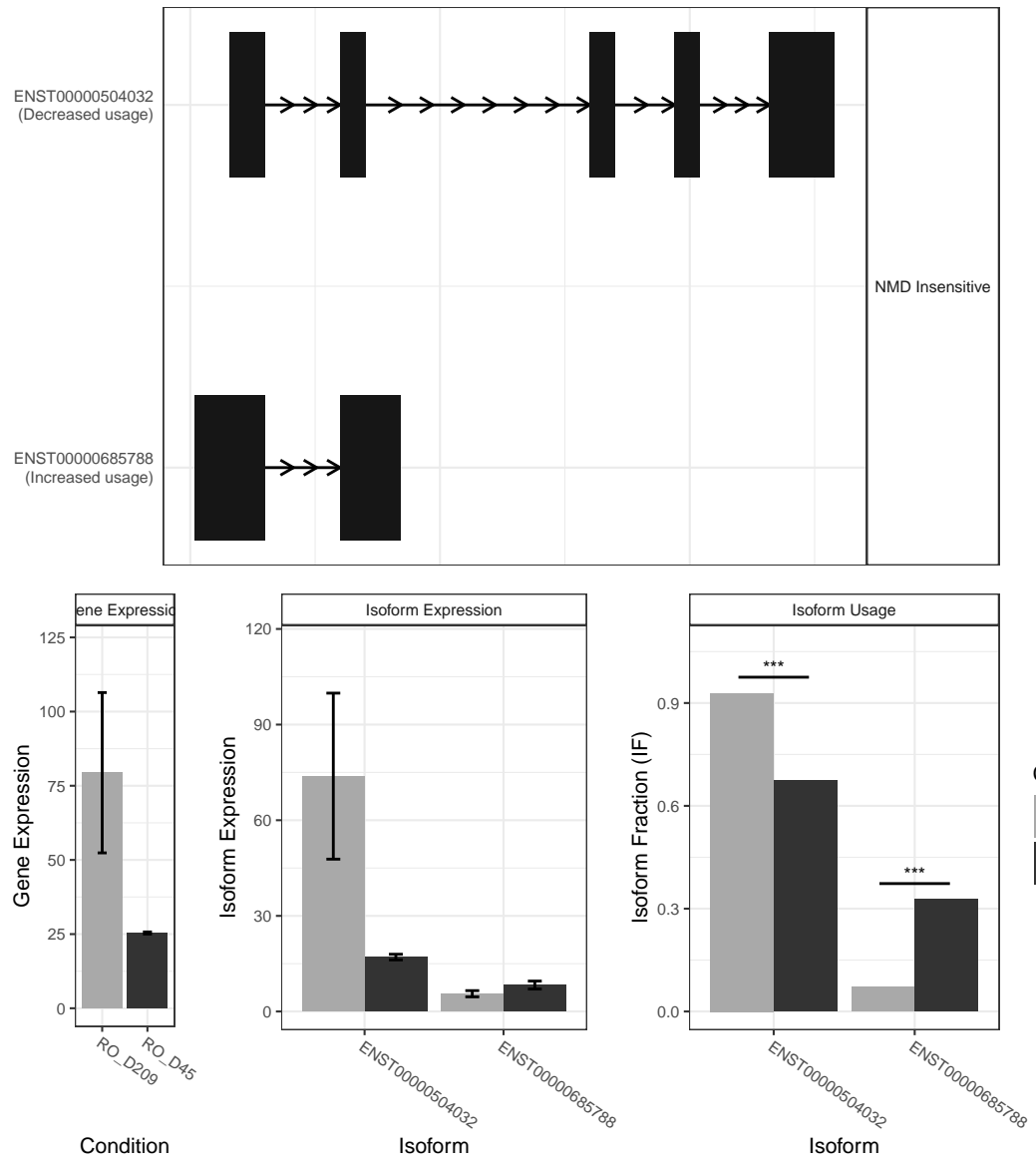
The isoform switch in TAFA5 (RO_D209 vs RO_D45)



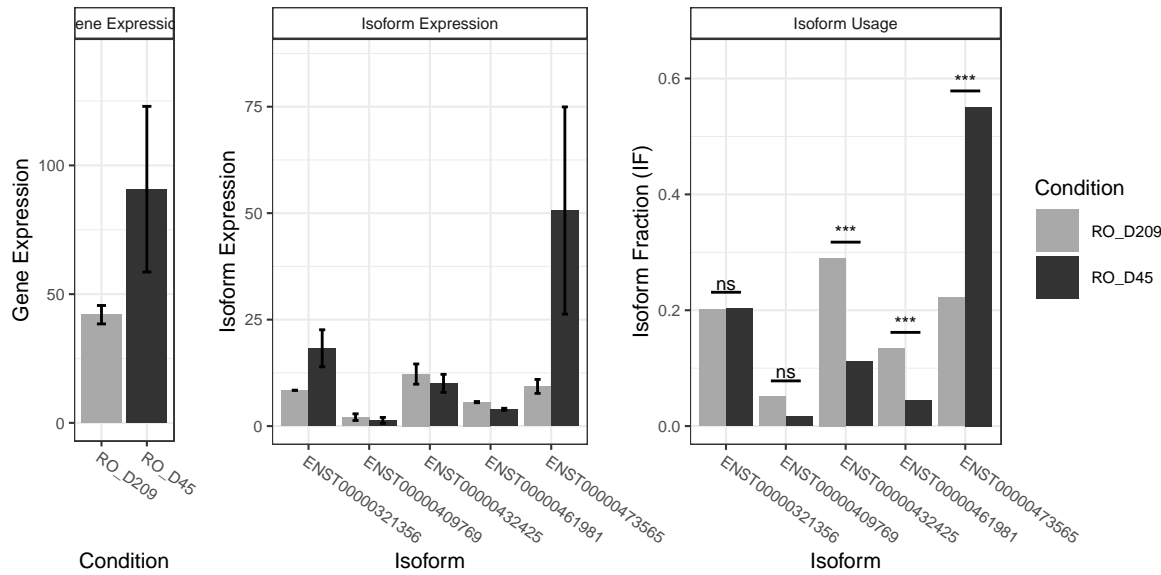
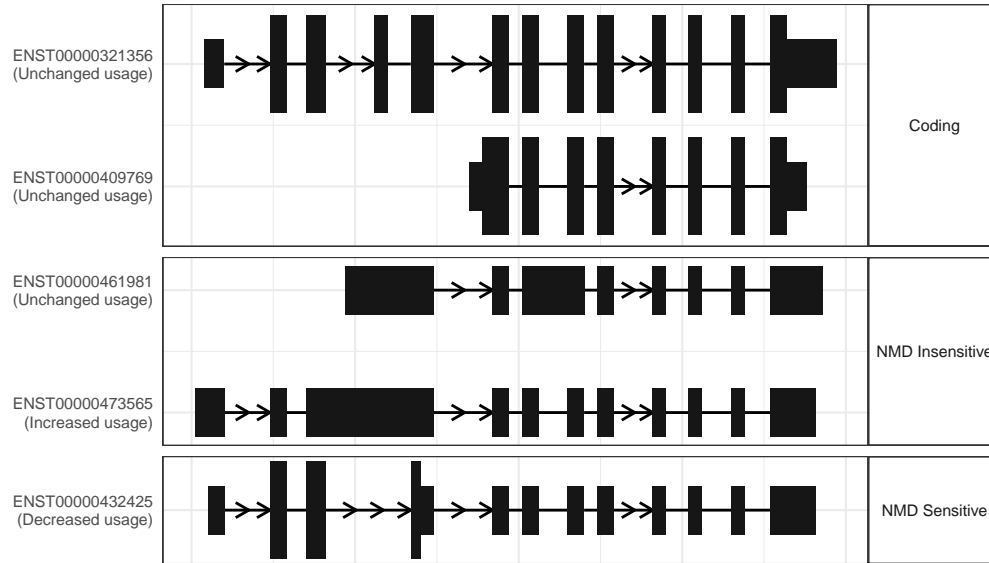
The isoform switch in ALDH1L1 (RO_D209 vs RO_D45)



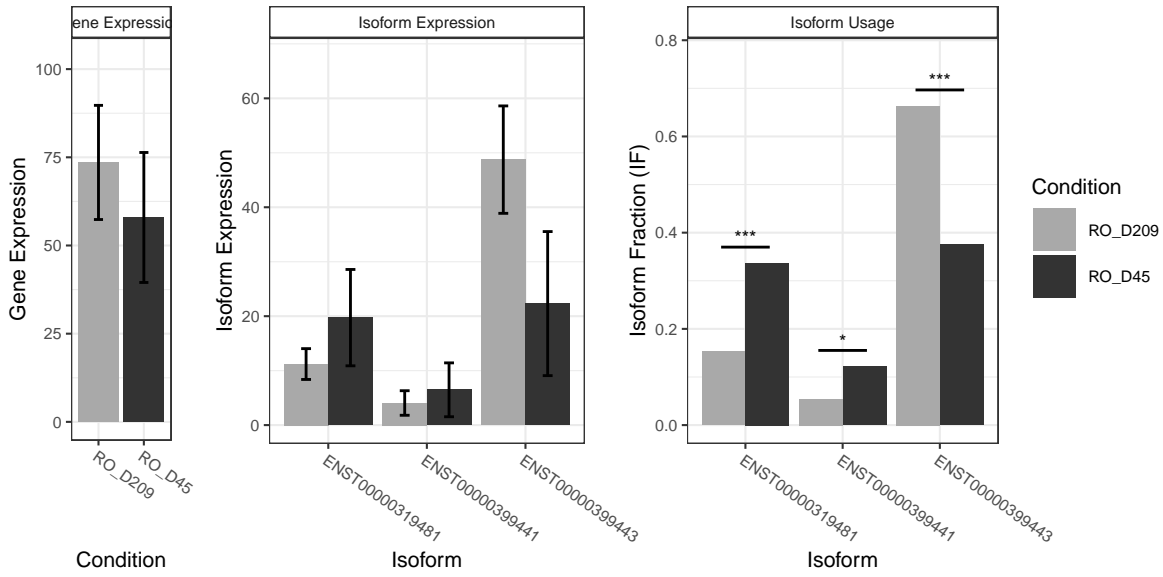
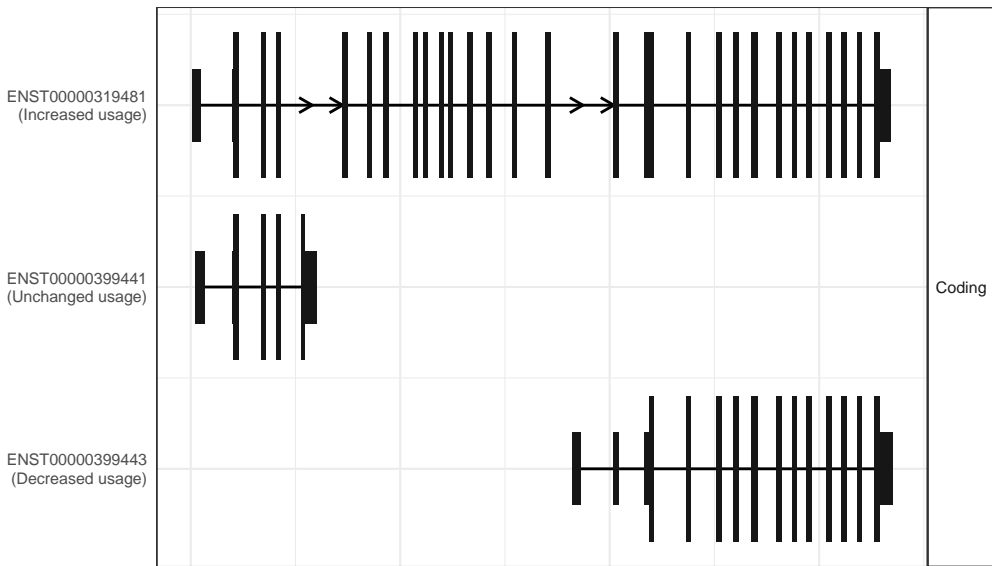
The isoform switch in UGDH-AS1 (RO_D209 vs RO_D45)



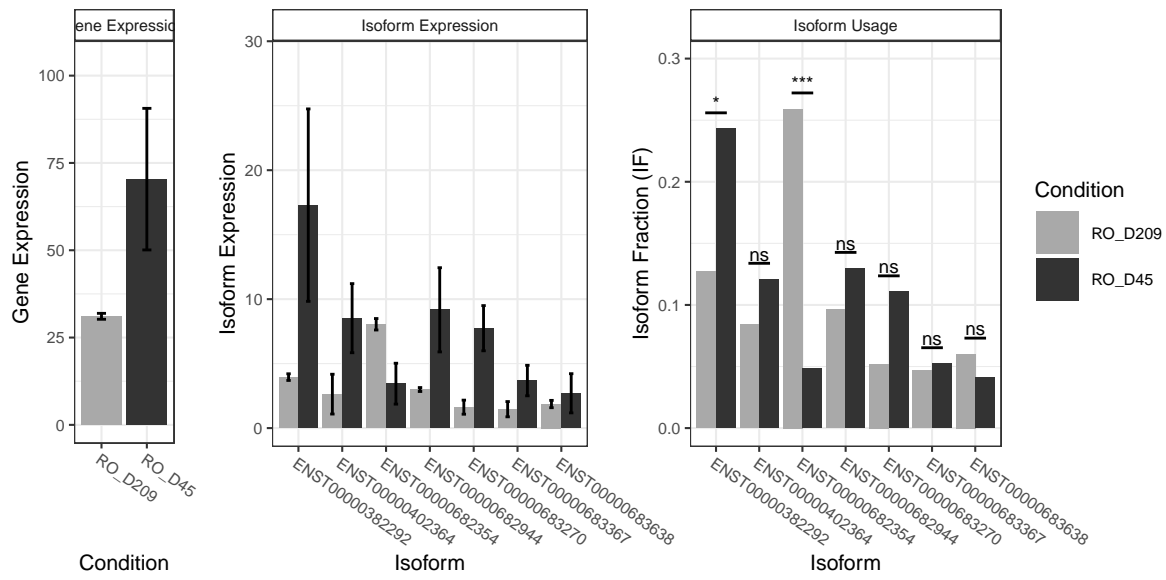
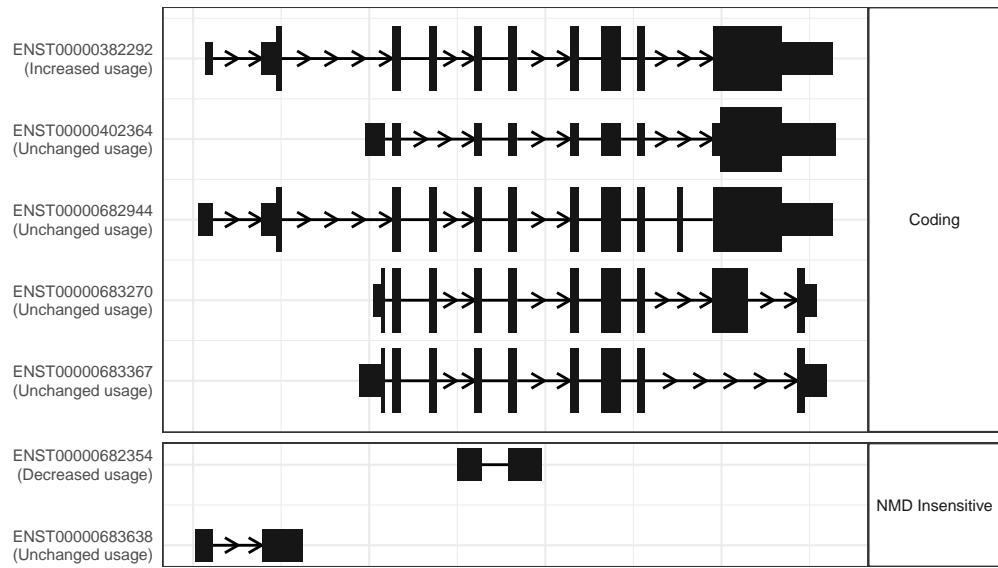
The isoform switch in CLK1 (RO_D209 vs RO_D45)



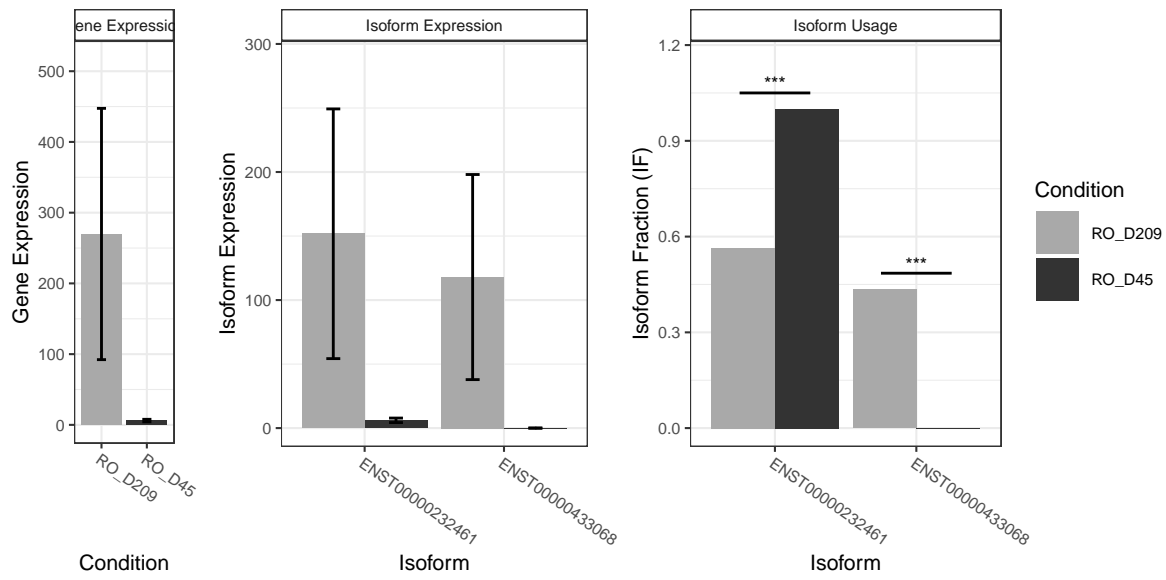
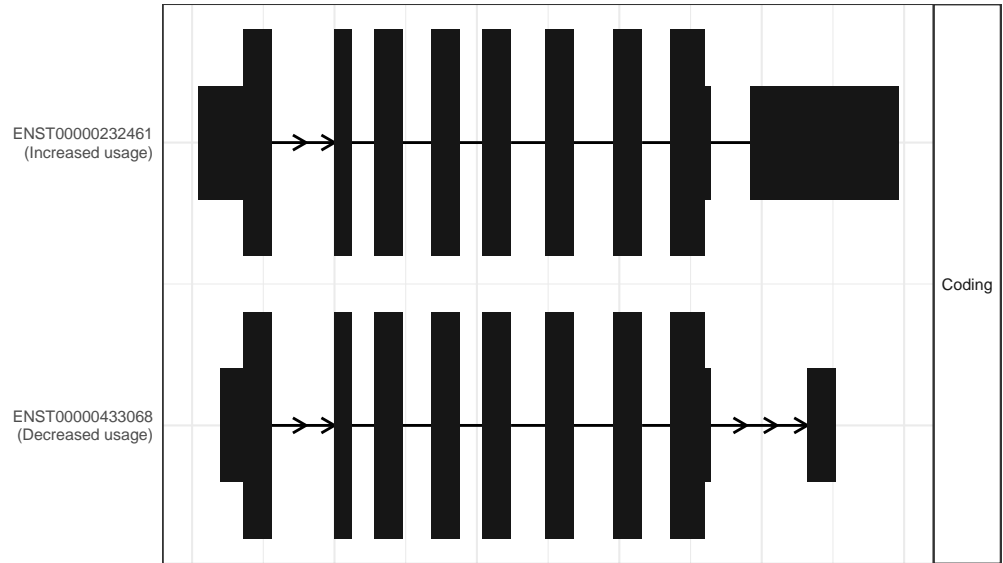
The isoform switch in OSBPL1A (RO_D209 vs RO_D45)



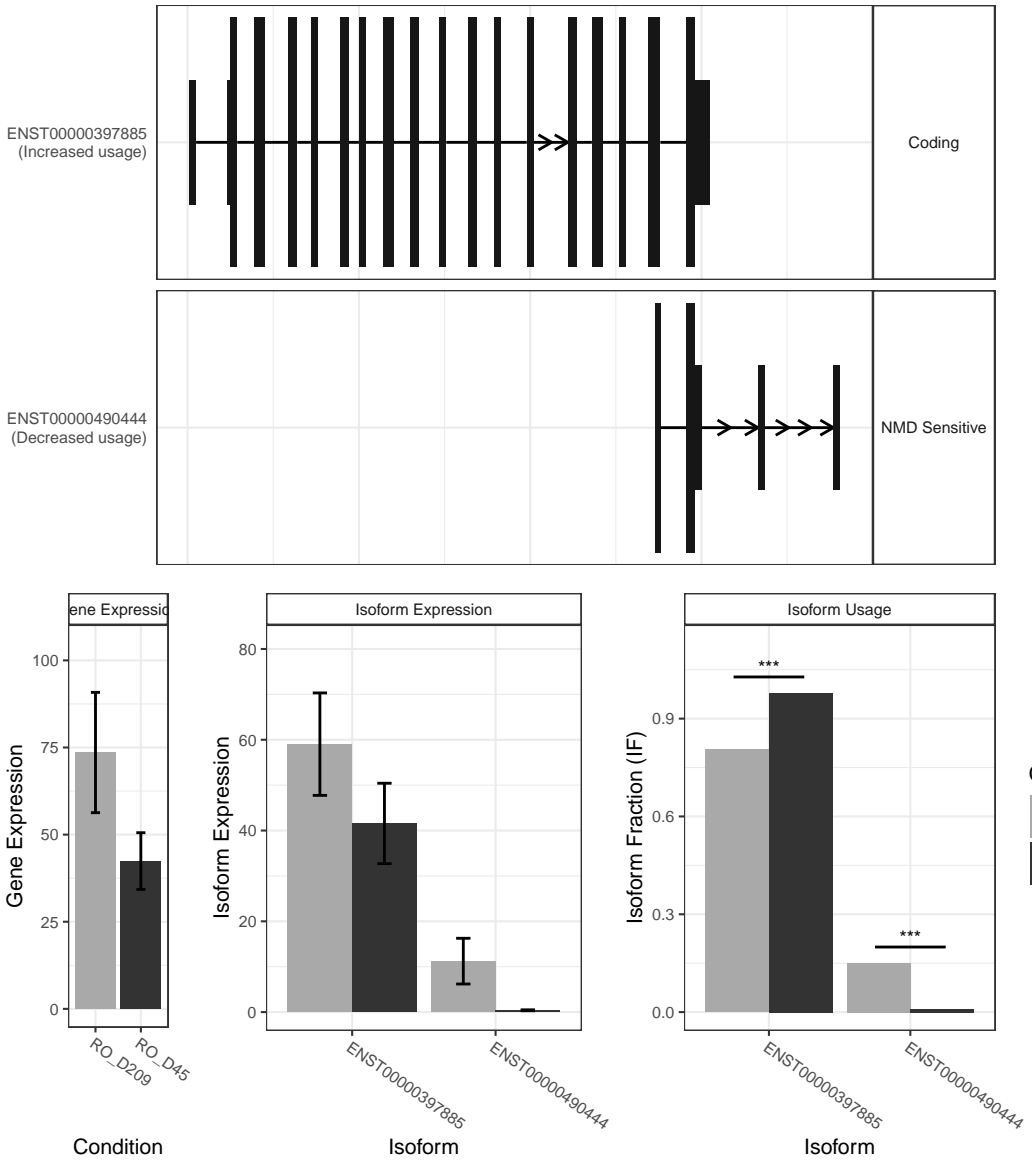
The isoform switch in SACS (RO_D209 vs RO_D45)



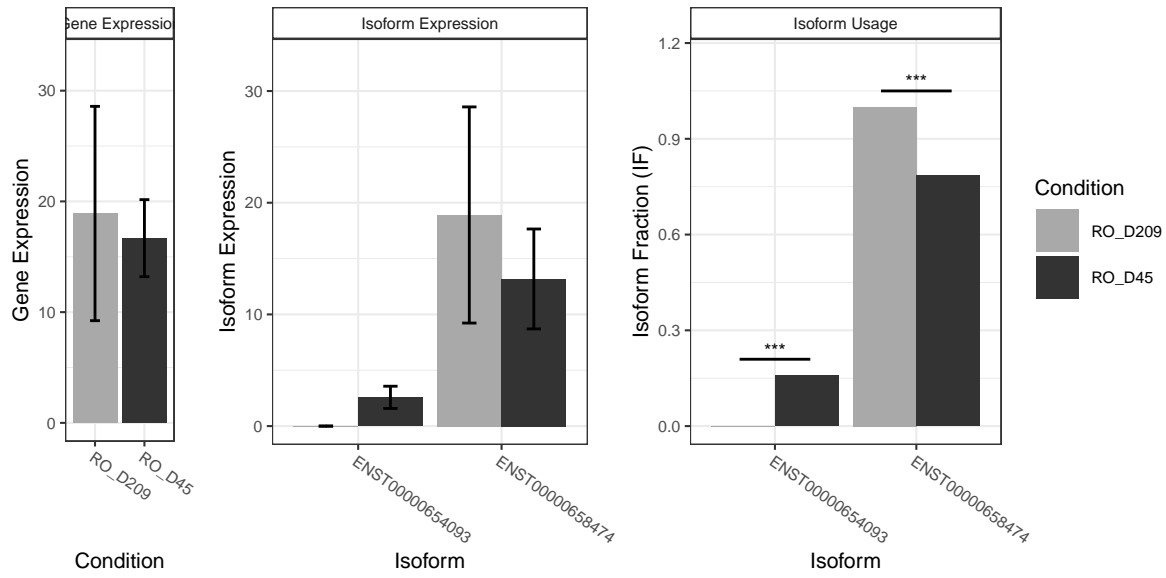
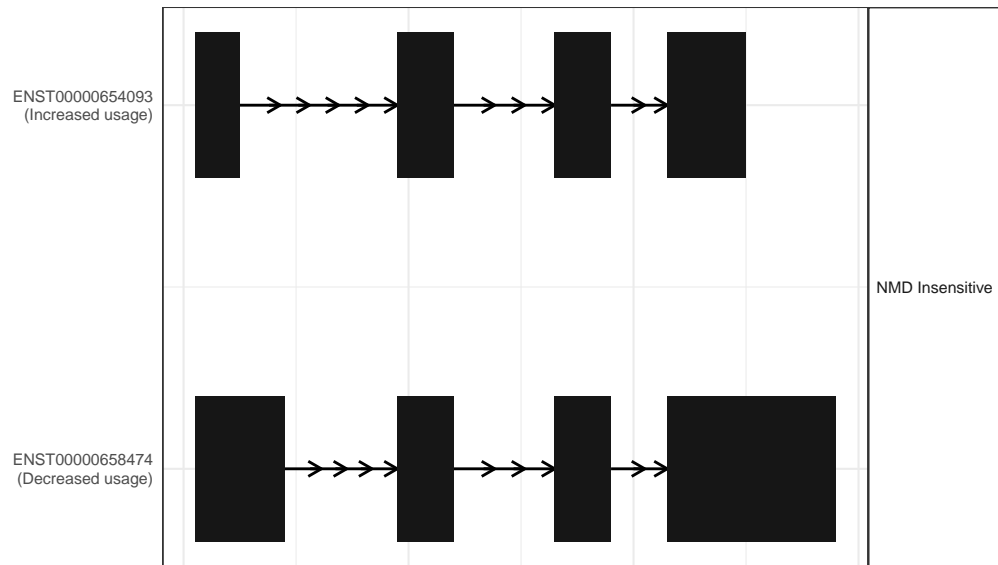
The isoform switch in GNAT1 (RO_D209 vs RO_D45)



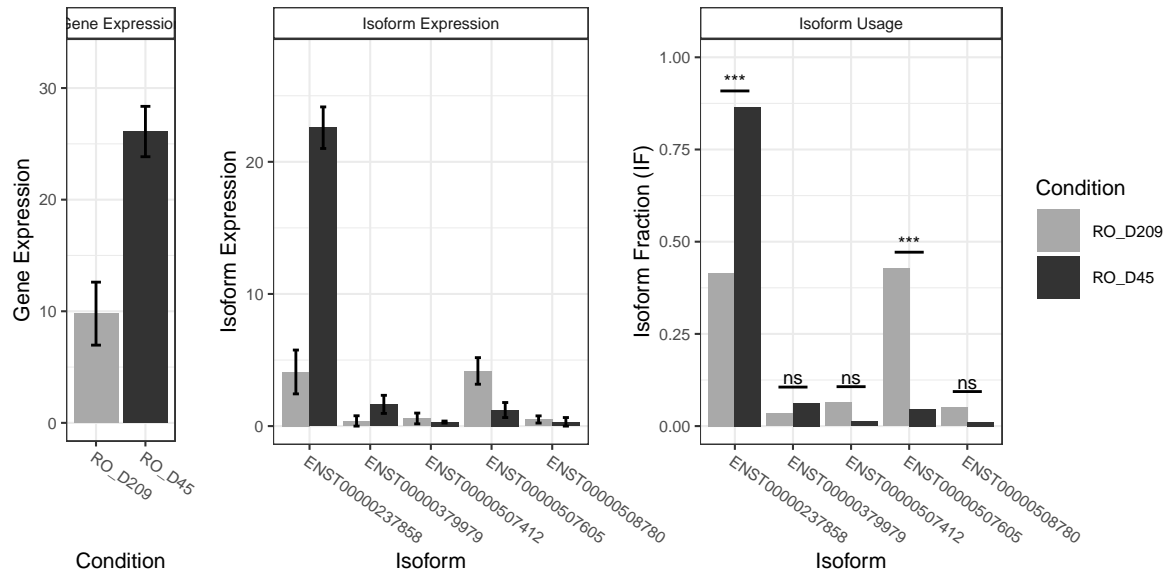
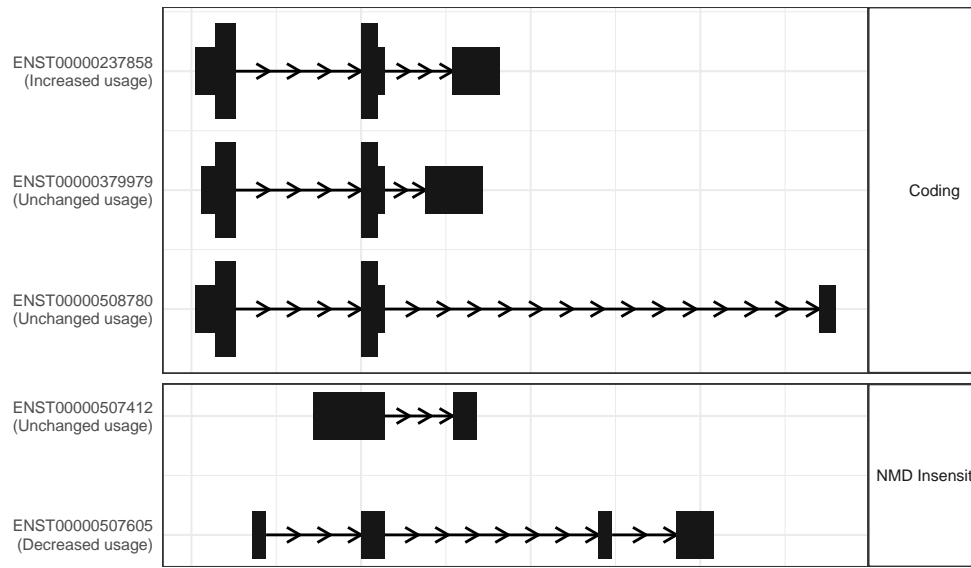
The isoform switch in PUM3 (RO_D209 vs RO_D45)



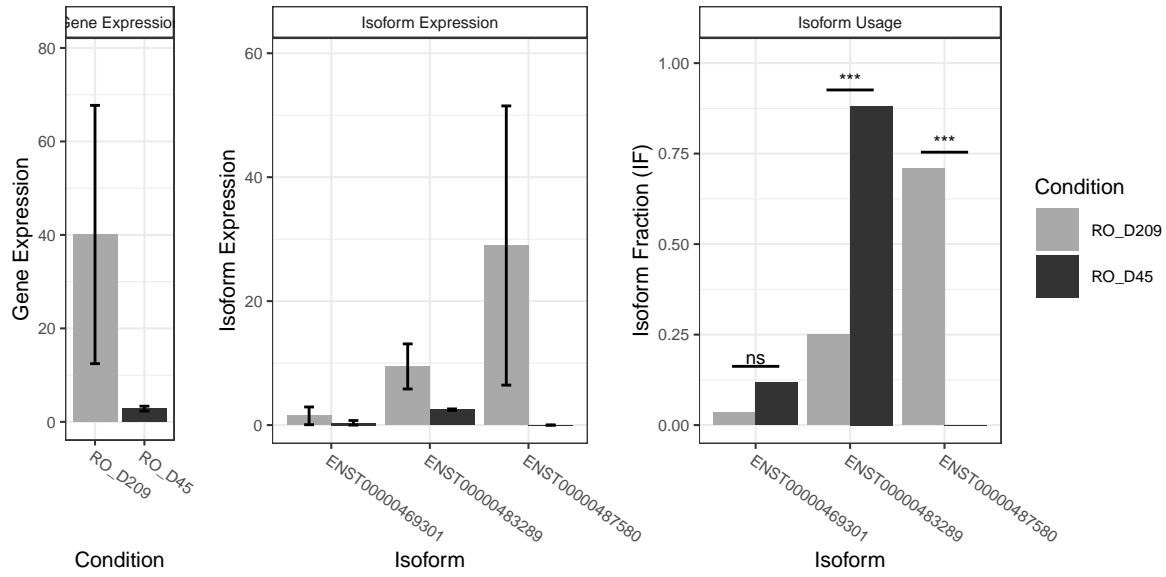
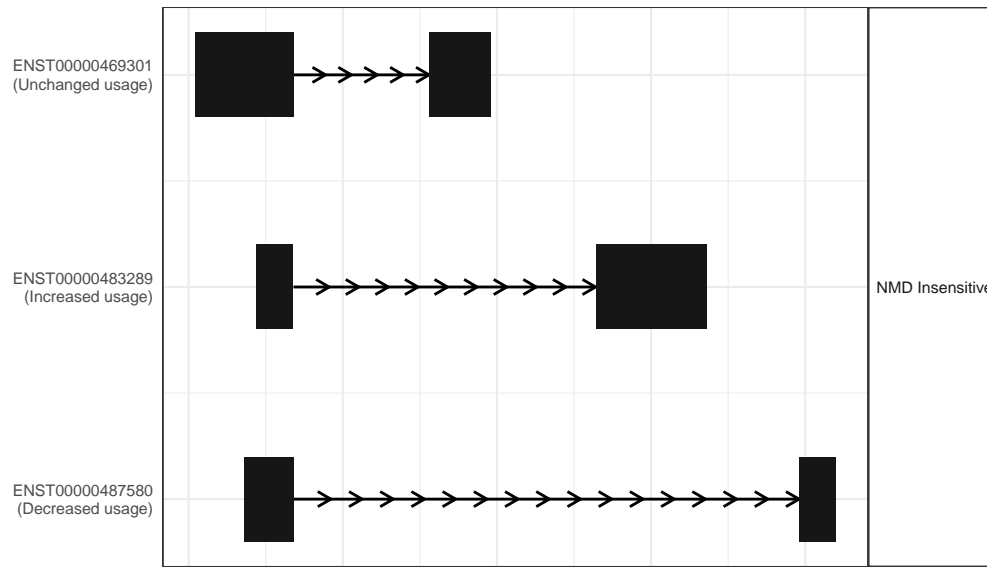
The isoform switch in LINC01474 (RO_D209 vs RO_D45)



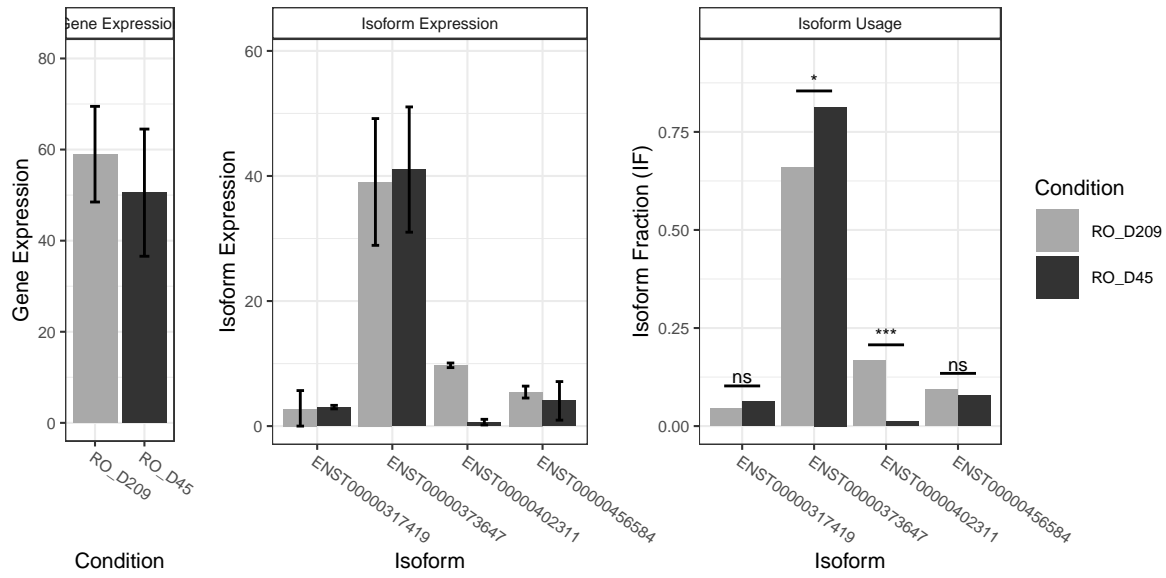
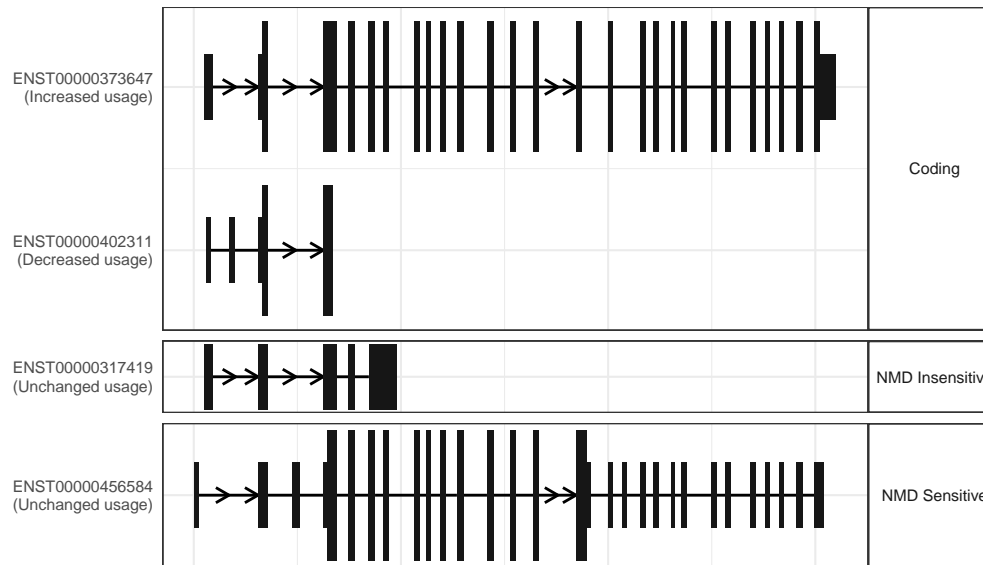
The isoform switch in GLRX (RO_D209 vs RO_D45)



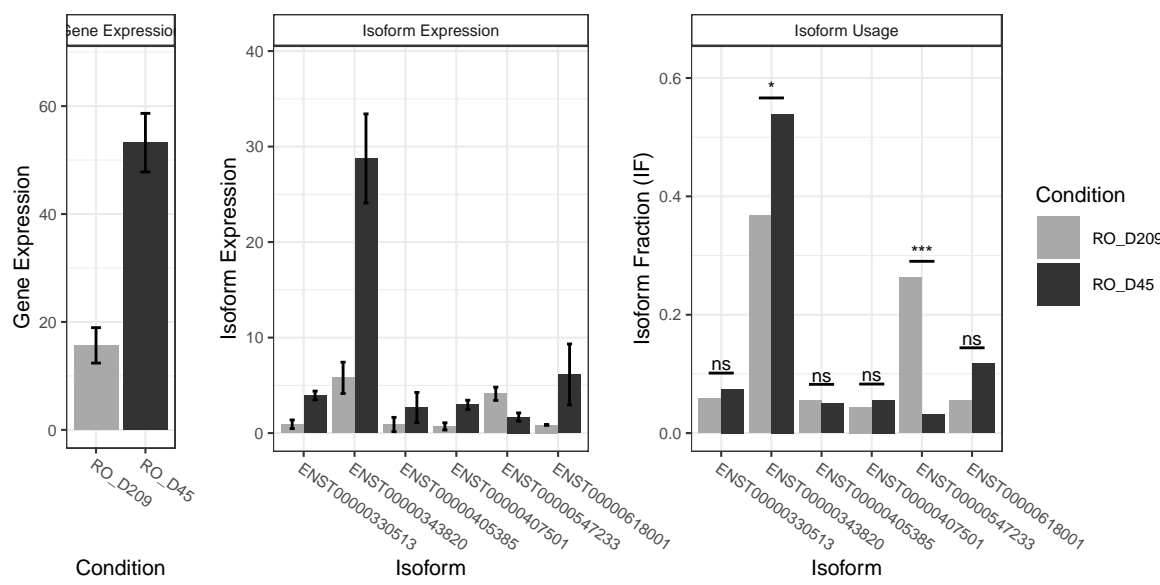
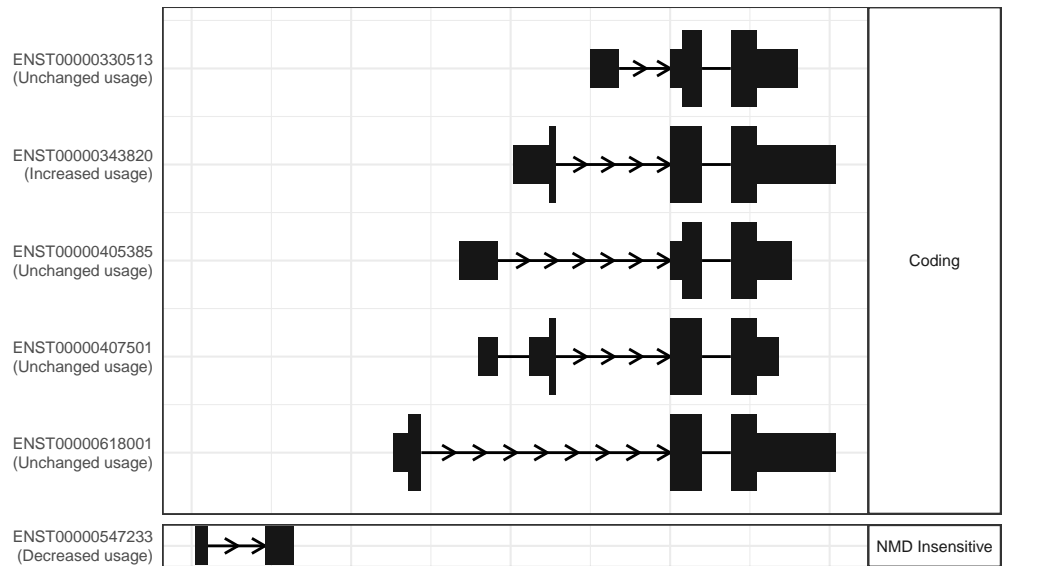
The isoform switch in FHL1P1 (RO_D209 vs RO_D45)



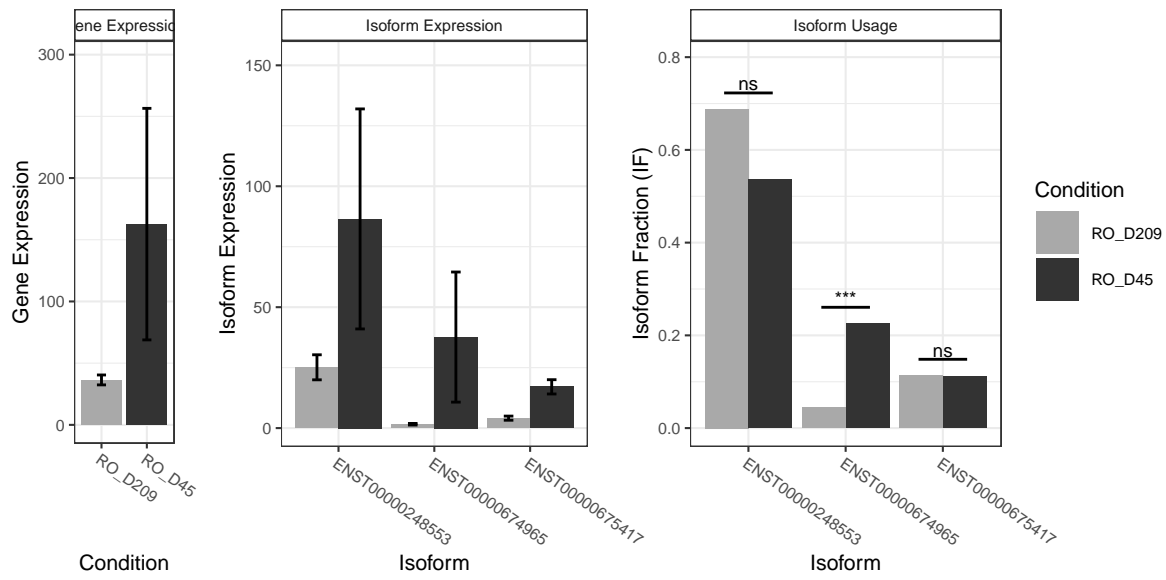
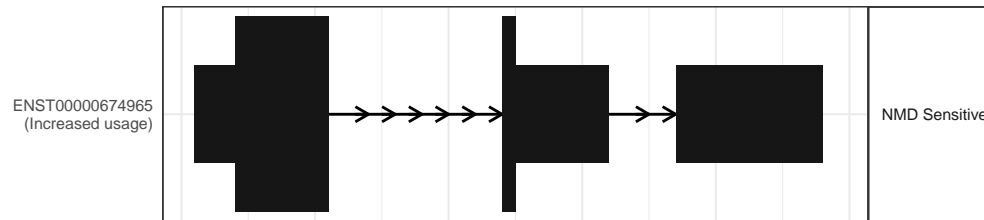
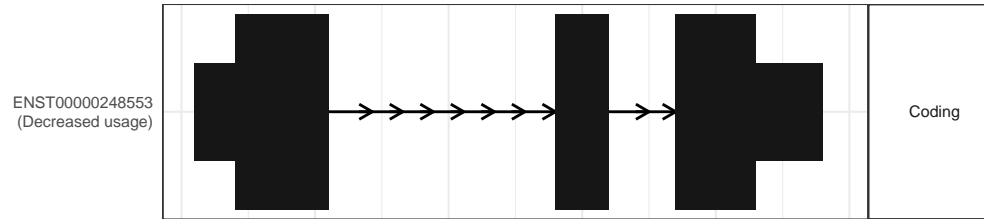
The isoform switch in RABGAP1 (RO_D209 vs RO_D45)



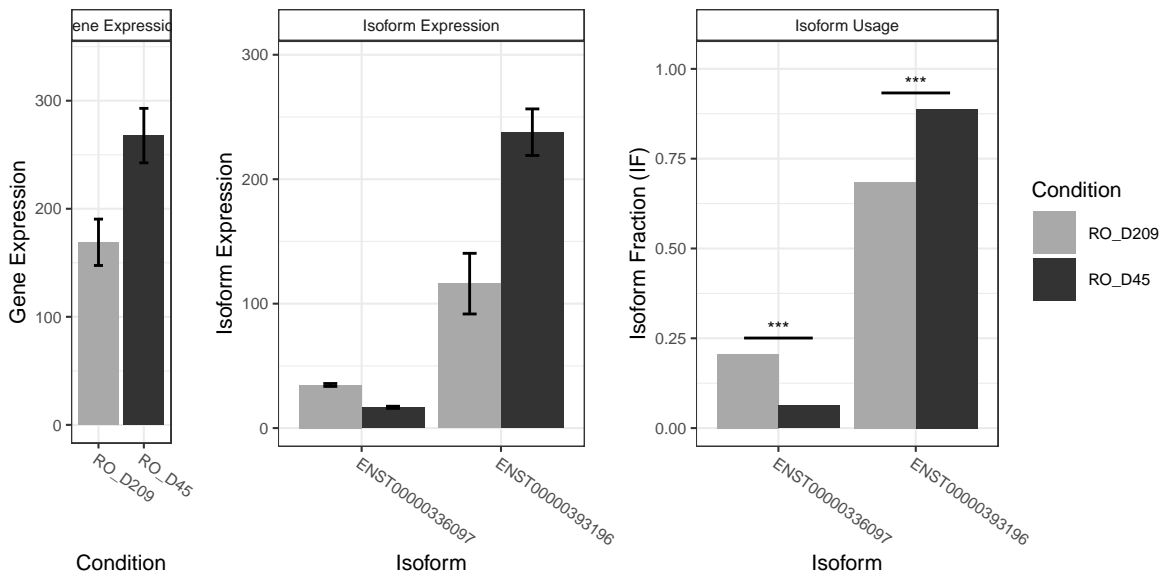
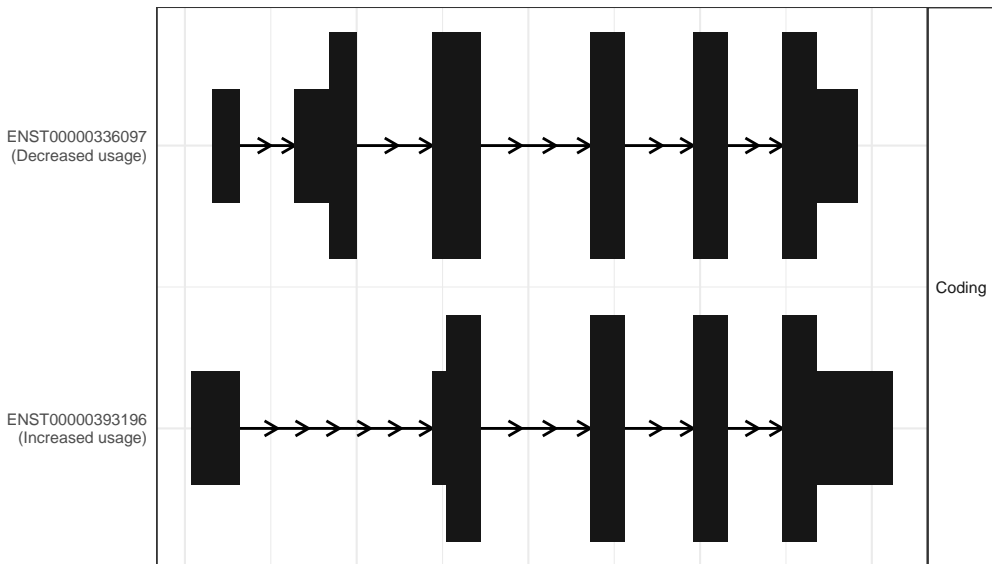
The isoform switch in TGIF1 (RO_D209 vs RO_D45)



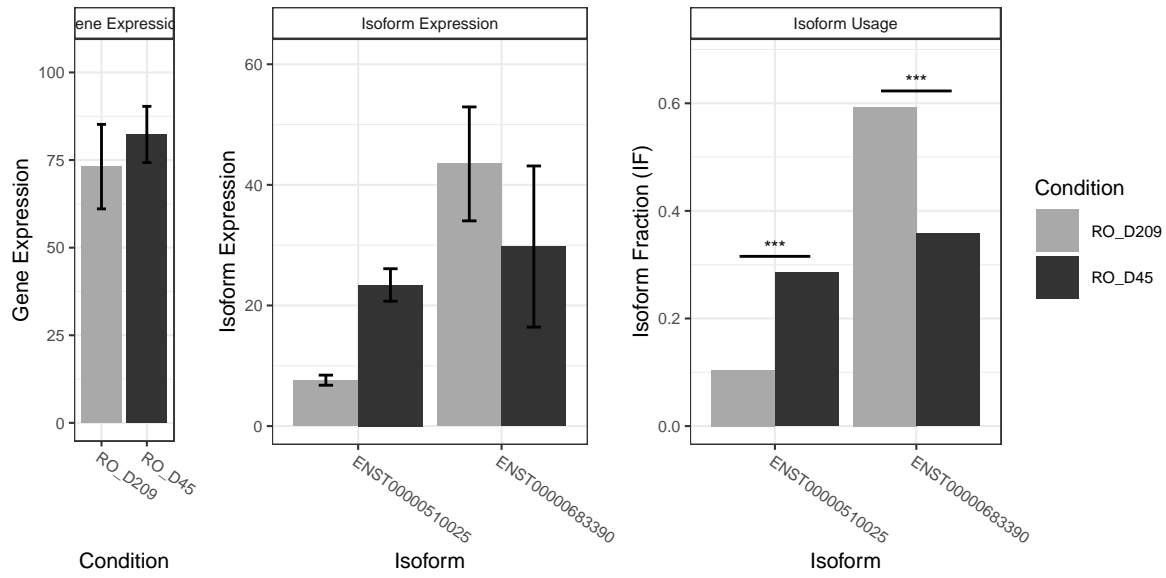
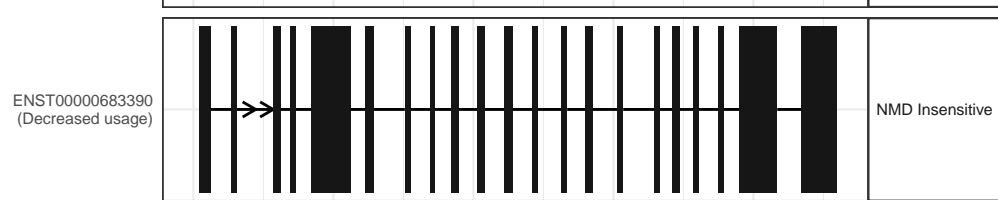
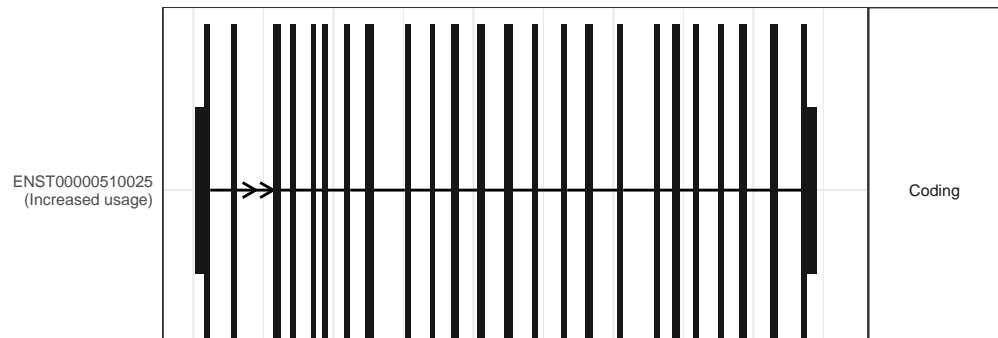
The isoform switch in HSPB1 (RO_D209 vs RO_D45)



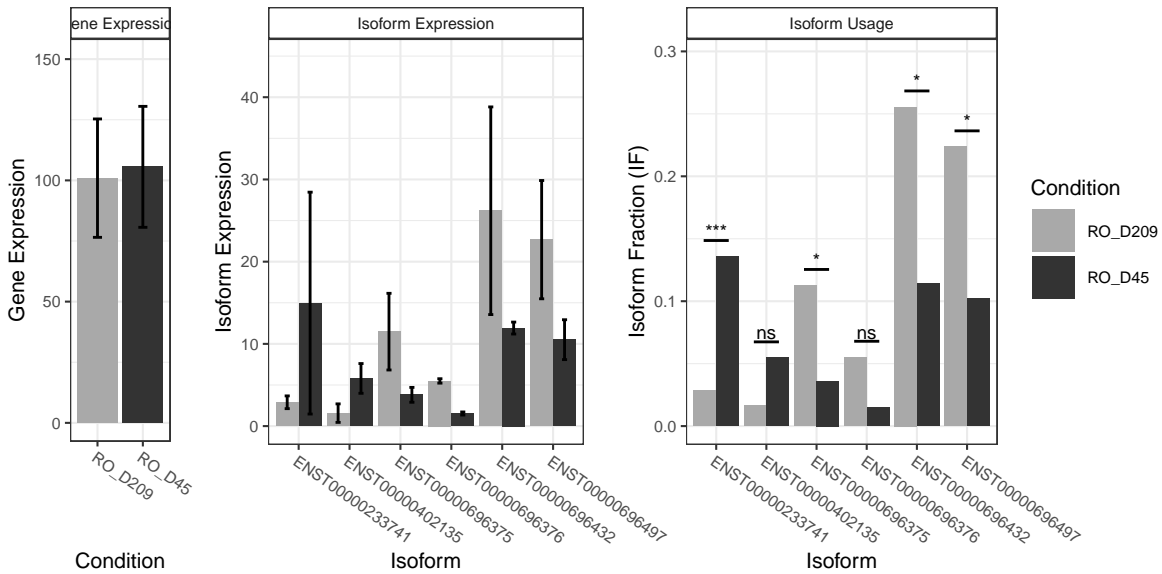
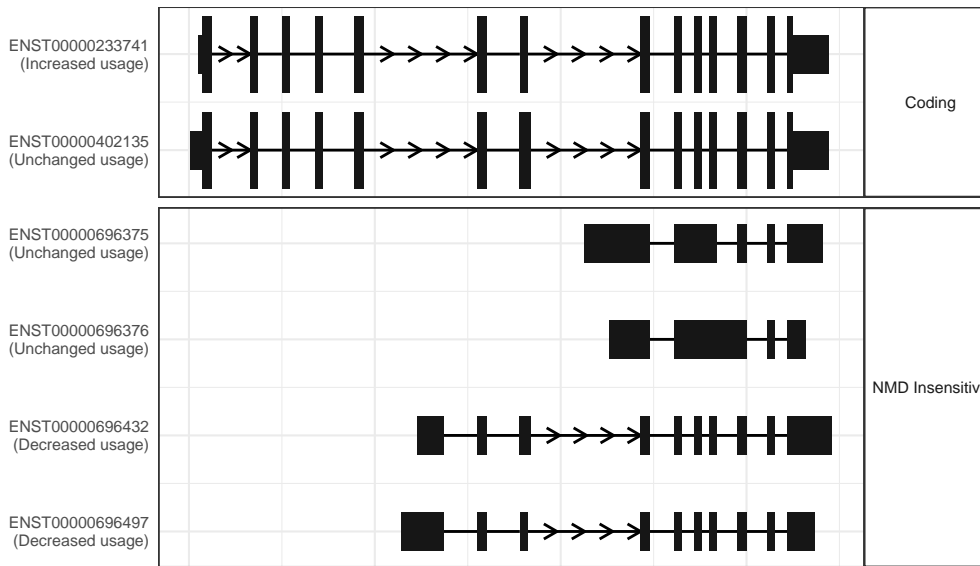
The isoform switch in NME1 (RO_D209 vs RO_D45)



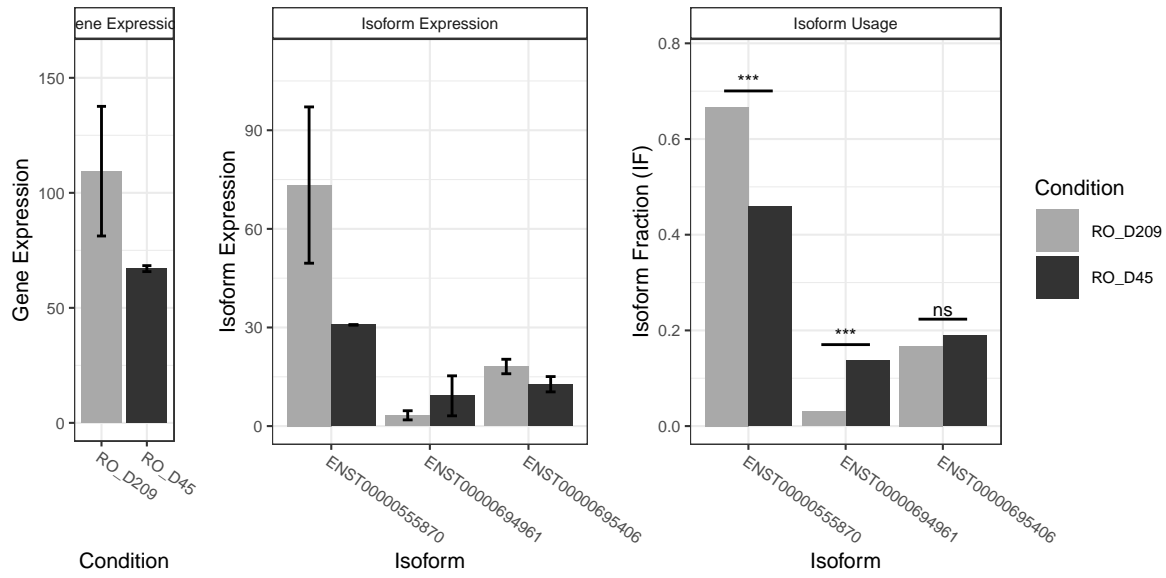
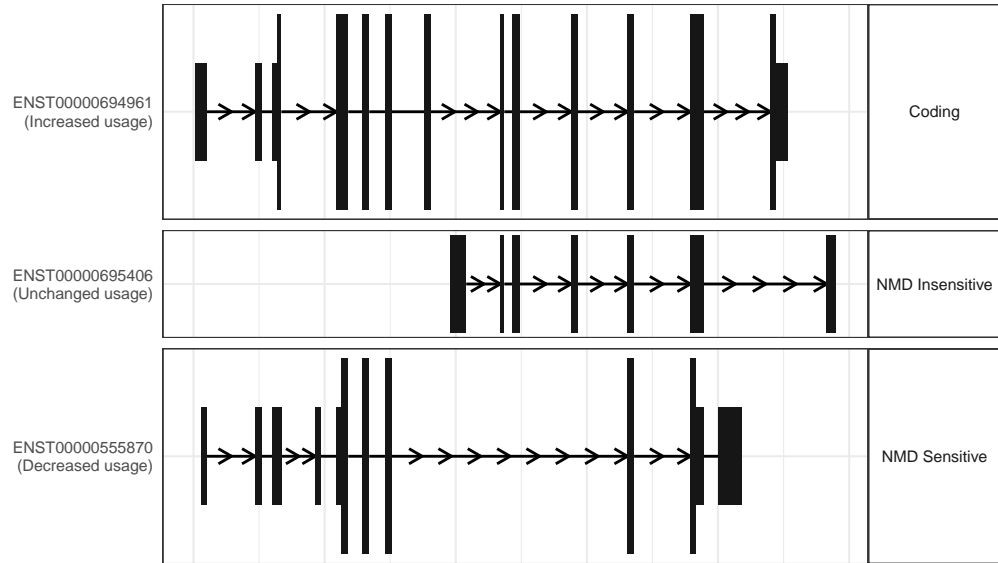
The isoform switch in HSD17B4 (RO_D209 vs RO_D45)



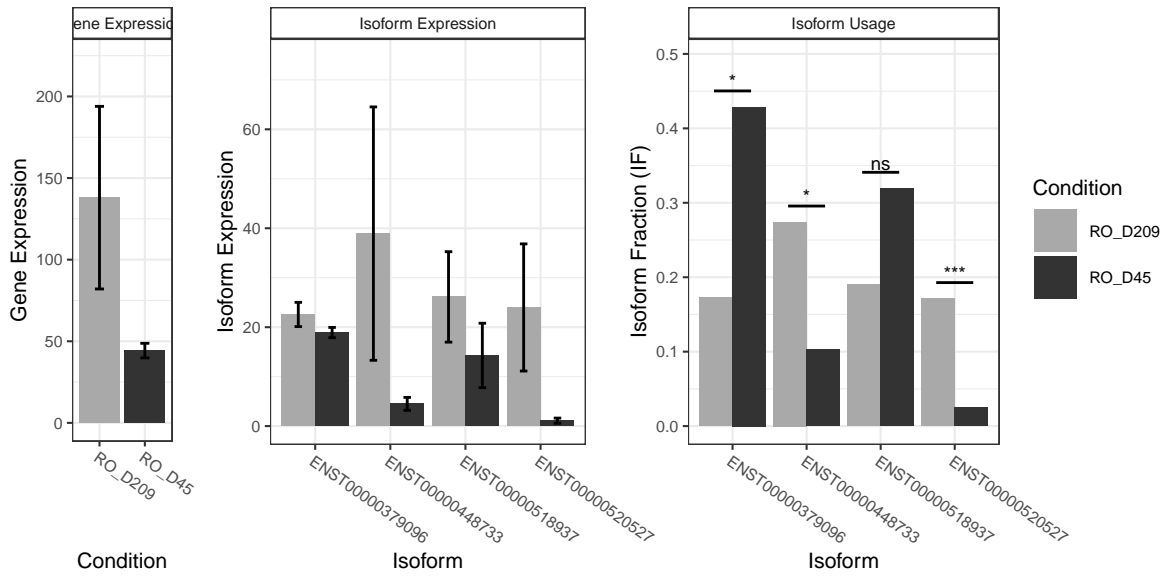
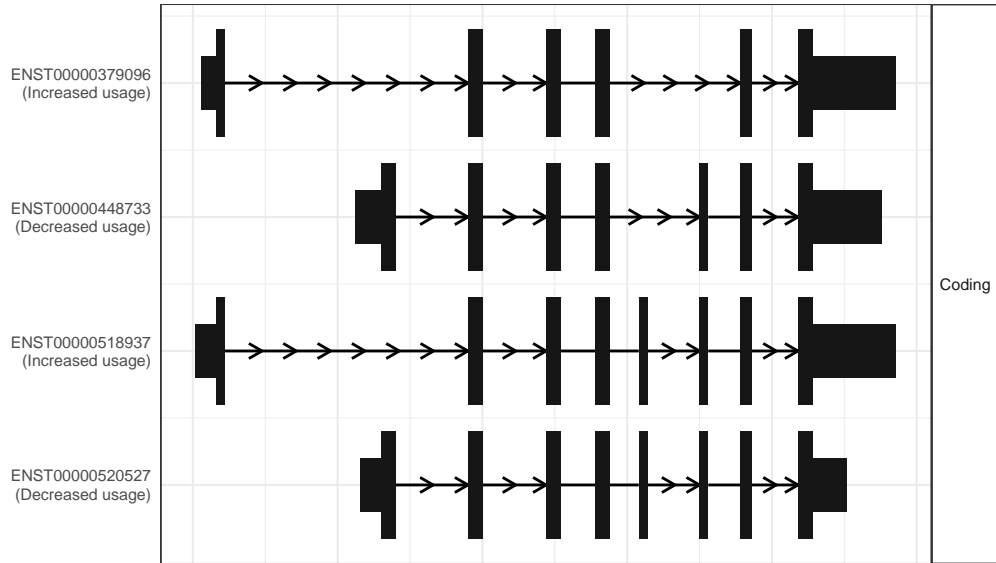
The isoform switch in FANCL (RO_D209 vs RO_D45)



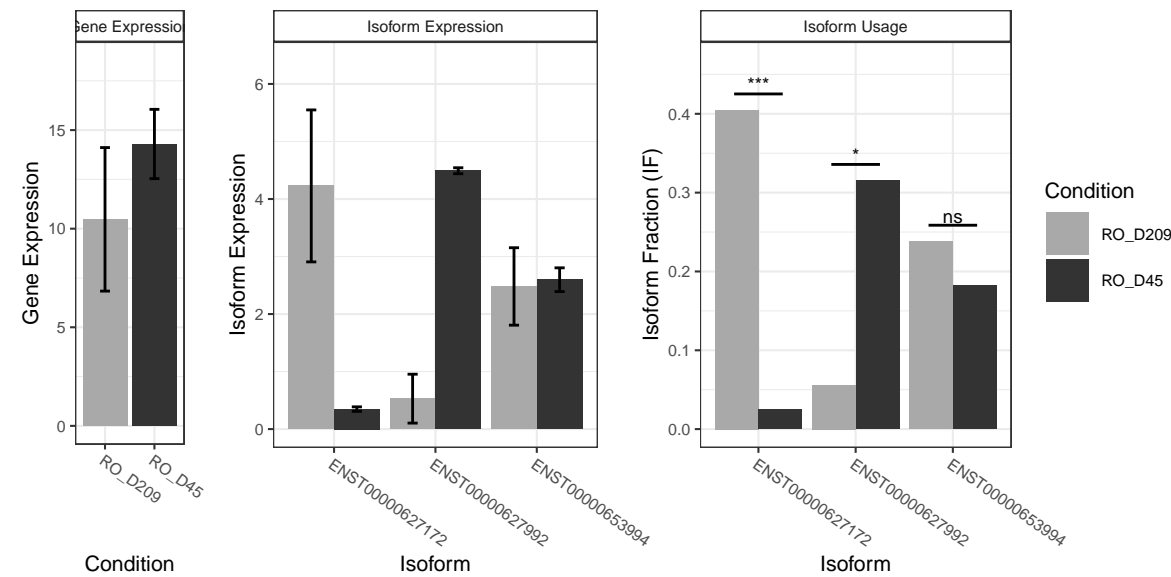
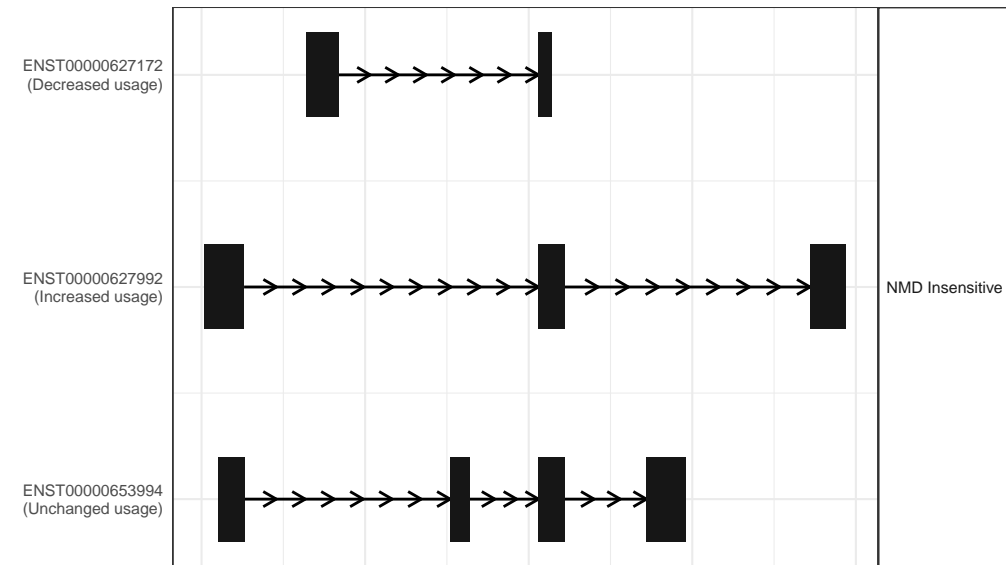
The isoform switch in MIPOL1 (RO_D209 vs RO_D45)



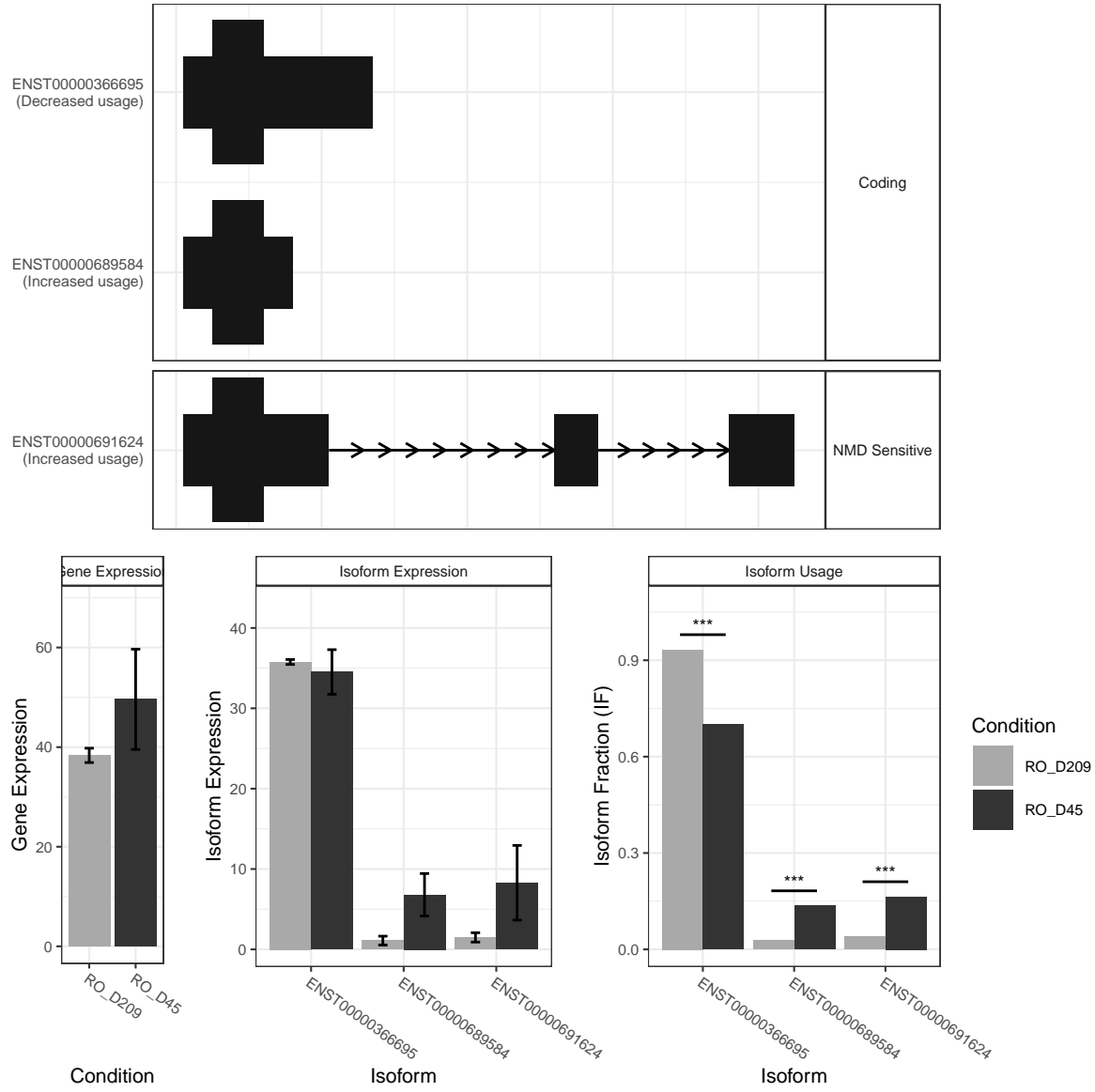
The isoform switch in TPD52 (RO_D209 vs RO_D45)



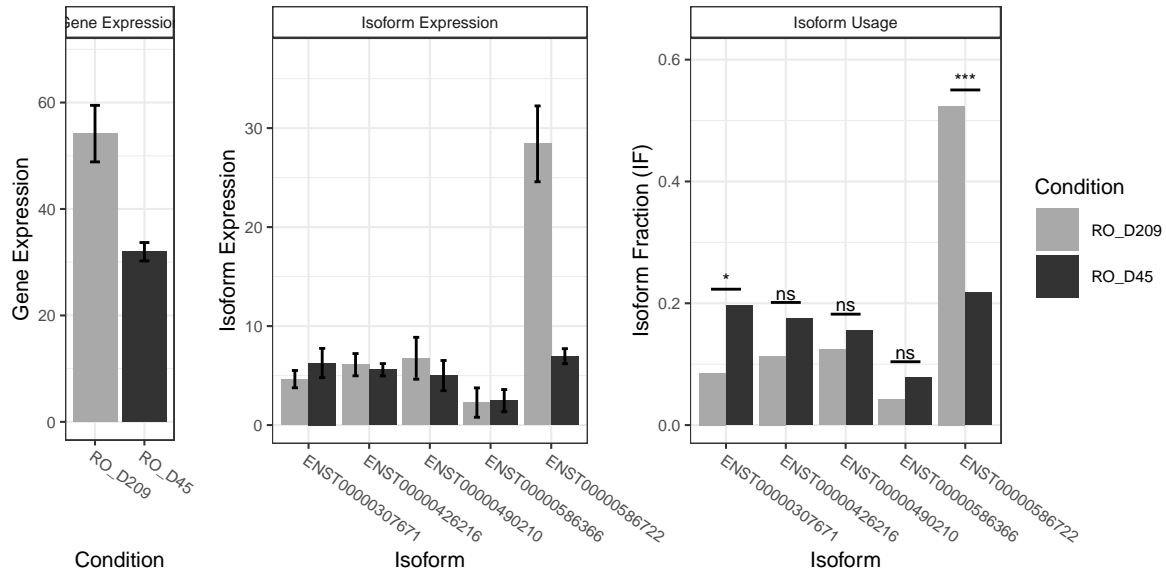
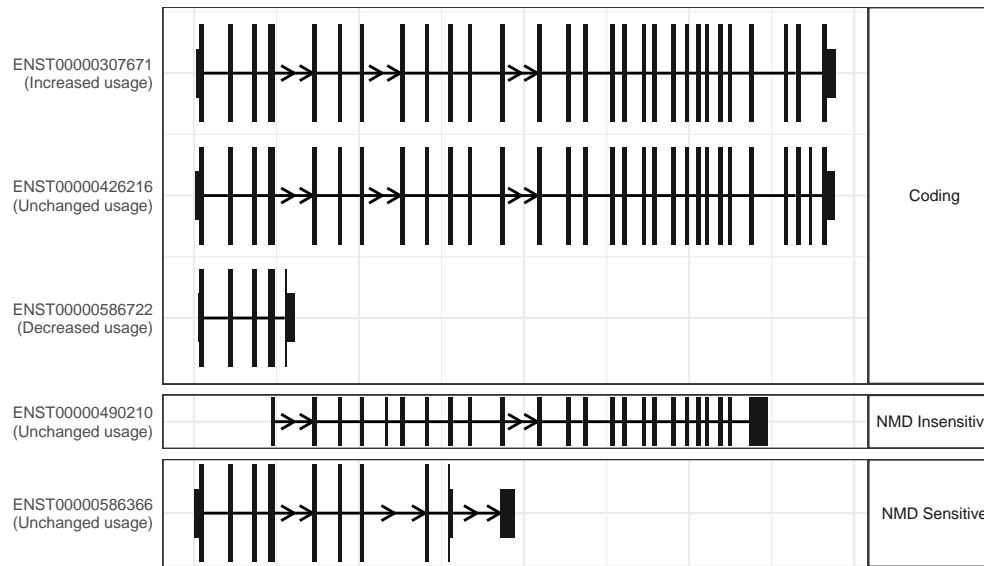
The isoform switch in CYP1B1–AS1 (RO_D209 vs RO_D45)



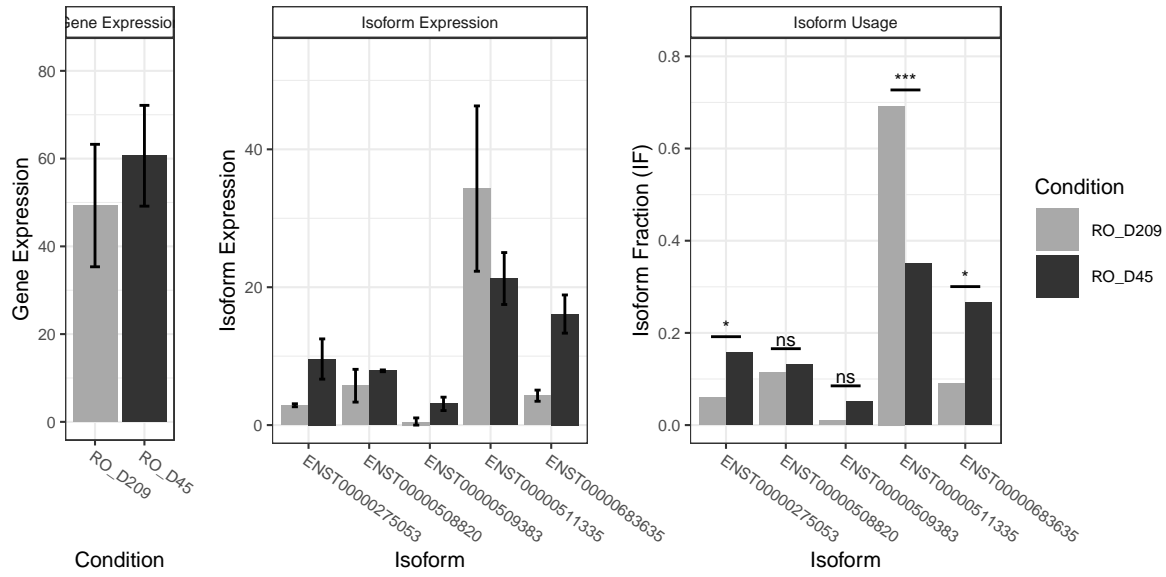
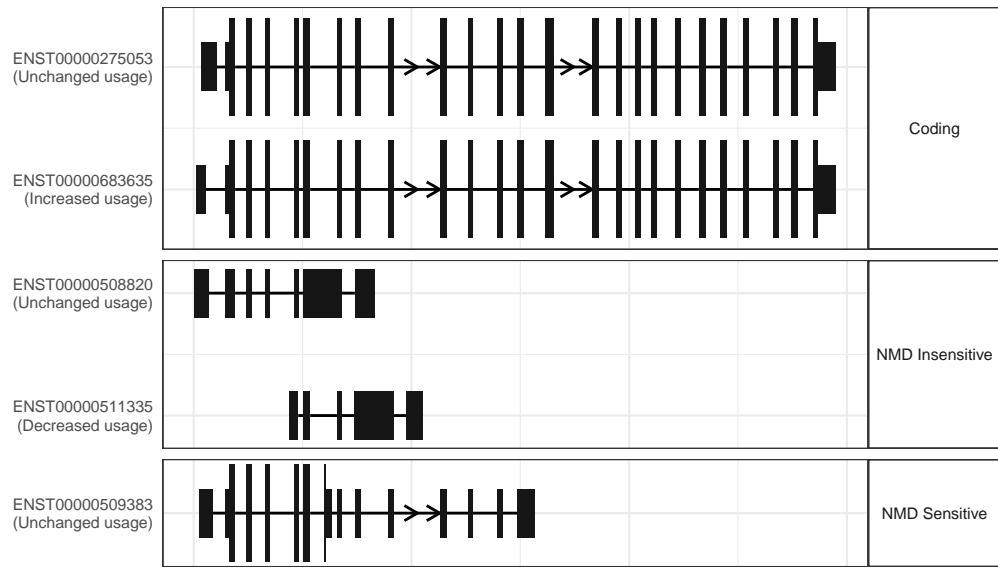
The isoform switch in H2AC25 (RO_D209 vs RO_D45)



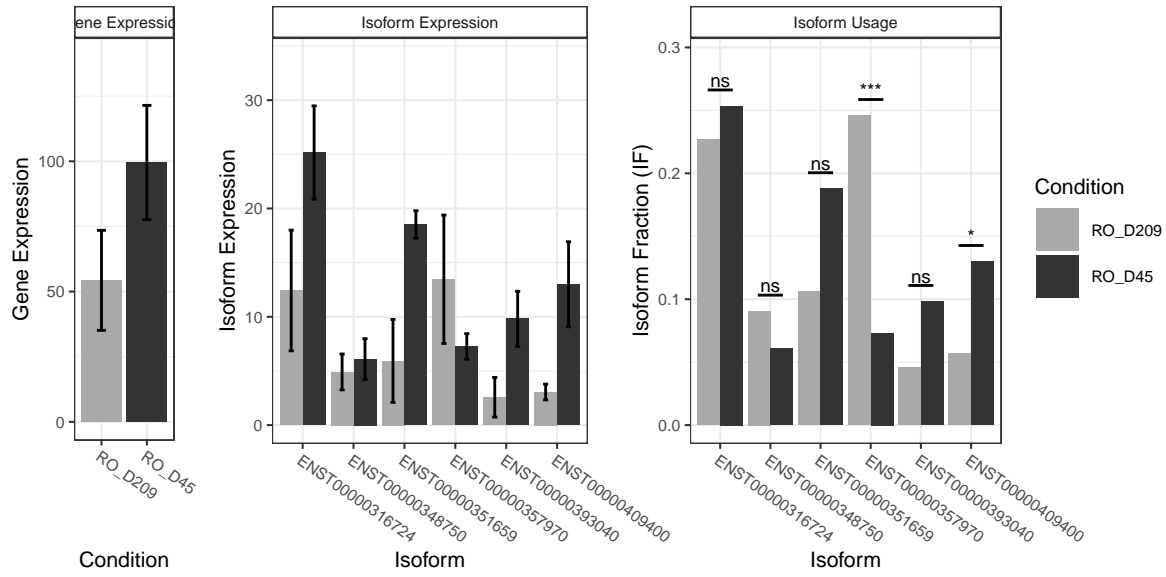
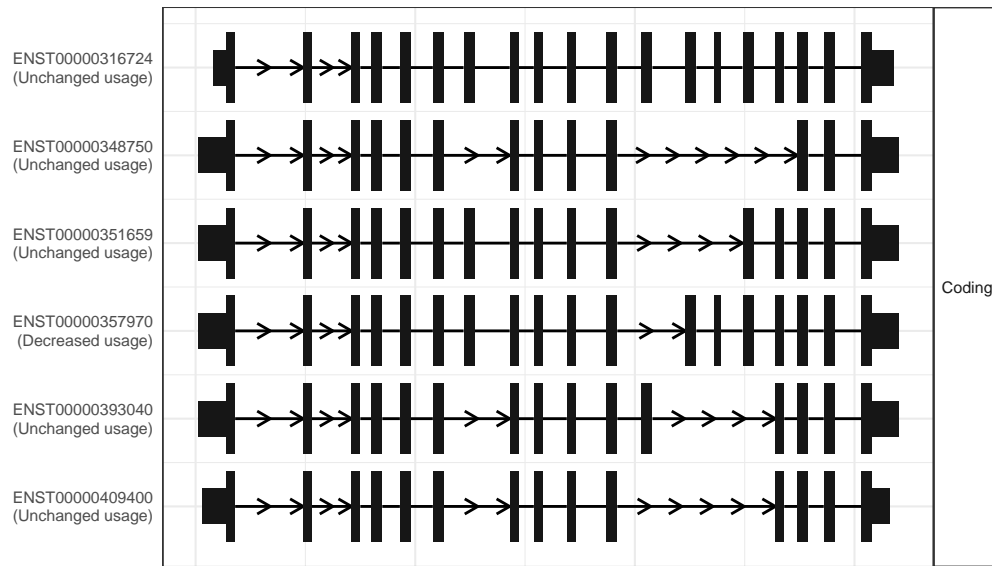
The isoform switch in ATP9B (RO_D209 vs RO_D45)



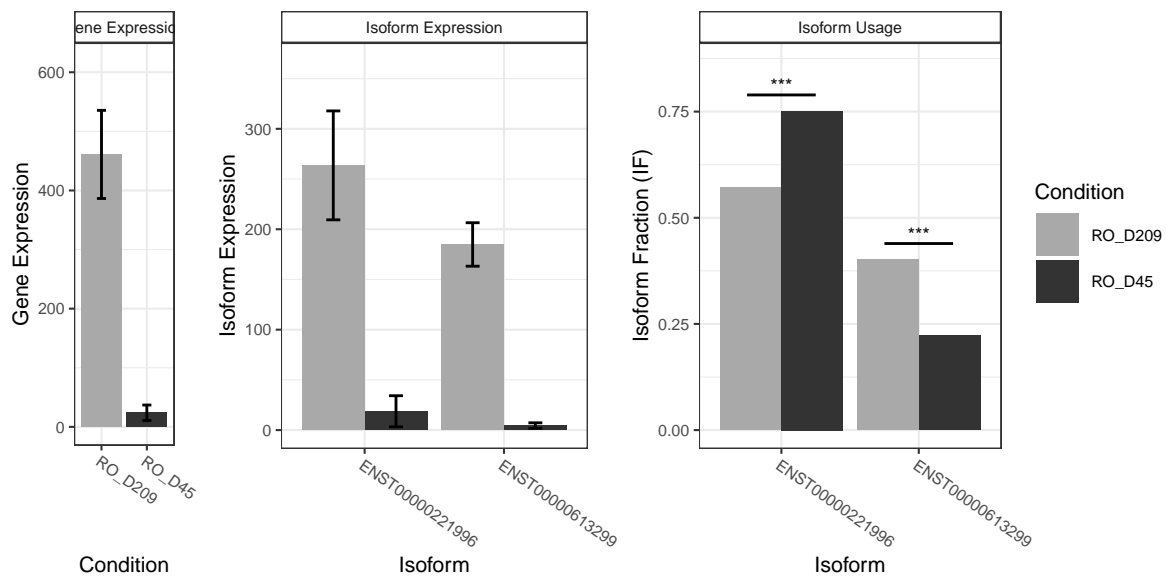
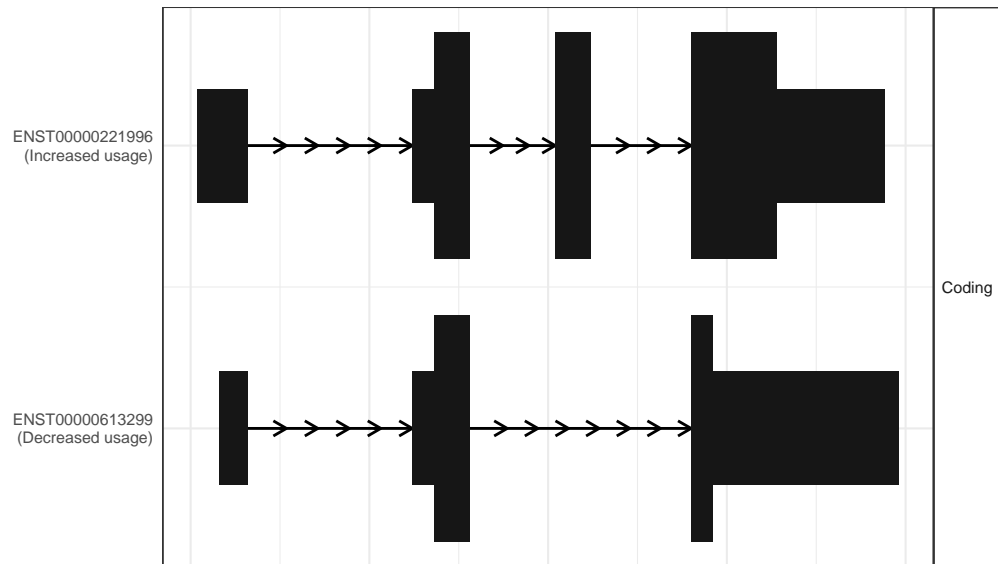
The isoform switch in MMS22L (RO_D209 vs RO_D45)



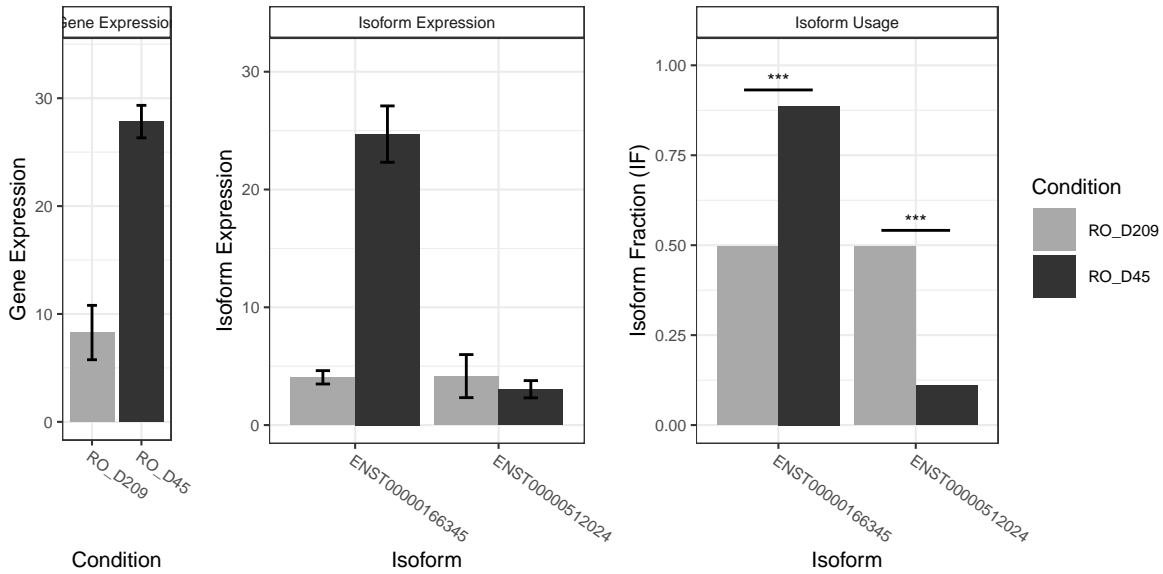
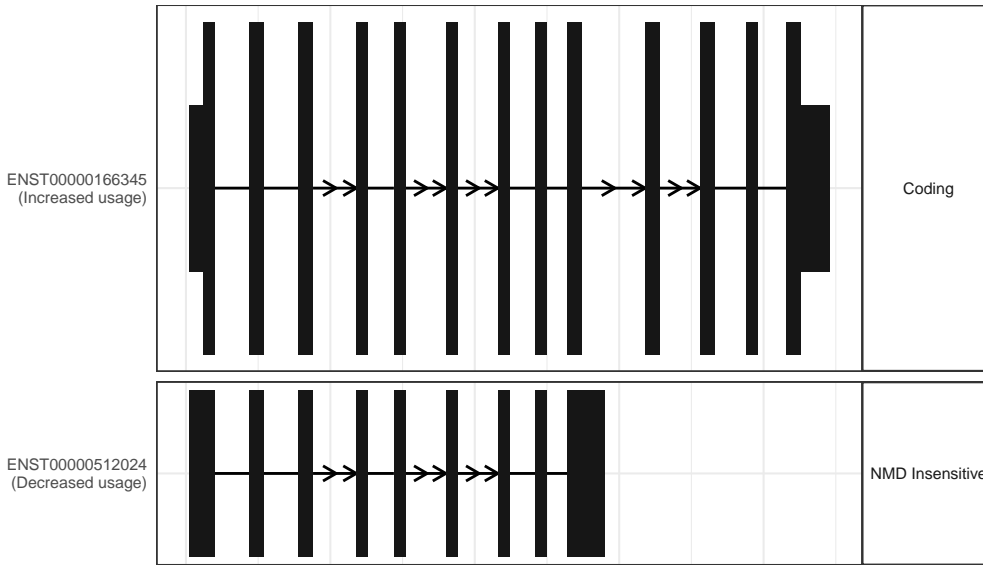
The isoform switch in BIN1 (RO_D209 vs RO_D45)



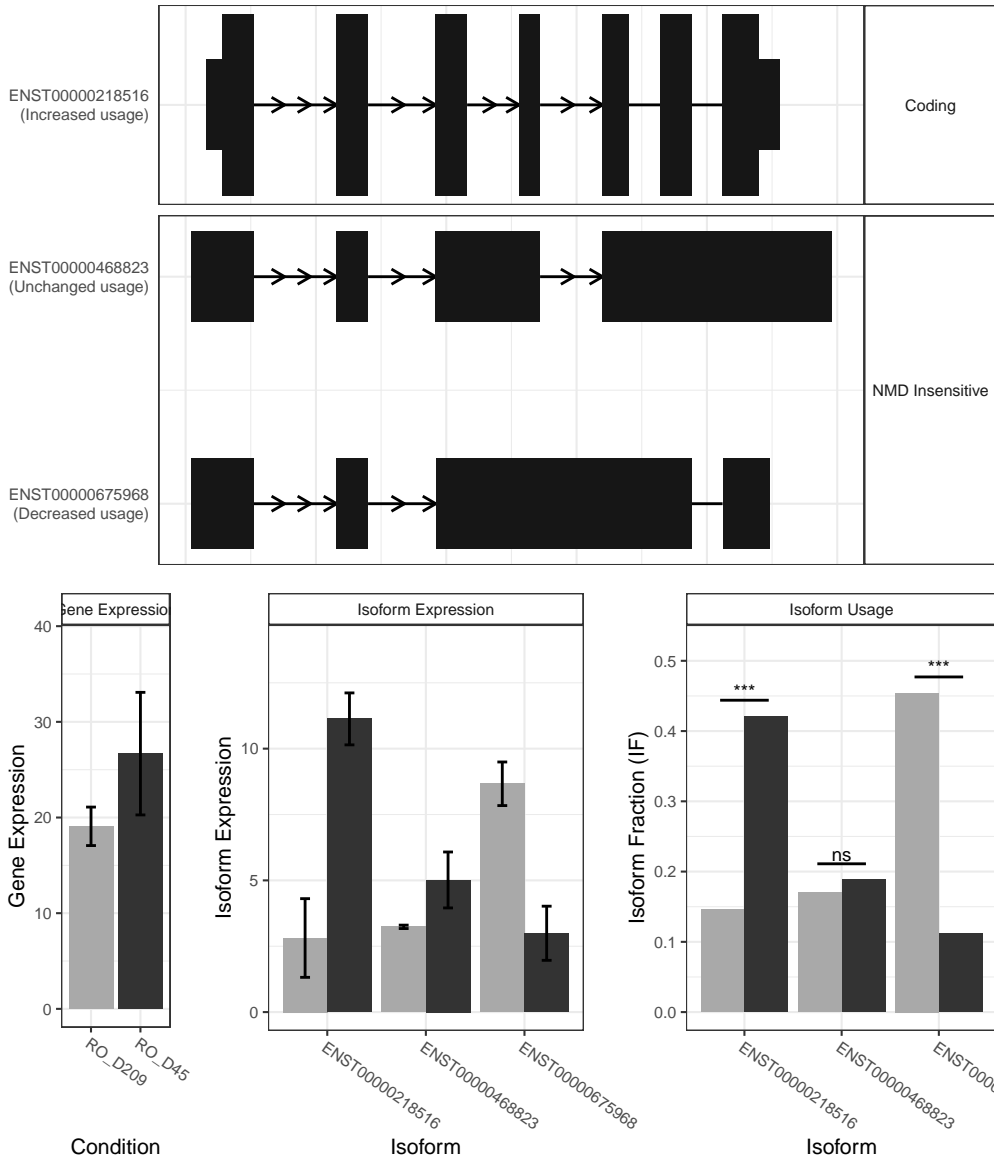
The isoform switch in CRX (RO_D209 vs RO_D45)



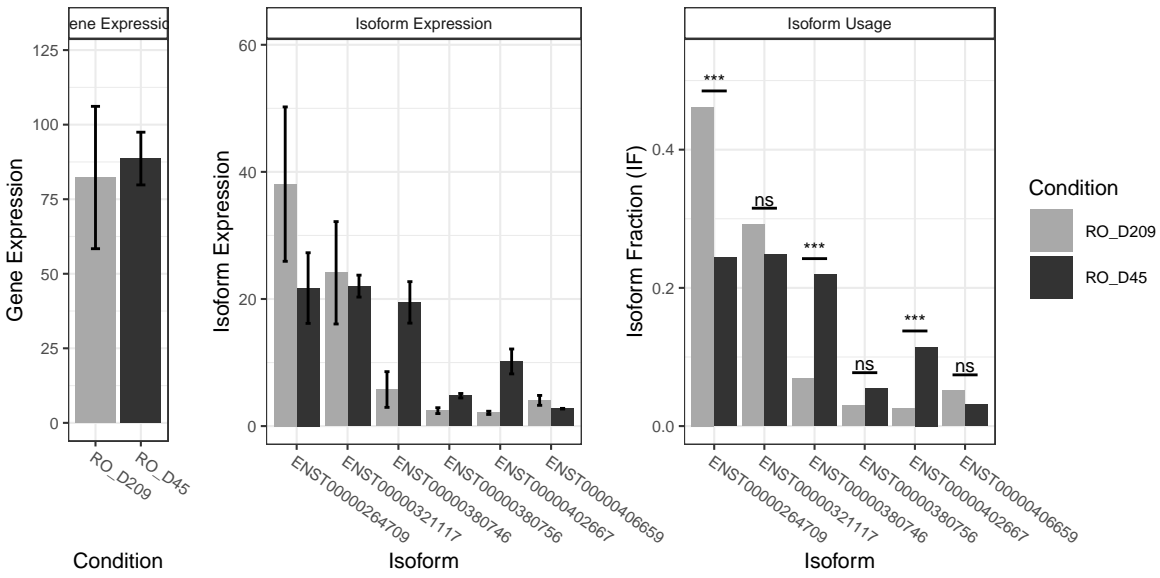
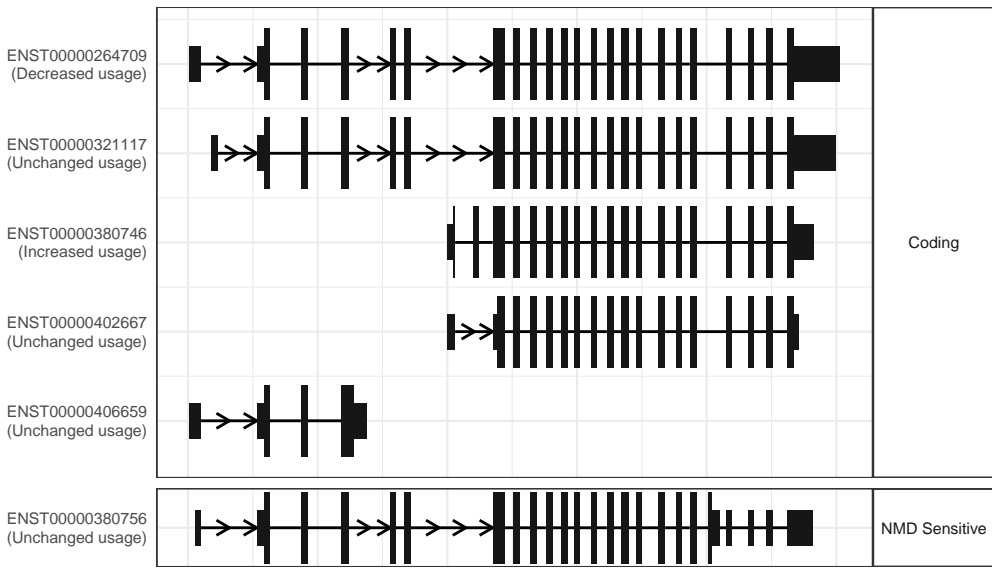
The isoform switch in TRIP13 (RO_D209 vs RO_D45)



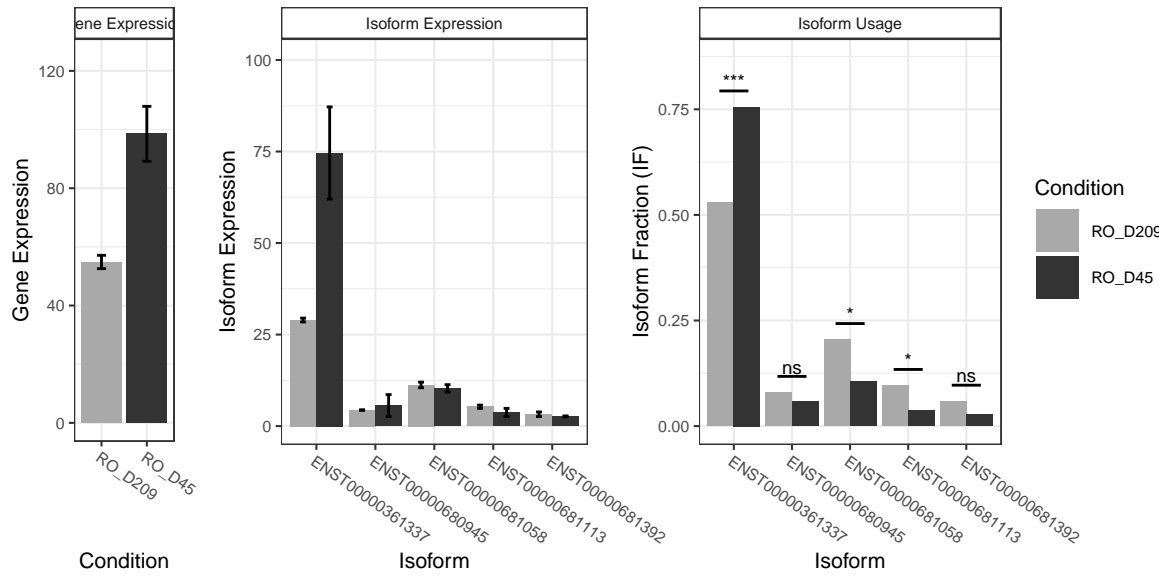
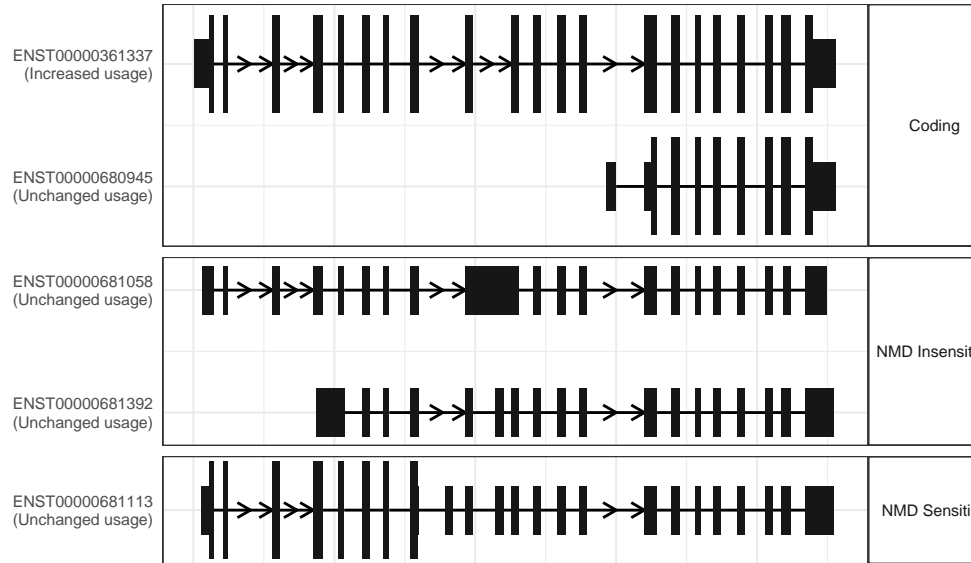
The isoform switch in GLA (RO_D209 vs RO_D45)



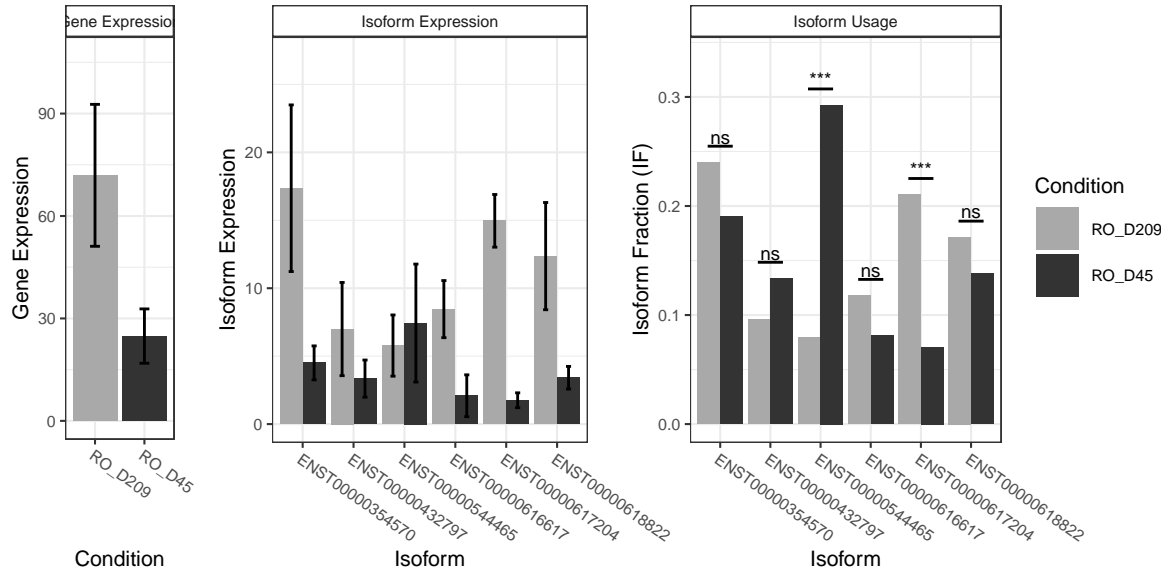
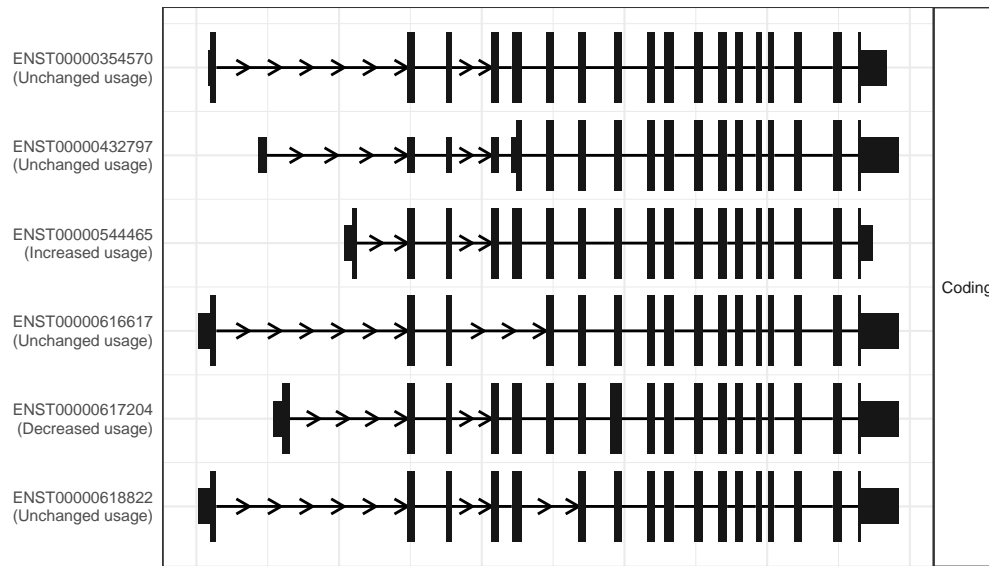
The isoform switch in DNMT3A (RO_D209 vs RO_D45)



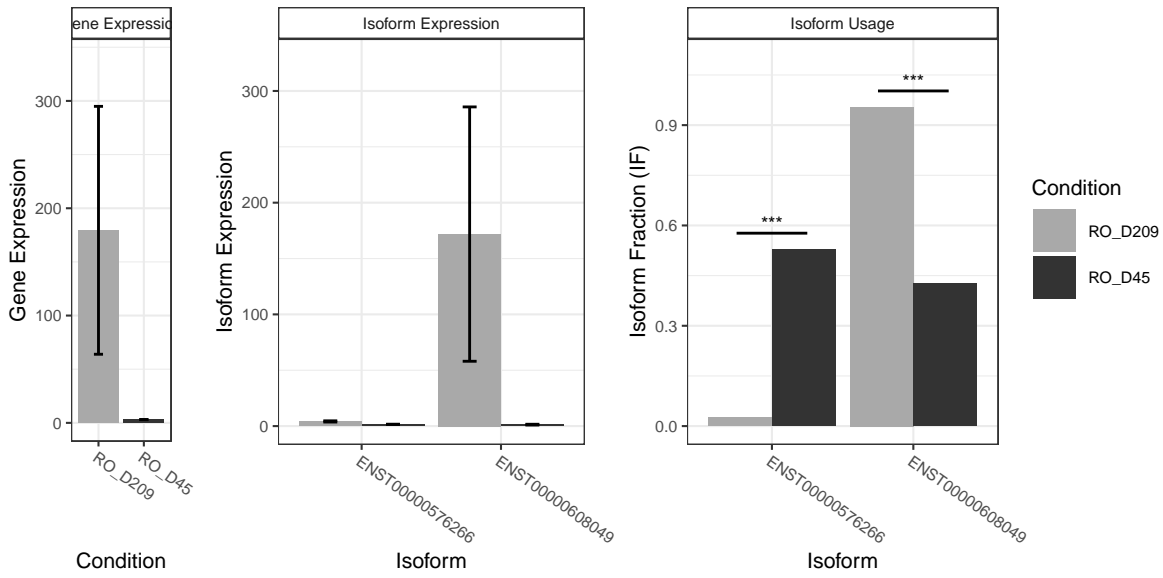
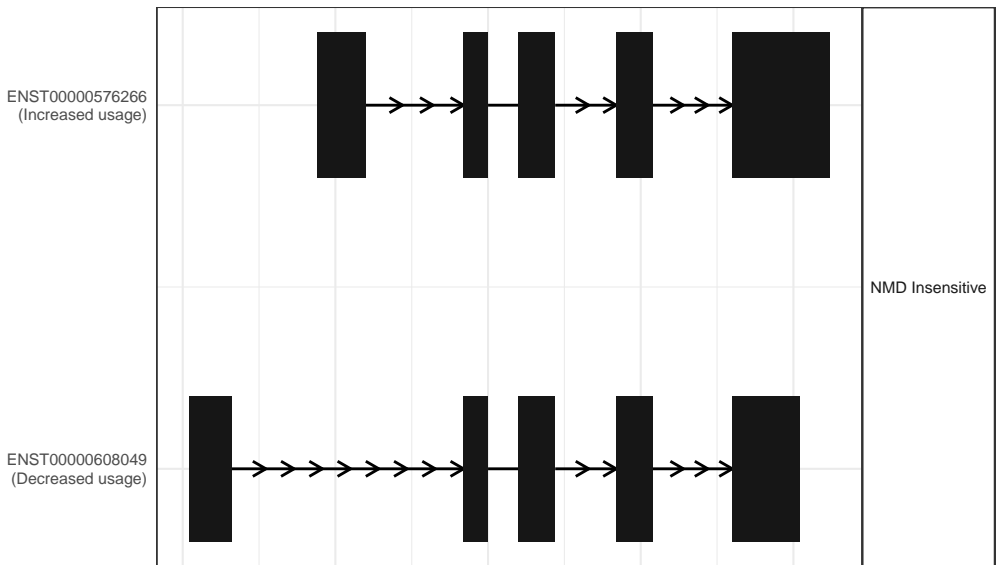
The isoform switch in TOP1 (RO_D209 vs RO_D45)



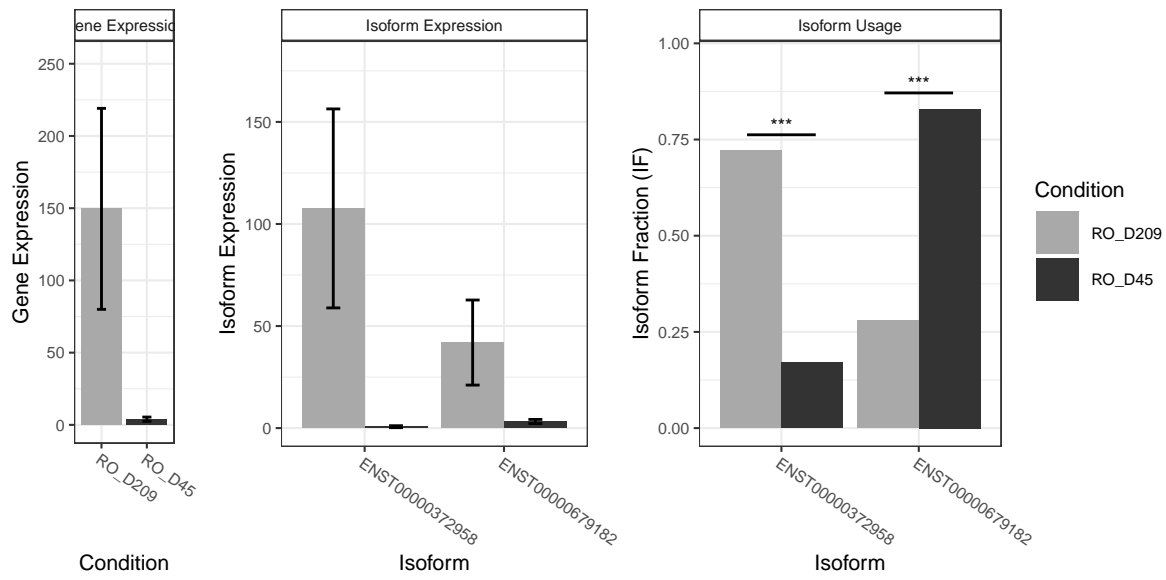
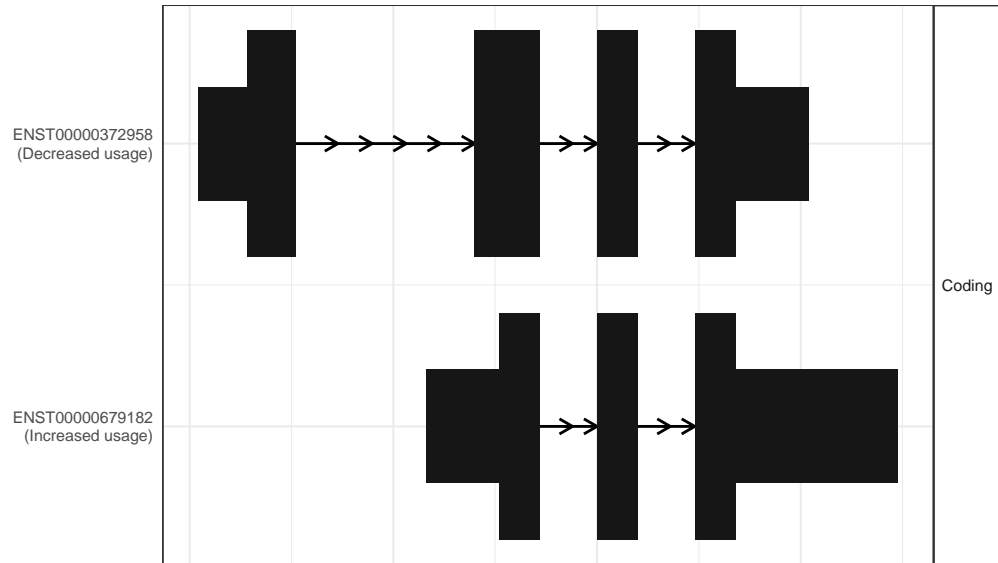
The isoform switch in MAP7 (RO_D209 vs RO_D45)



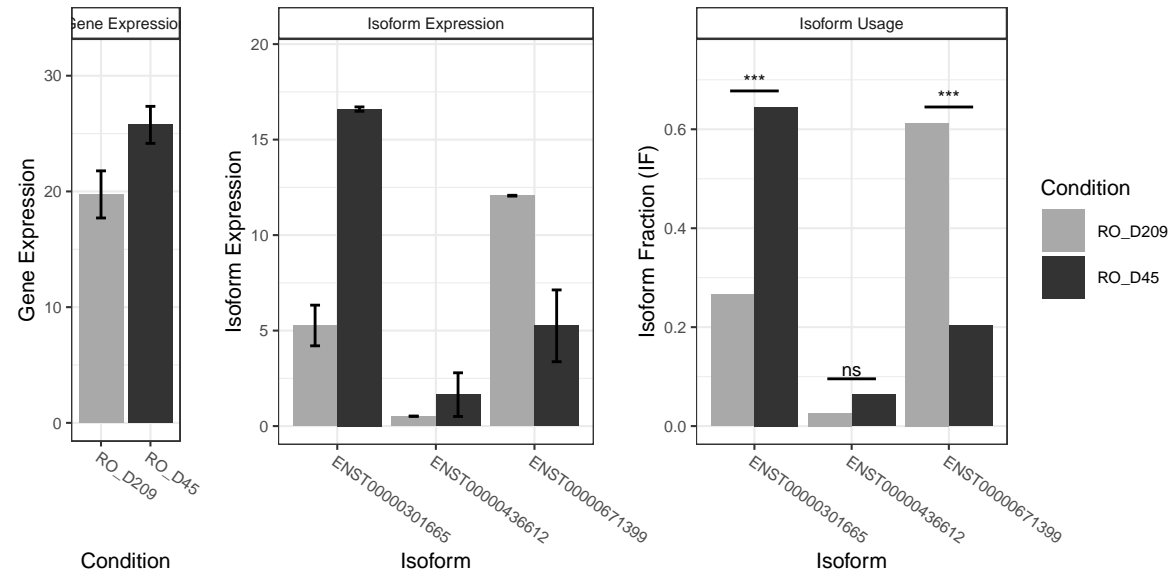
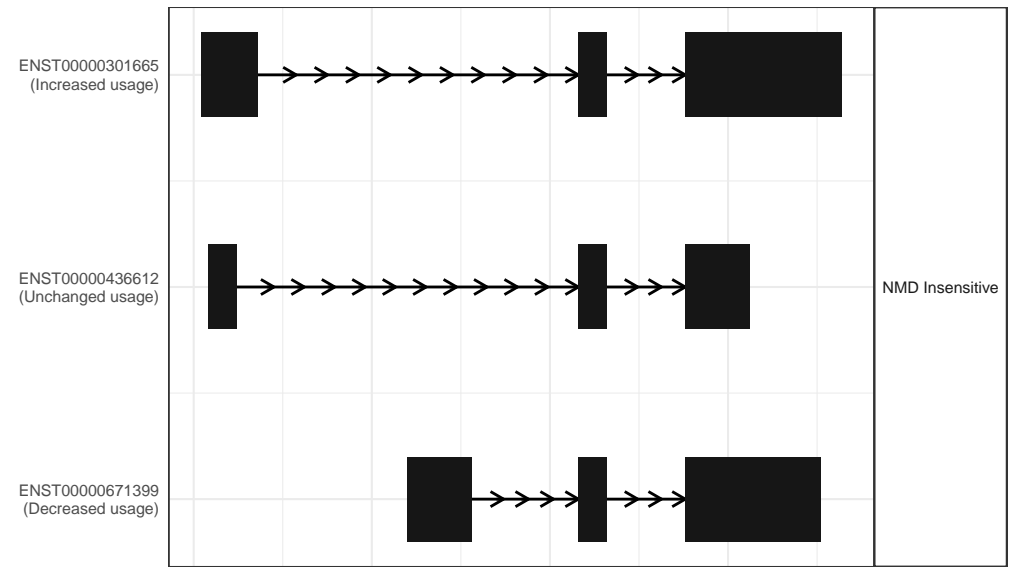
The isoform switch in ROCK1P1 (RO_D209 vs RO_D45)



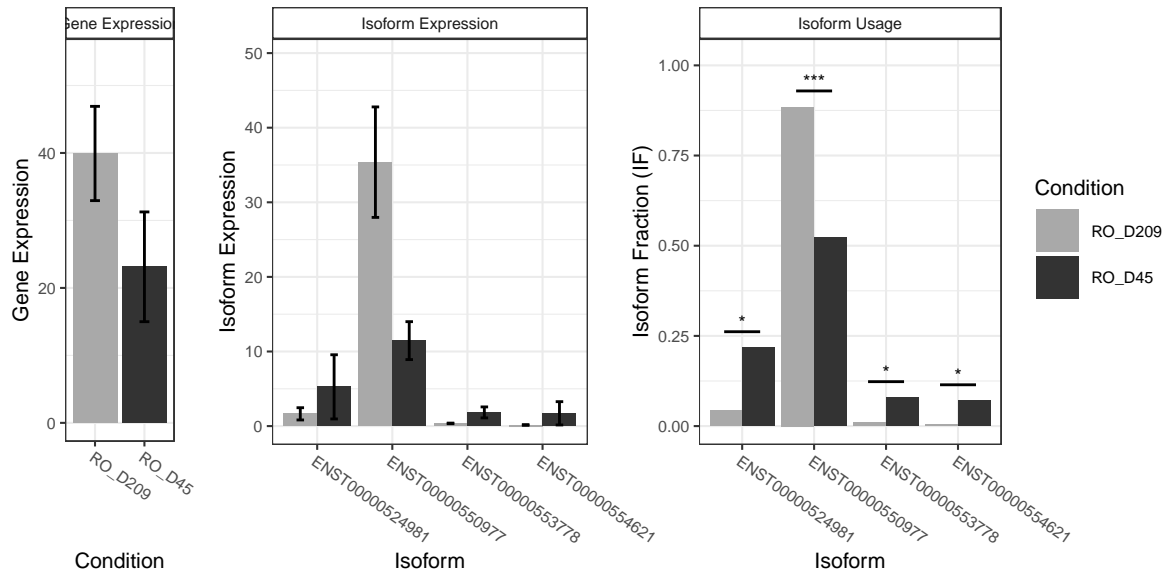
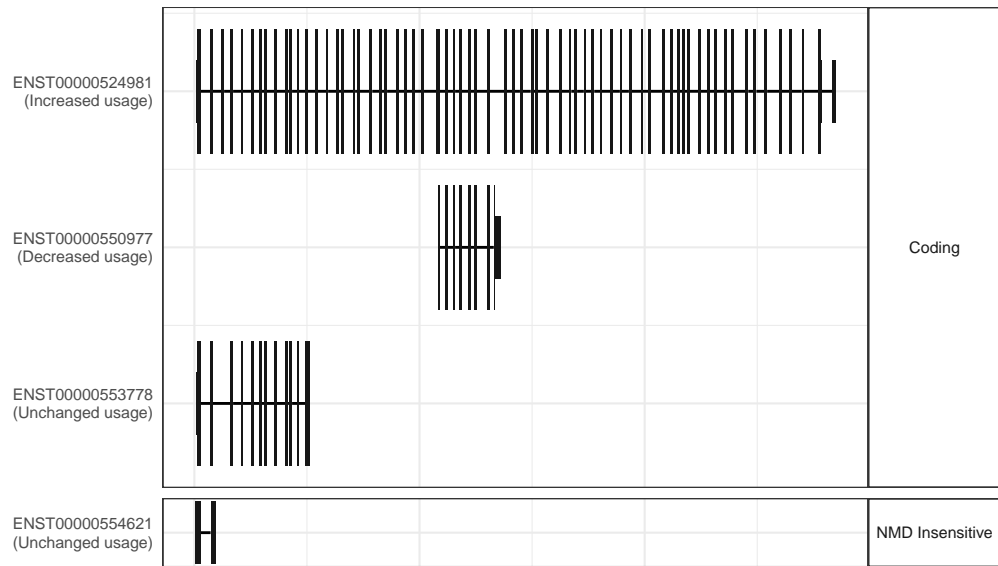
The isoform switch in GUCA1A (RO_D209 vs RO_D45)



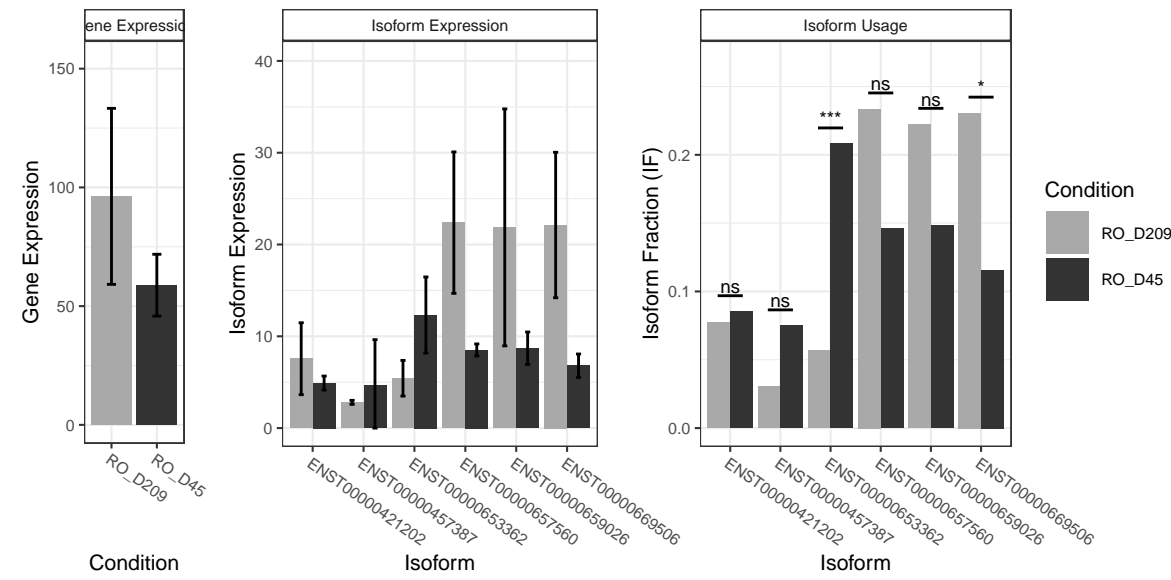
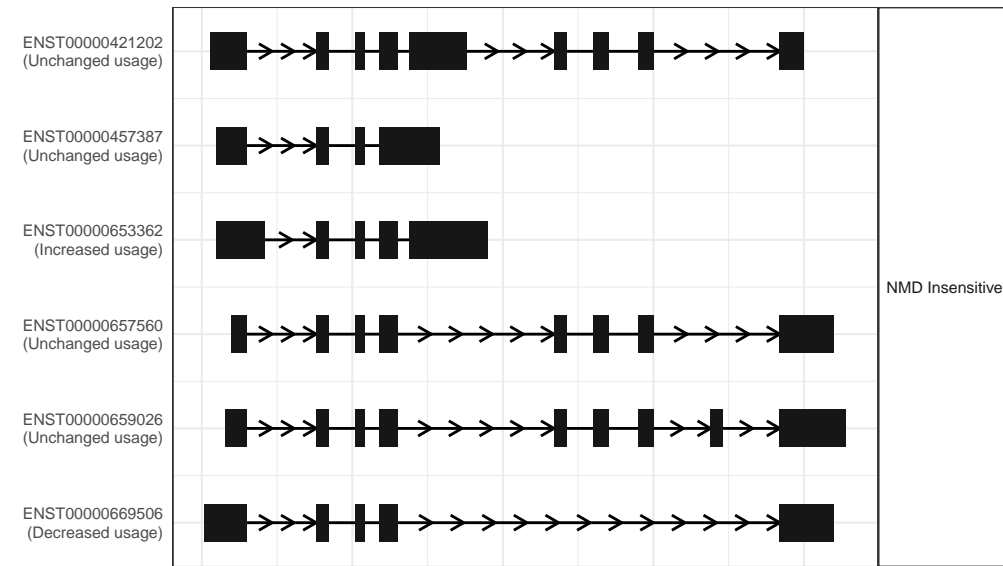
The isoform switch in KRT10-AS1 (RO_D209 vs RO_D45)



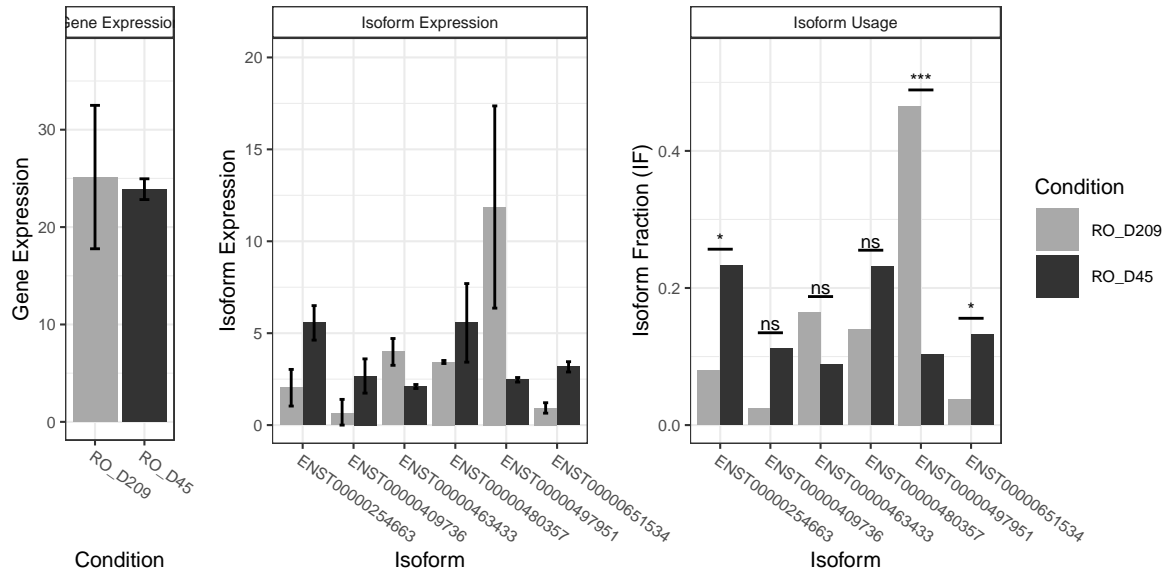
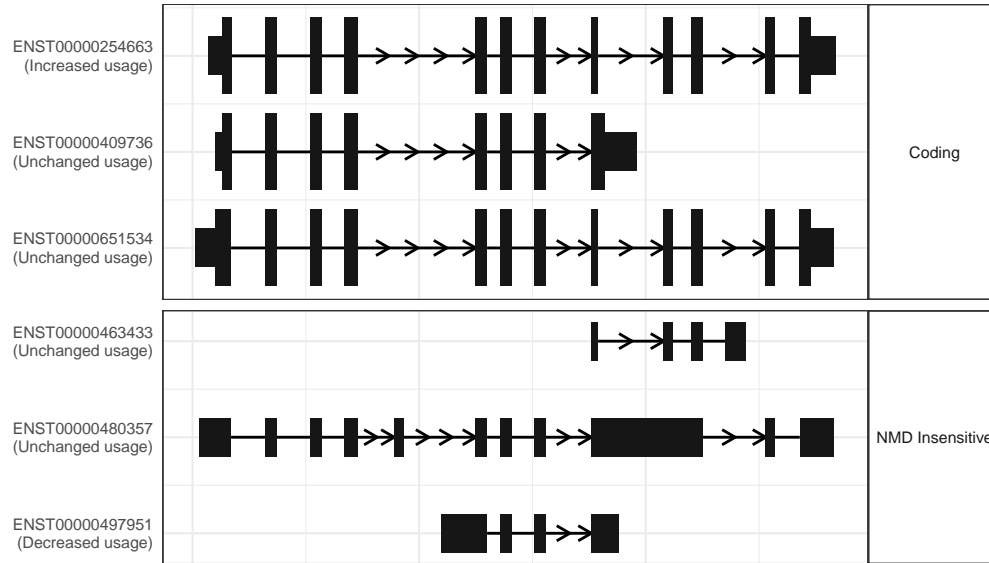
The isoform switch in CFAP54 (RO_D209 vs RO_D45)



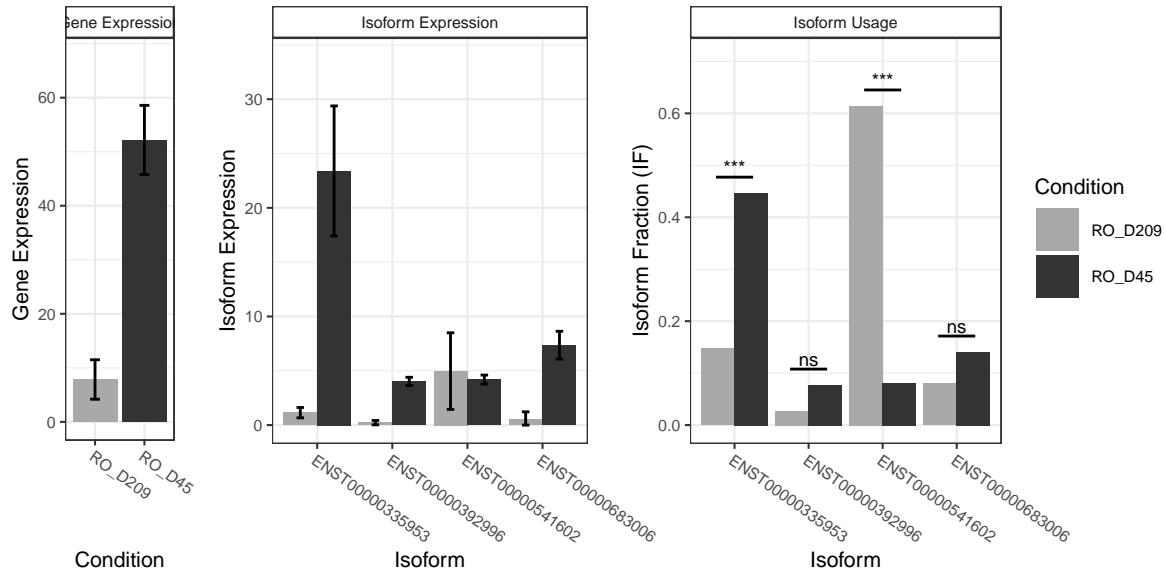
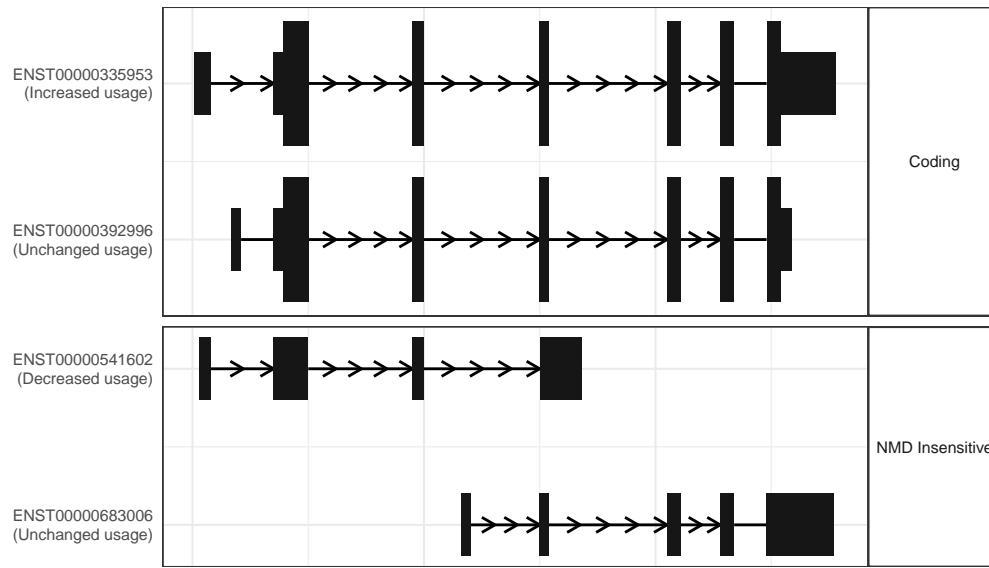
The isoform switch in CCDC18-AS1 (RO_D209 vs RO_D45)



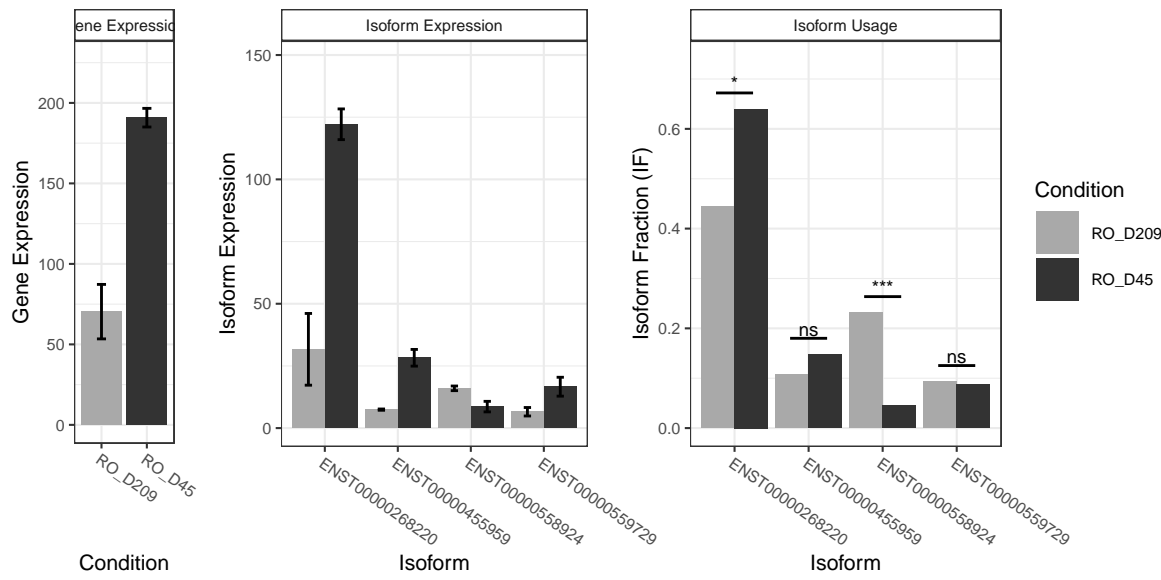
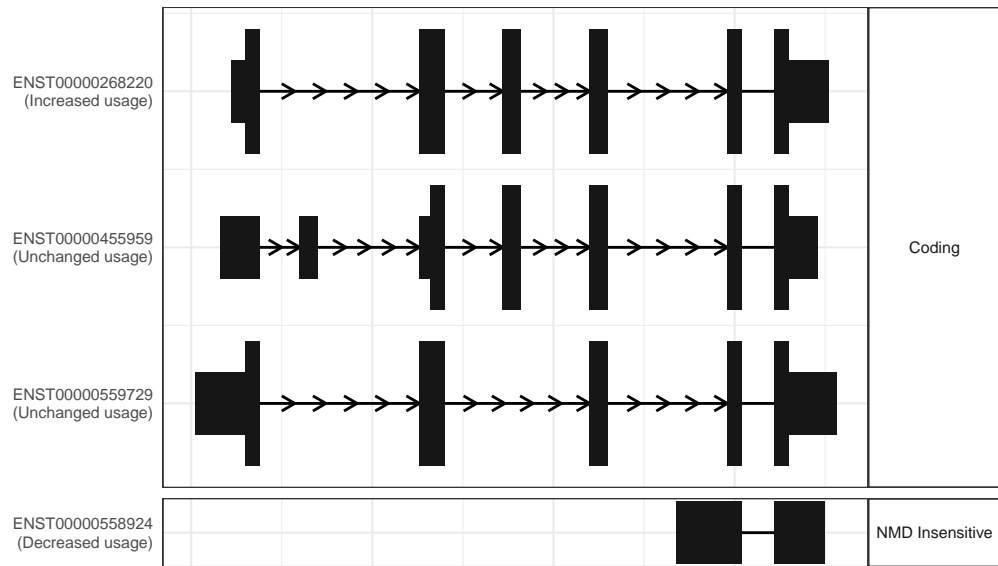
The isoform switch in SCLY (RO_D209 vs RO_D45)



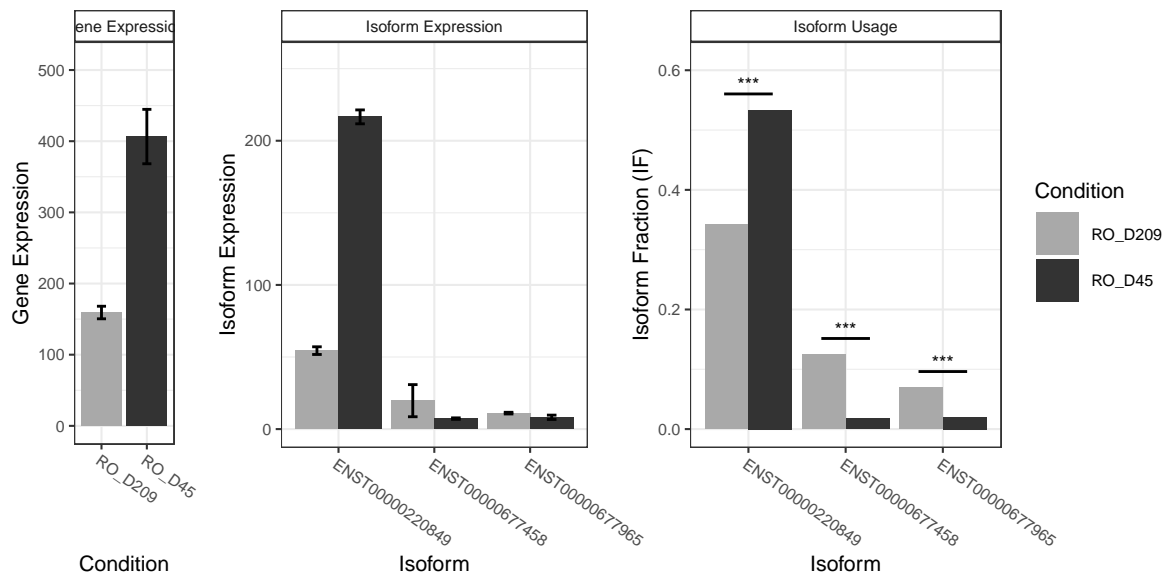
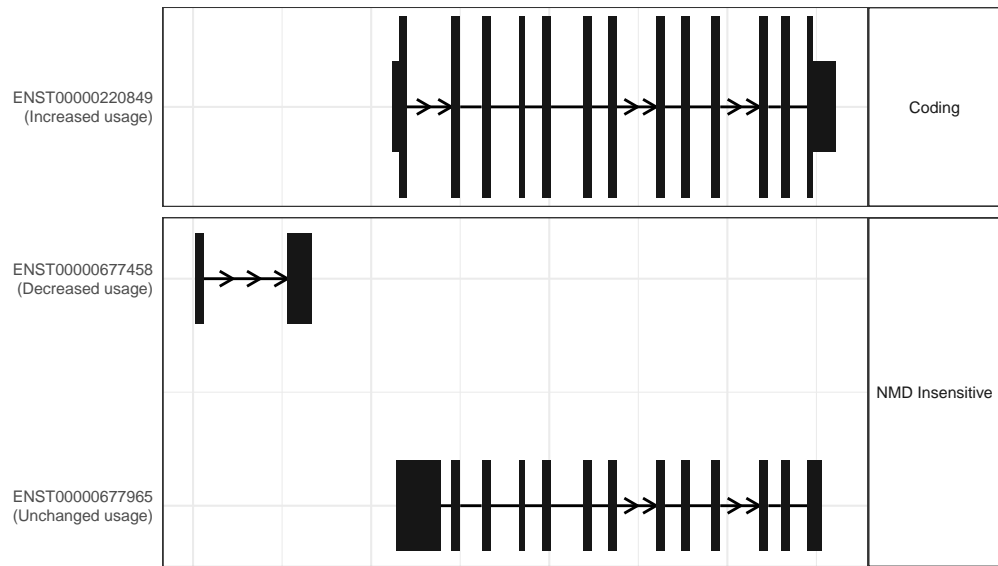
The isoform switch in ZBTB16 (RO_D209 vs RO_D45)



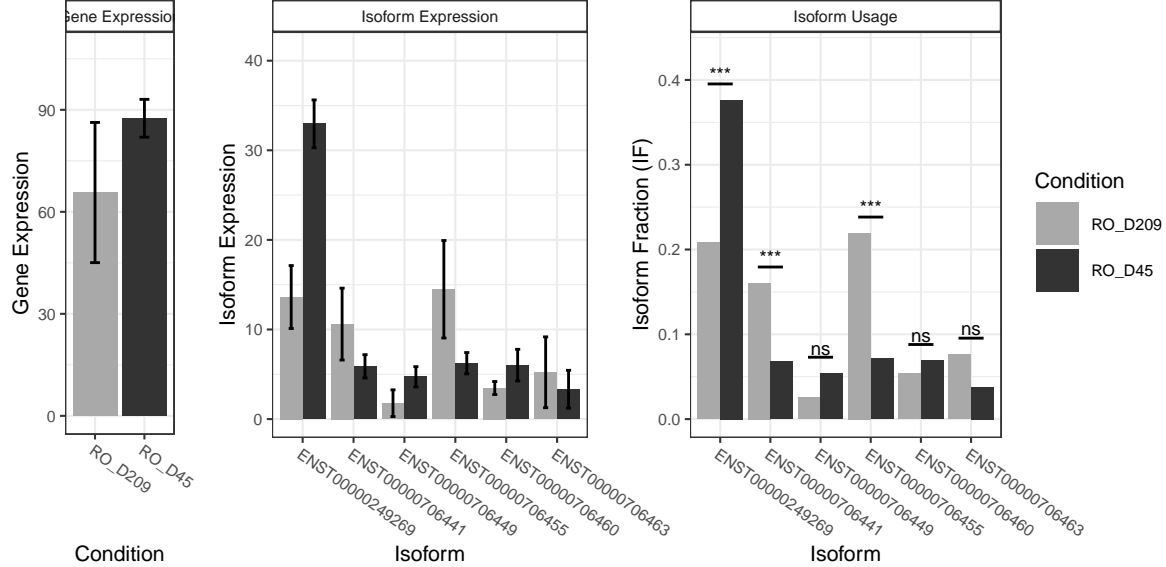
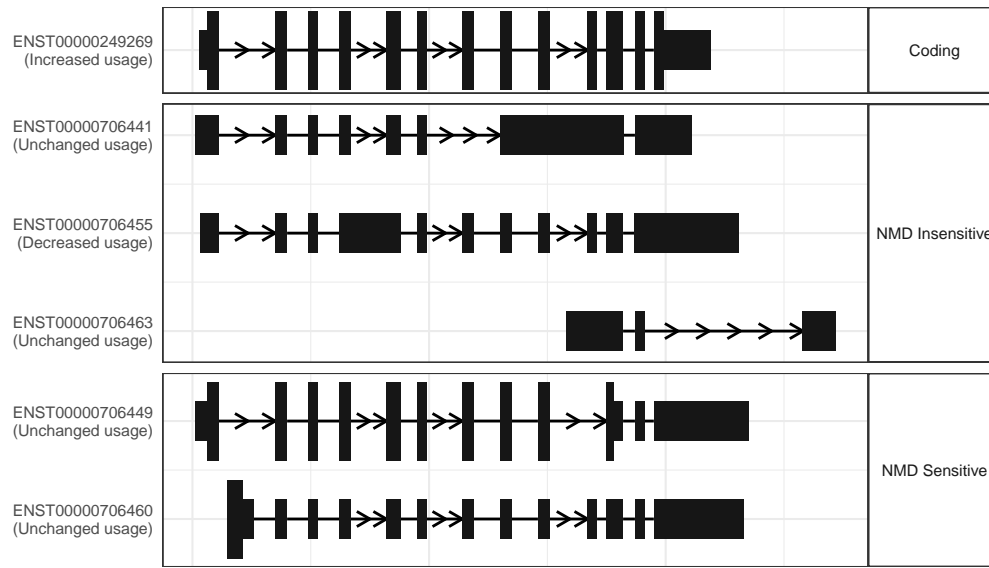
The isoform switch in SEC11A (RO_D209 vs RO_D45)



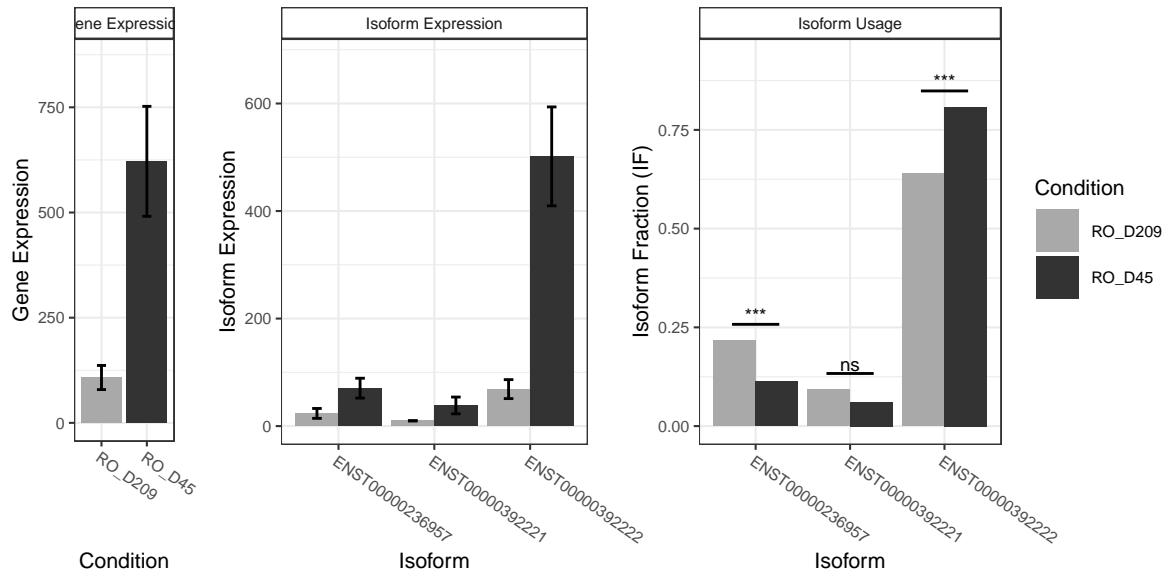
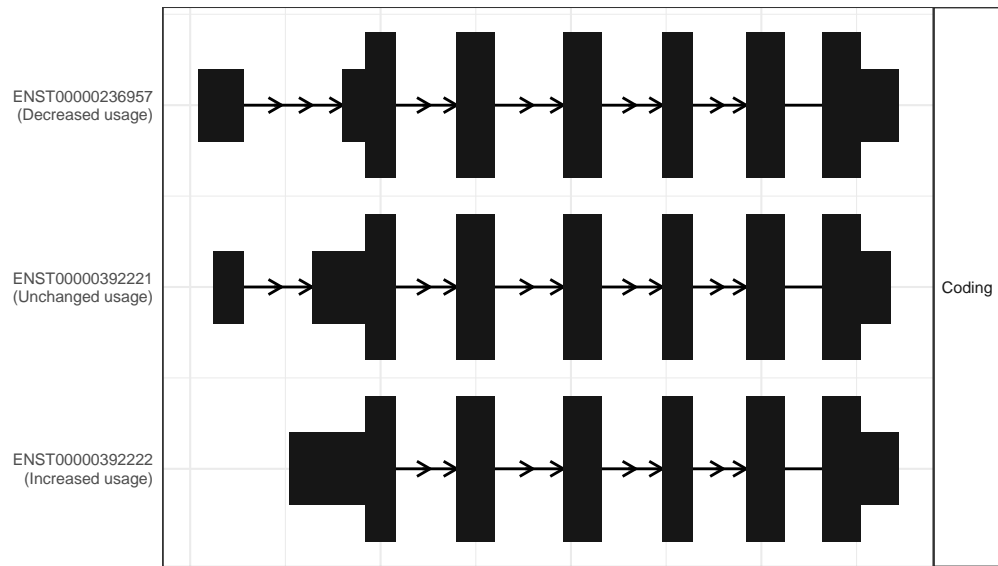
The isoform switch in EIF3E (RO_D209 vs RO_D45)



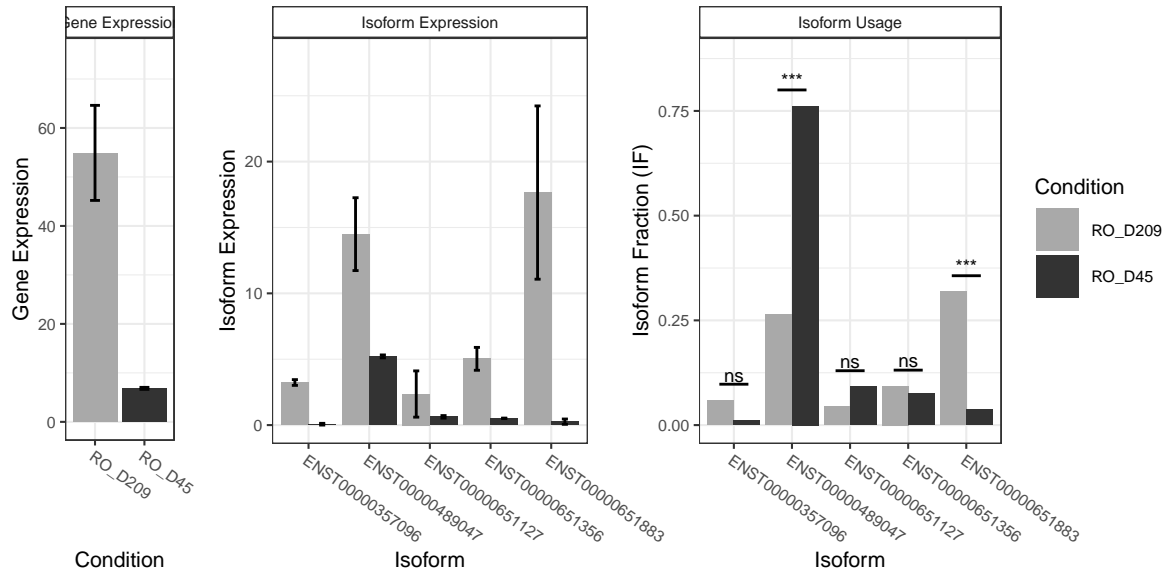
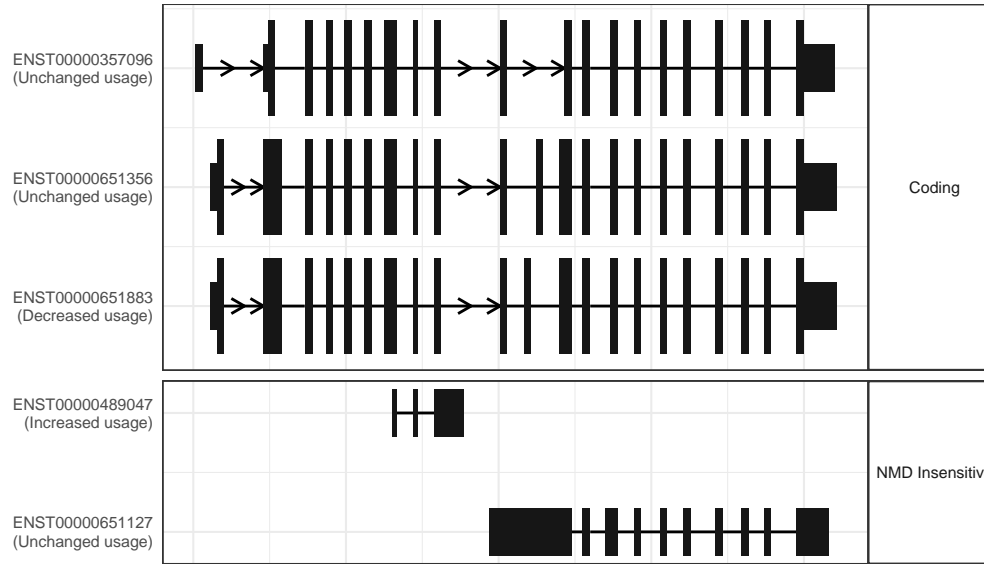
The isoform switch in PMPCB (RO_D209 vs RO_D45)



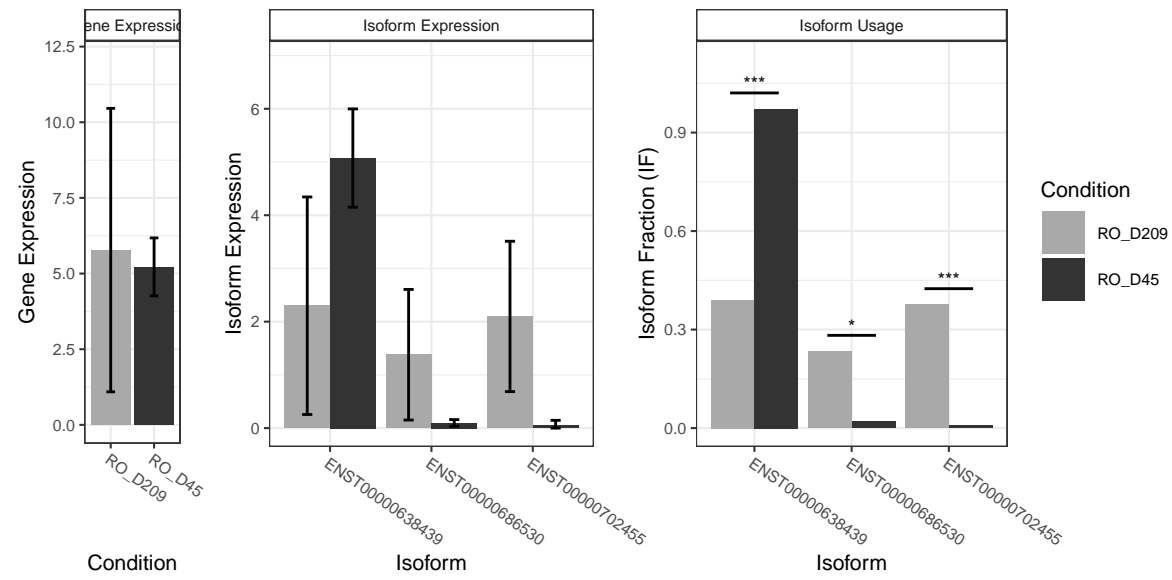
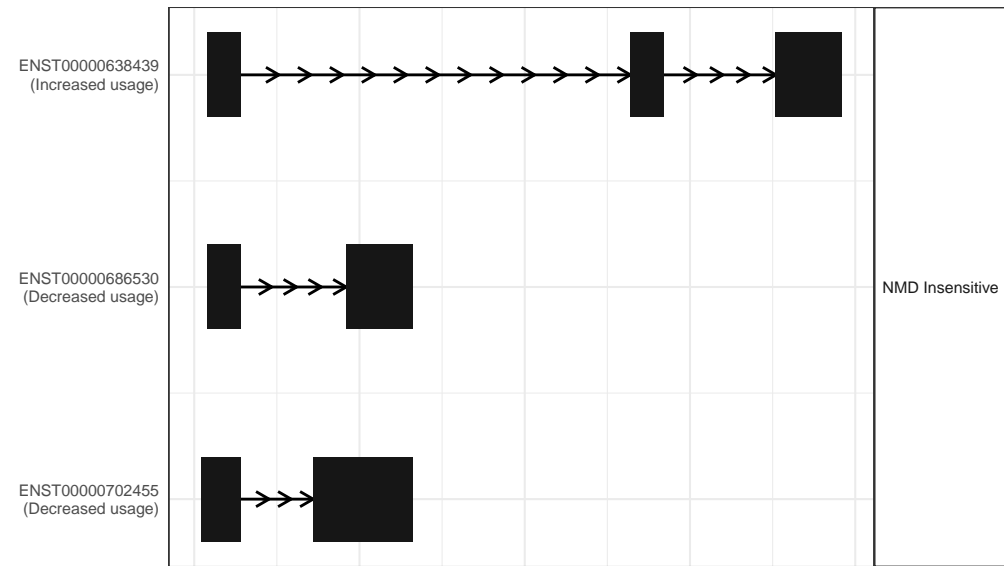
The isoform switch in EEF1B2 (RO_D209 vs RO_D45)



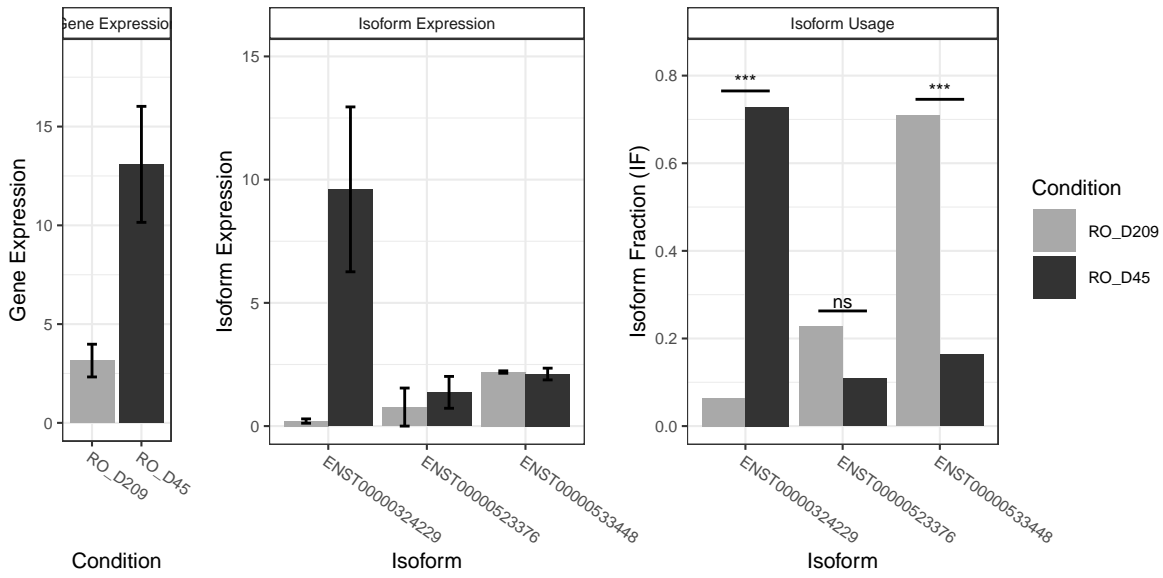
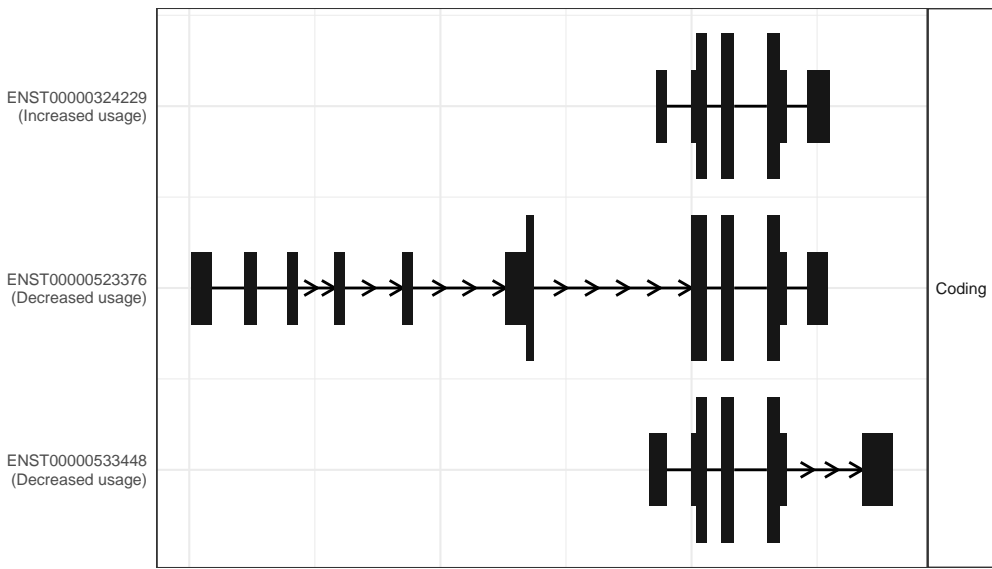
The isoform switch in ACSL6 (RO_D209 vs RO_D45)



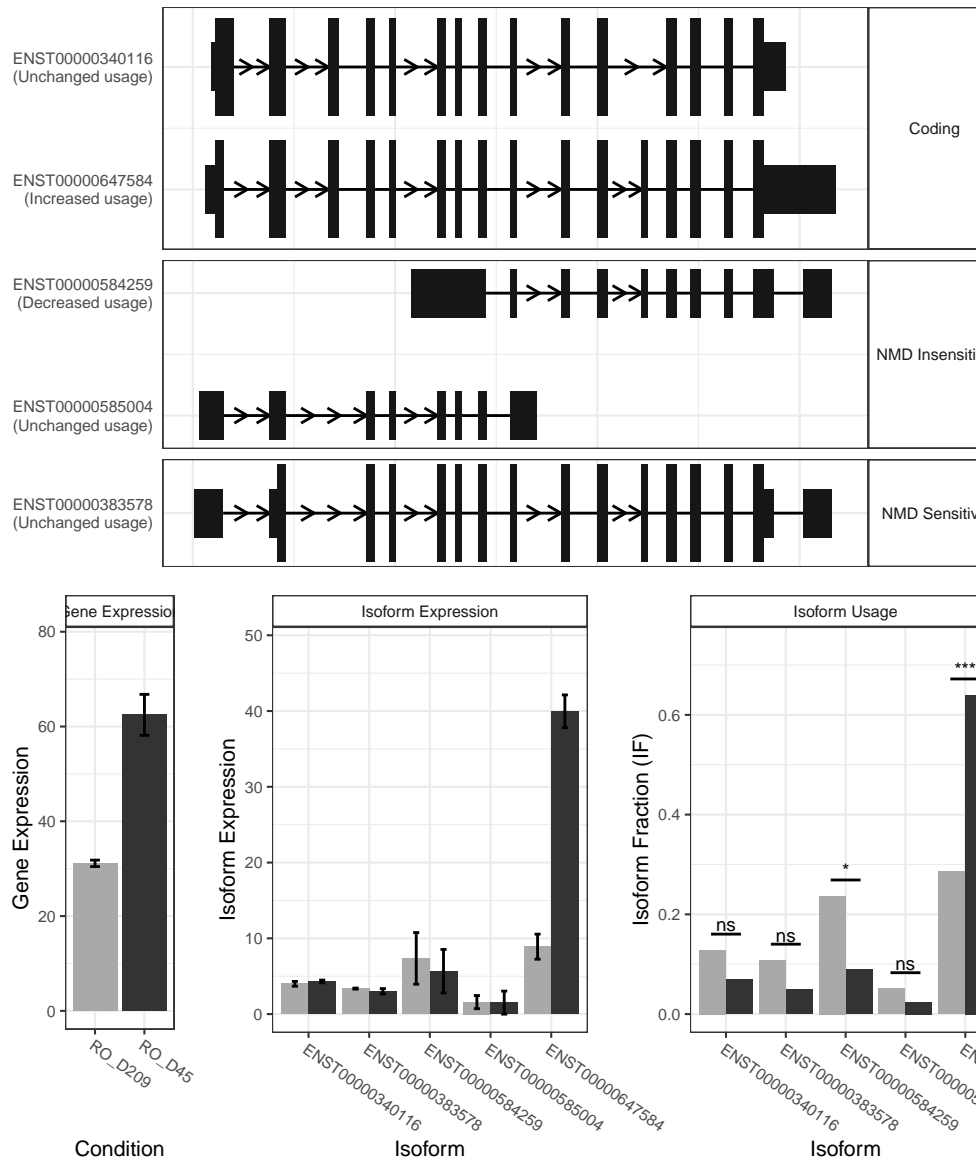
The isoform switch in RPL23AP49 (RO_D209 vs RO_D45)



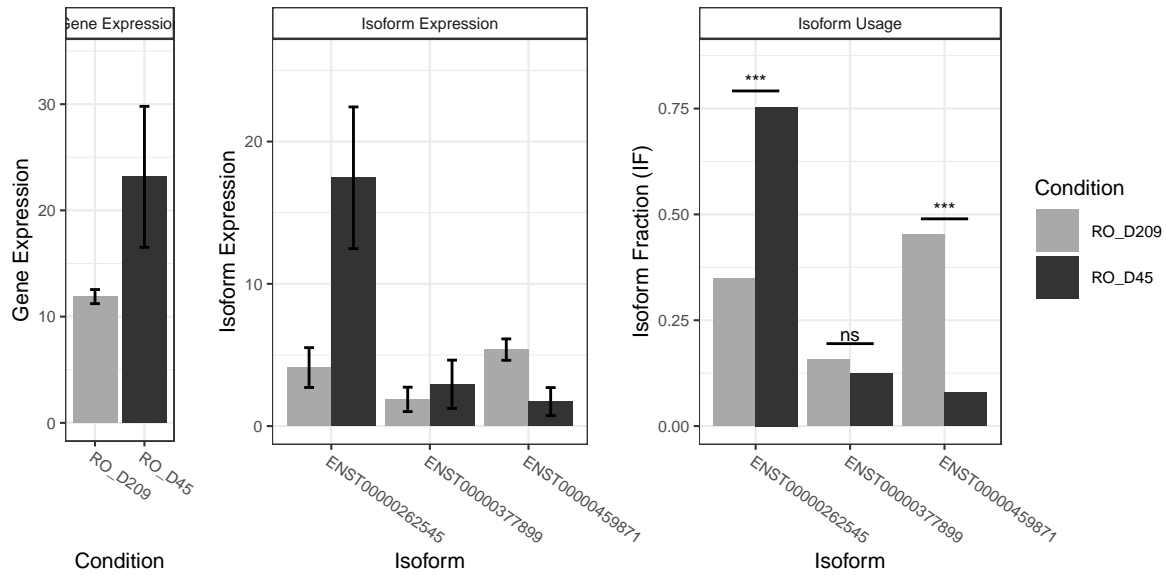
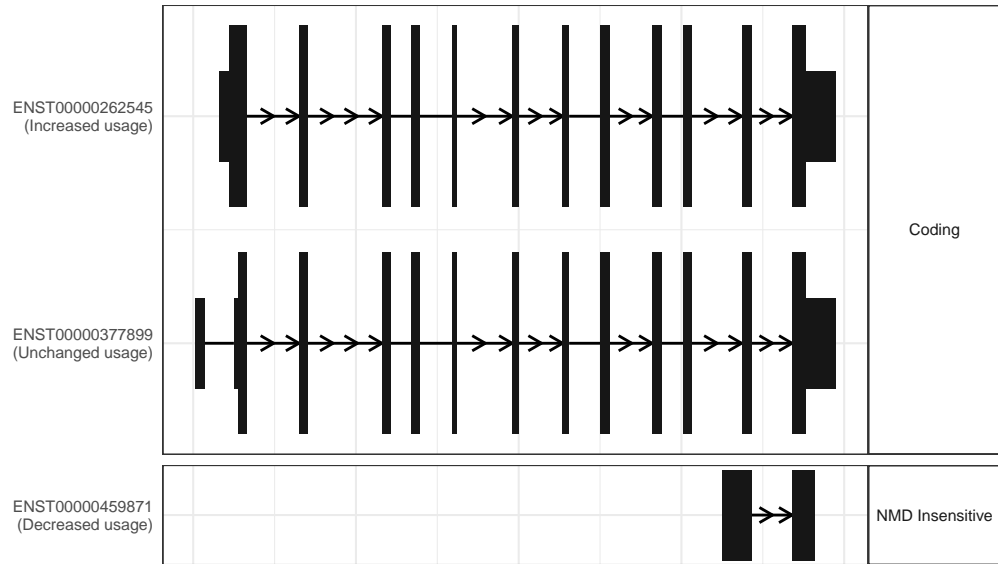
The isoform switch in CALCB (RO_D209 vs RO_D45)



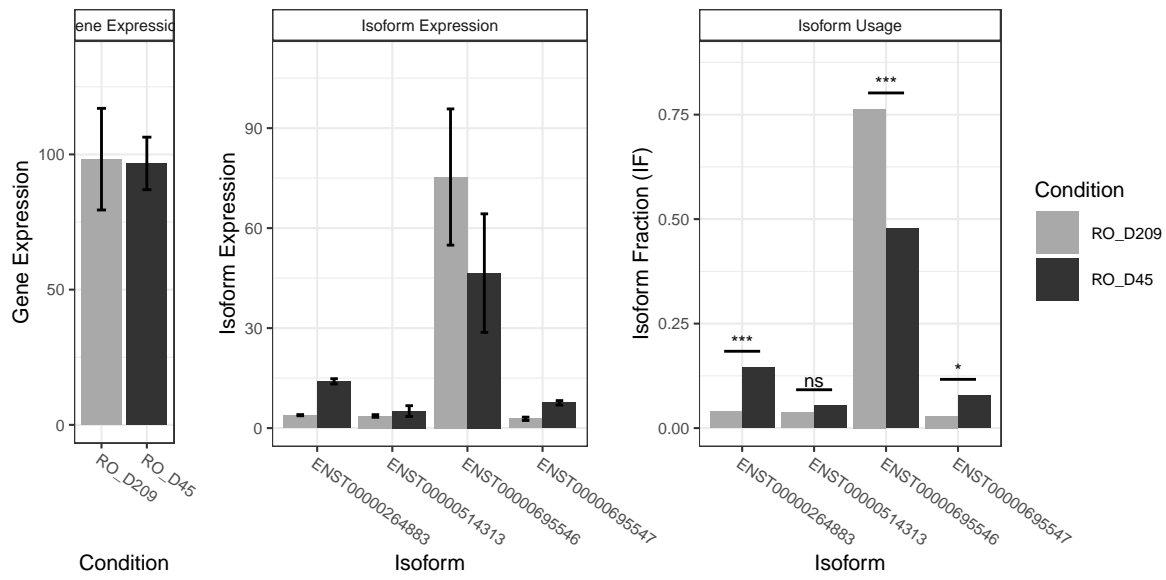
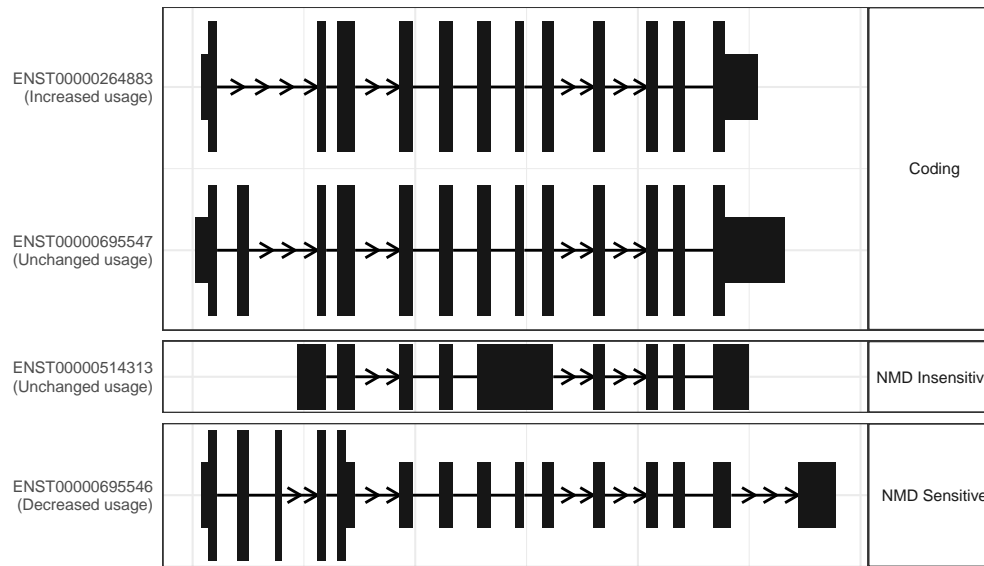
The isoform switch in ENOSF1 (RO_D209 vs RO_D45)



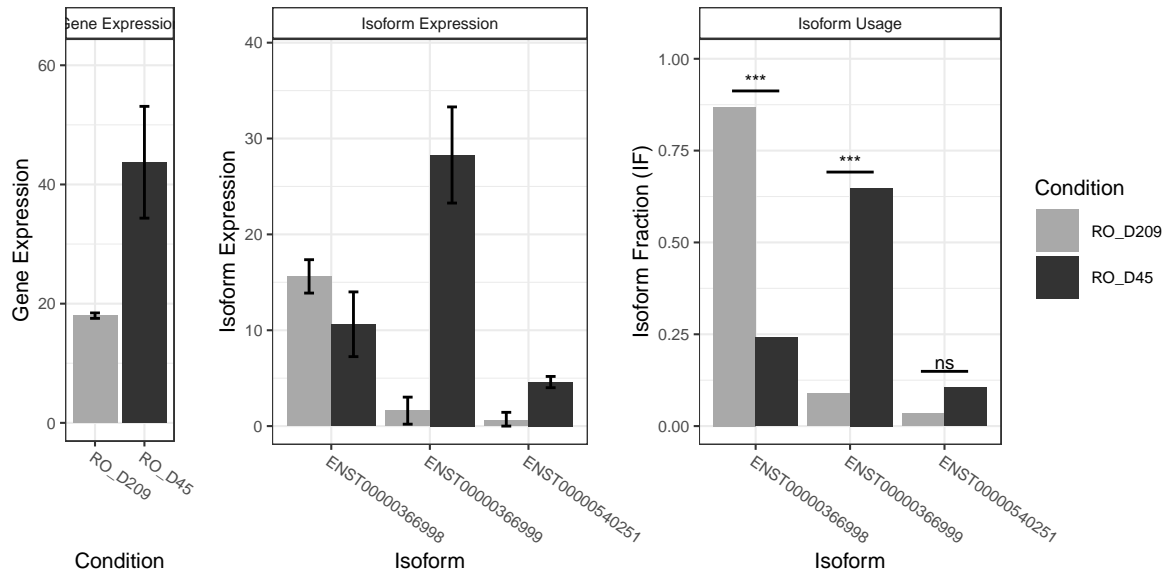
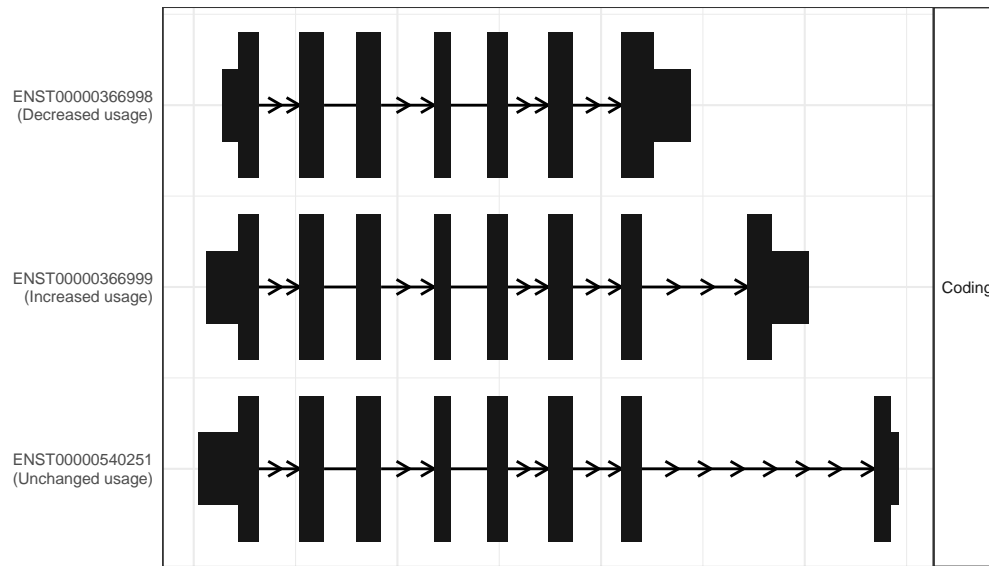
The isoform switch in PCSK2 (RO_D209 vs RO_D45)



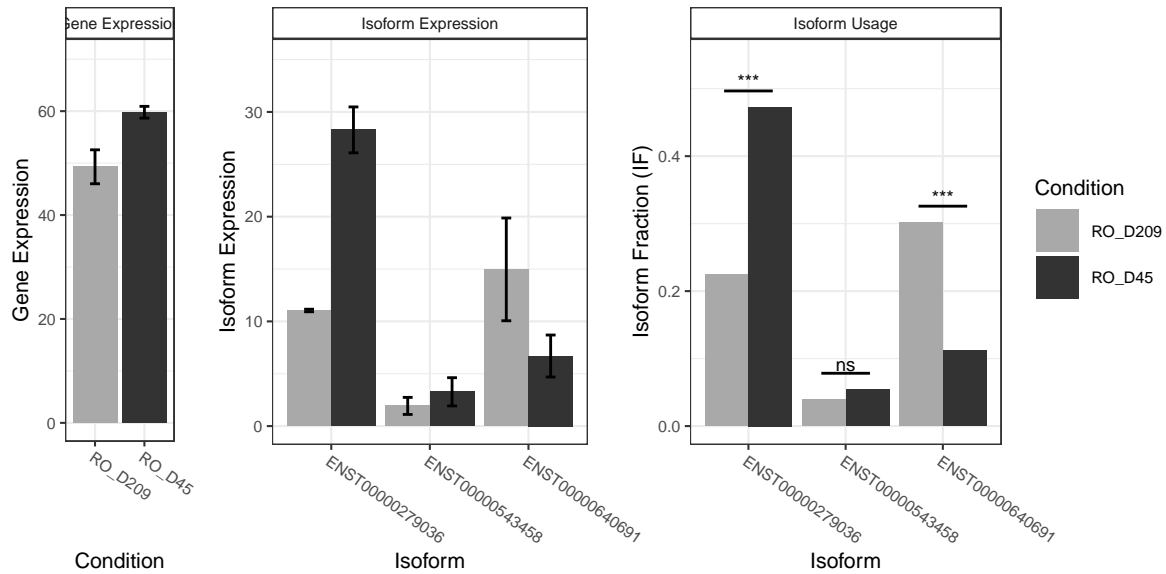
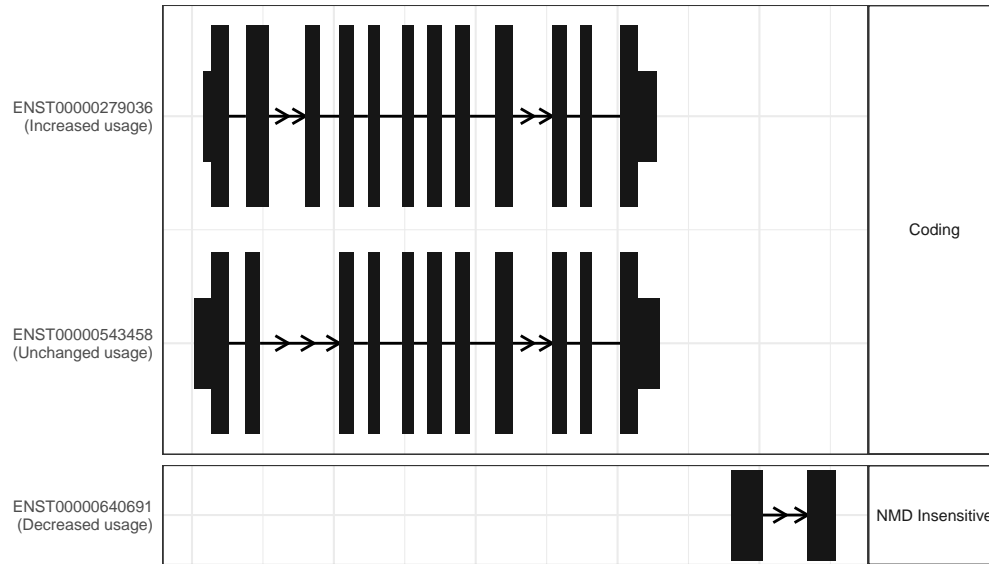
The isoform switch in NUP54 (RO_D209 vs RO_D45)



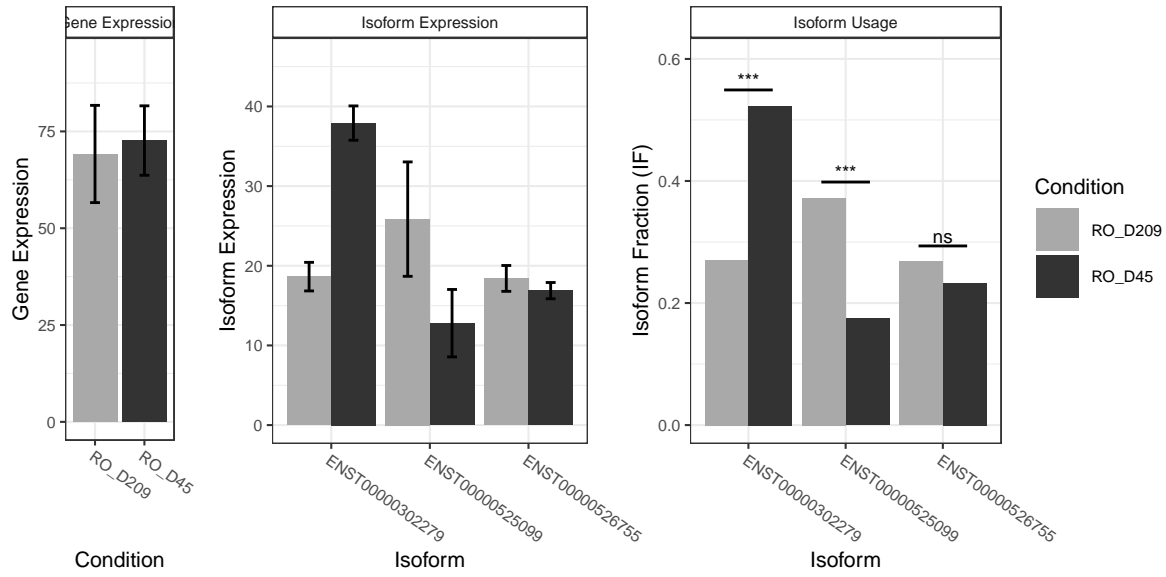
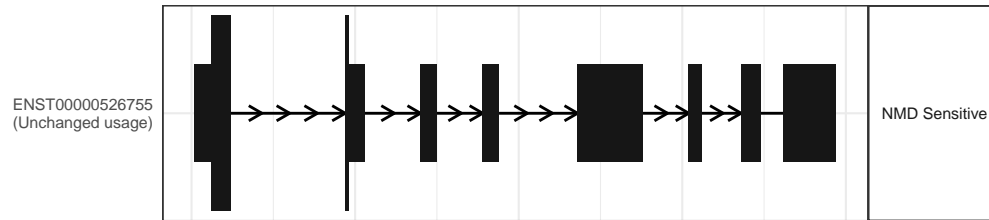
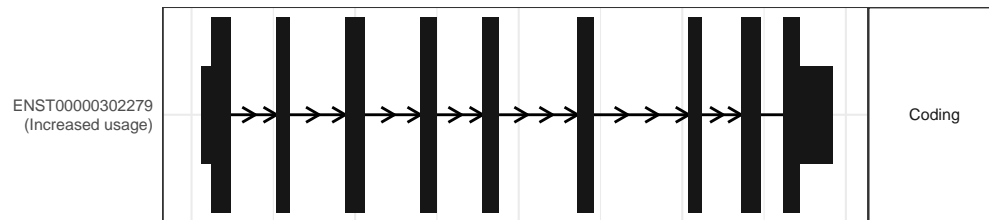
The isoform switch in NEK2 (RO_D209 vs RO_D45)



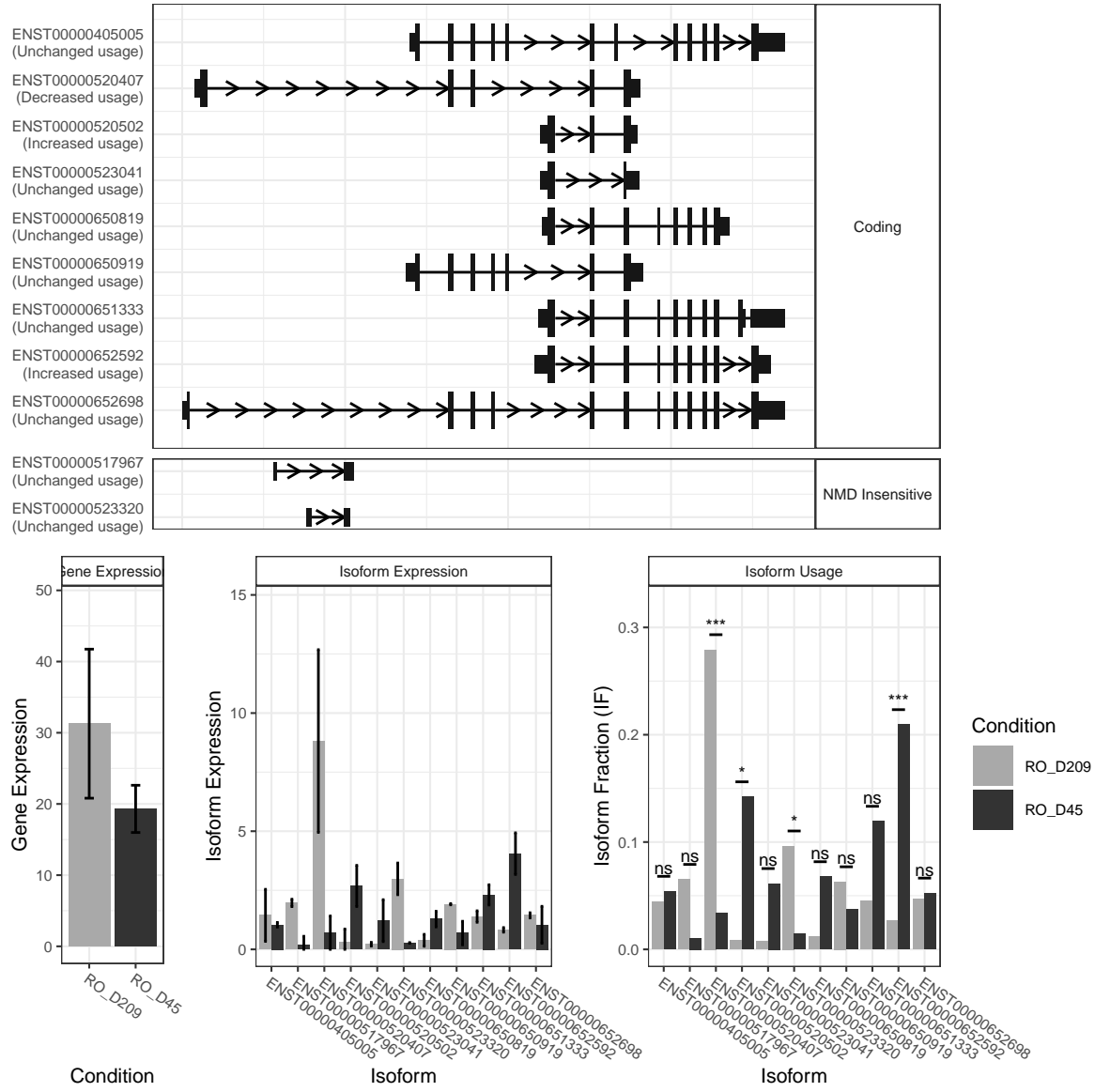
The isoform switch in PIGT (RO_D209 vs RO_D45)



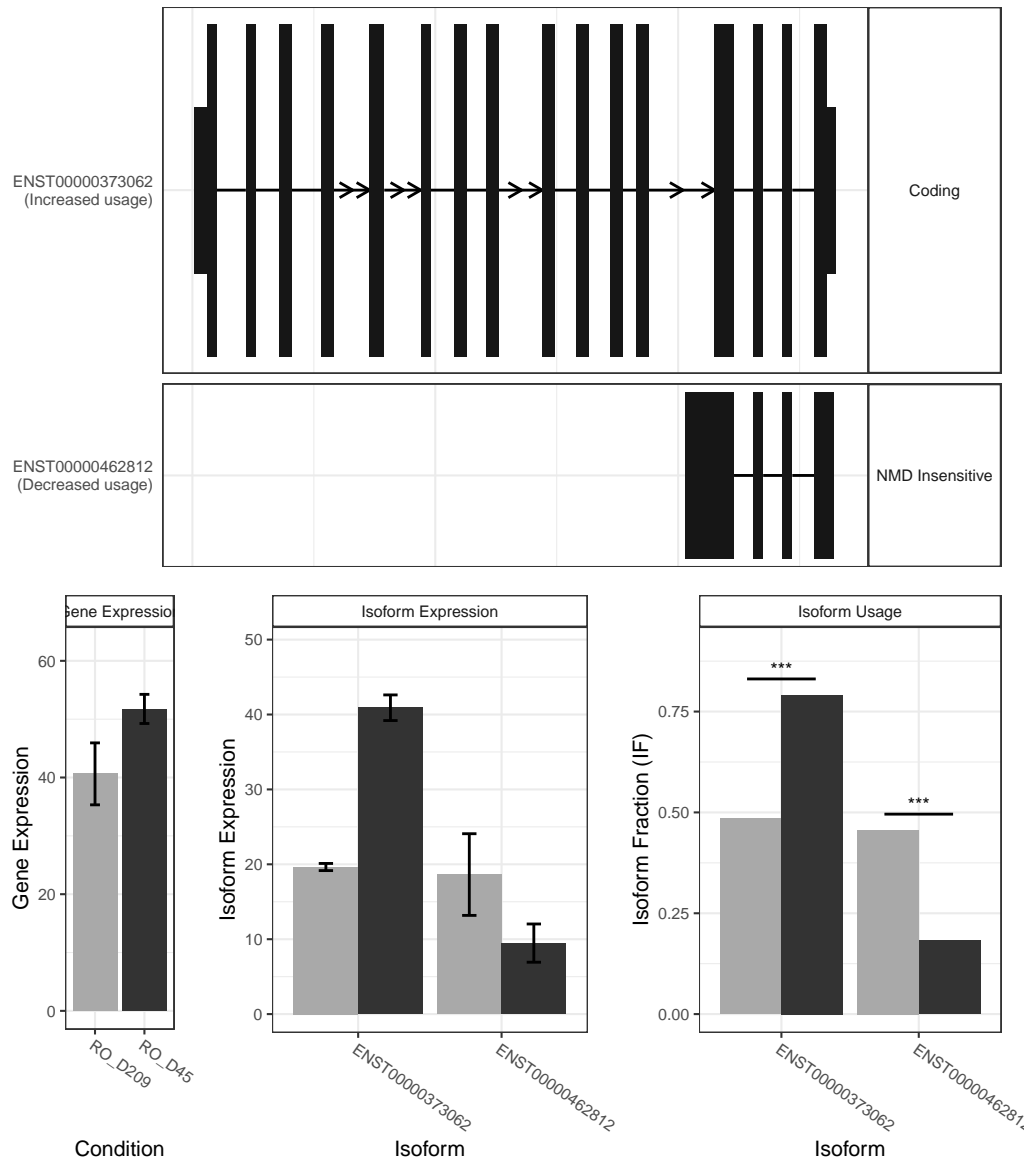
The isoform switch in FNTA (RO_D209 vs RO_D45)



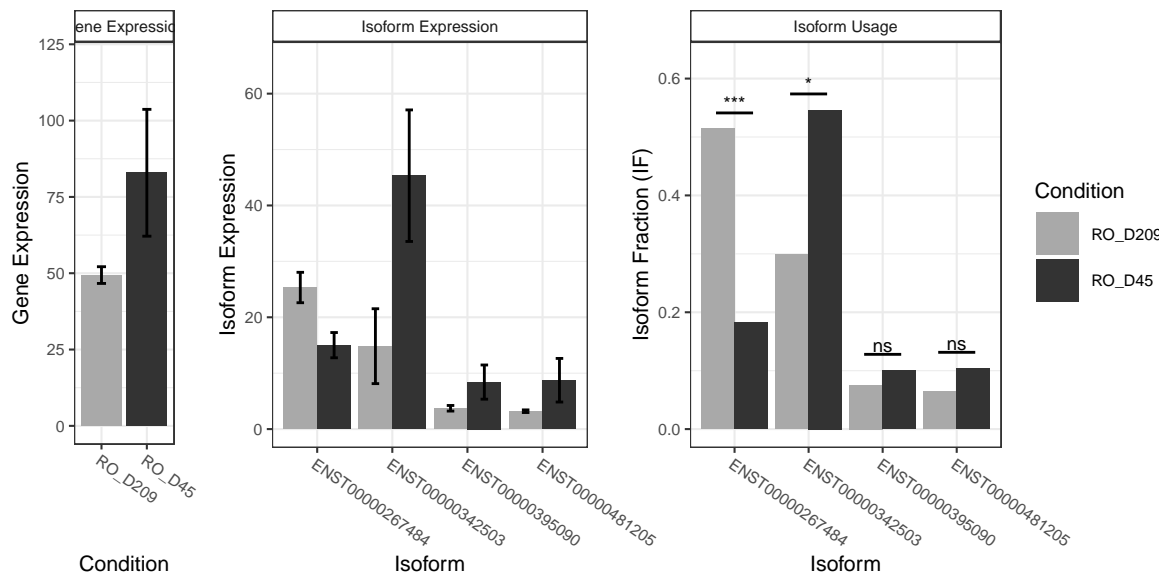
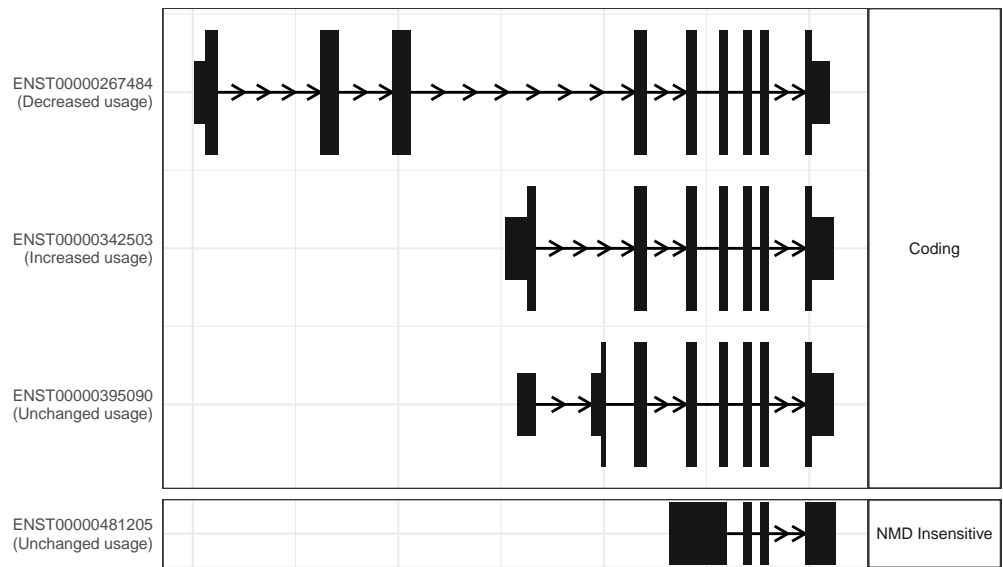
The isoform switch in NRG1 (RO_D209 vs RO_D45)



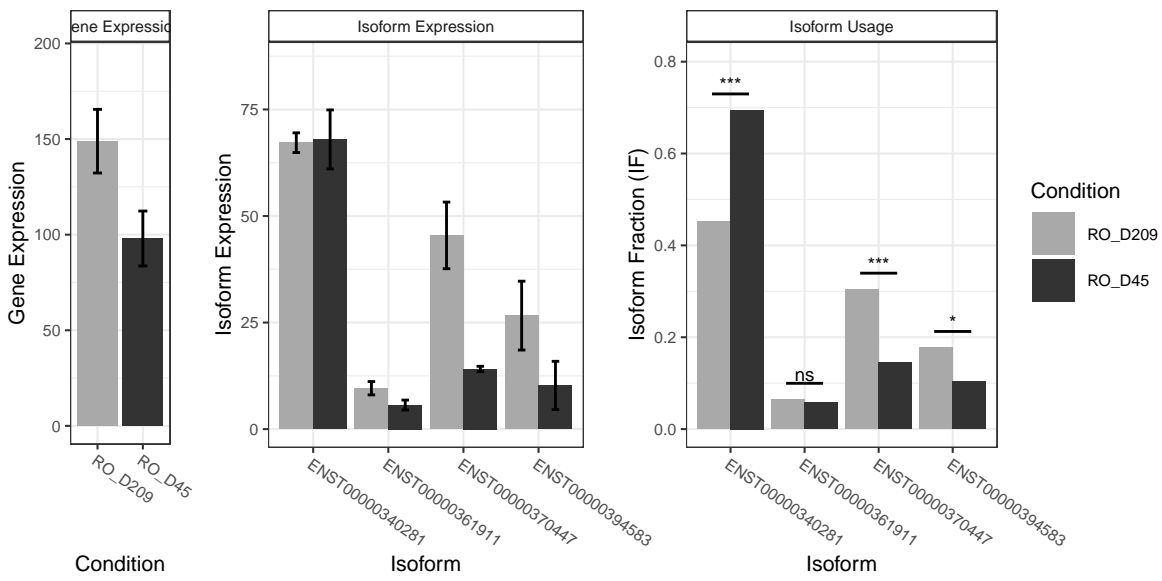
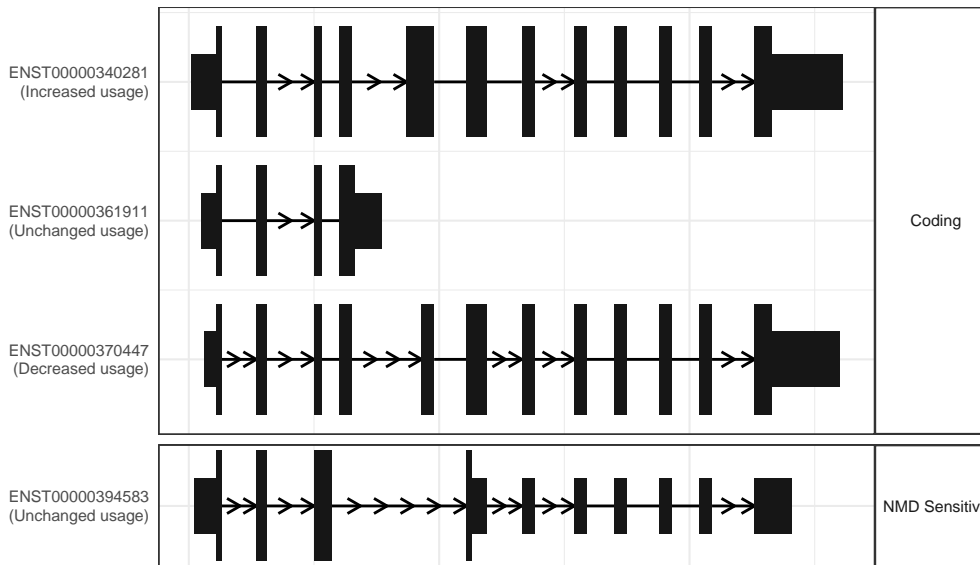
The isoform switch in GNL2 (RO_D209 vs RO_D45)



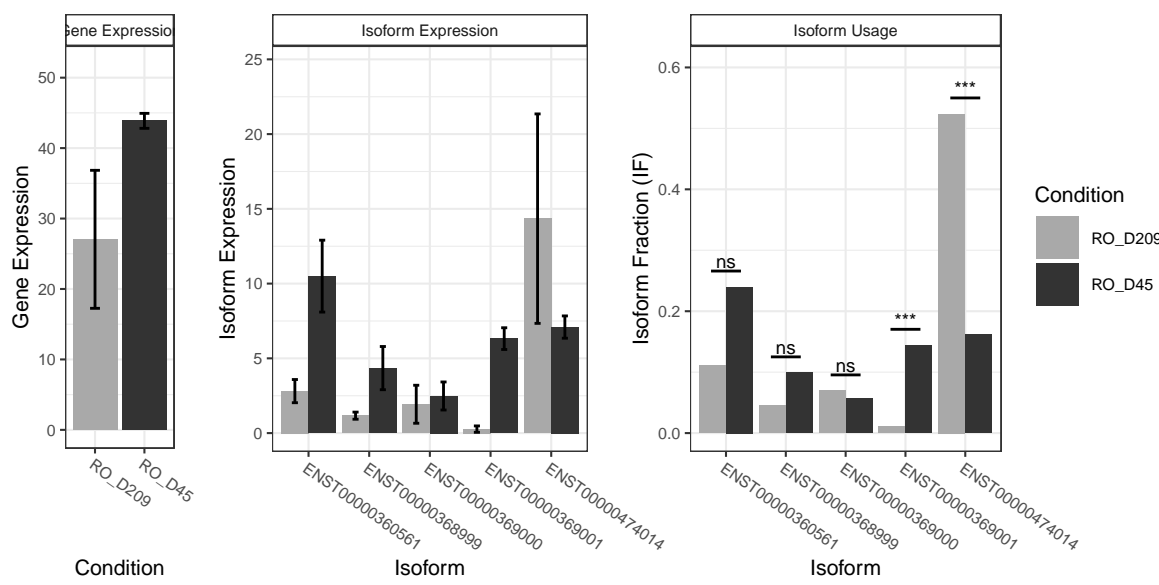
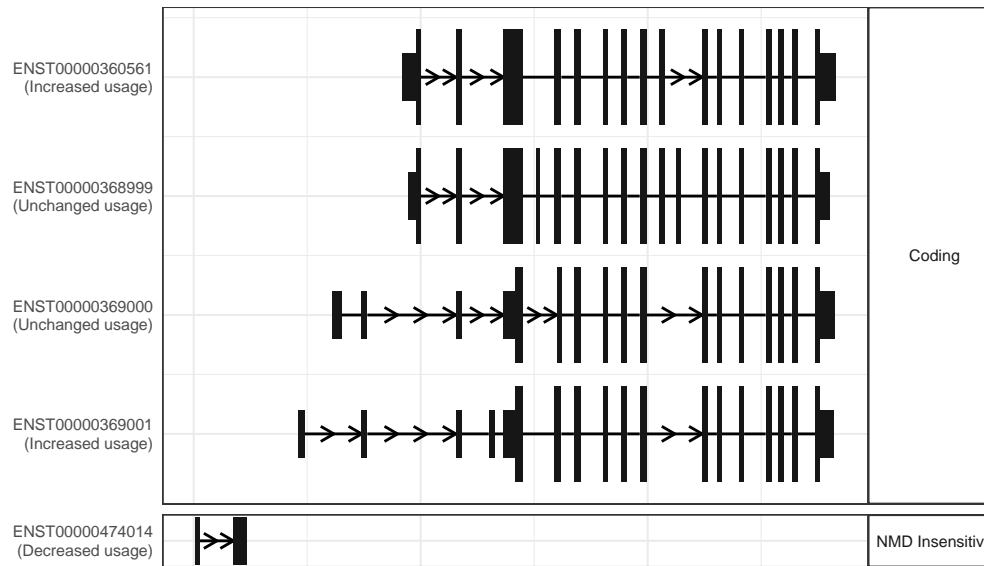
The isoform switch in RTN1 (RO_D209 vs RO_D45)



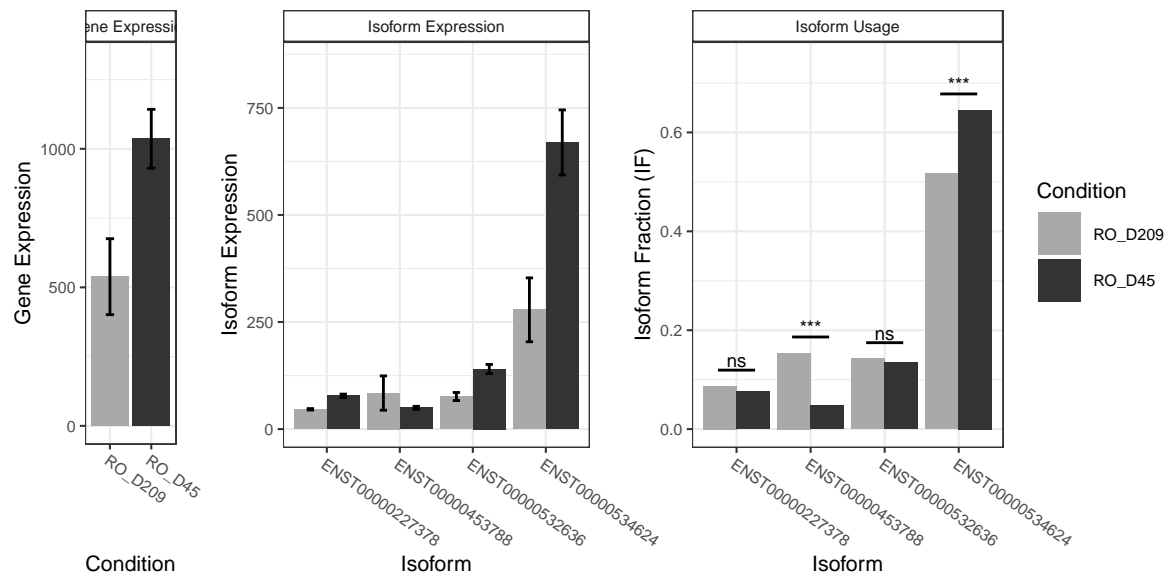
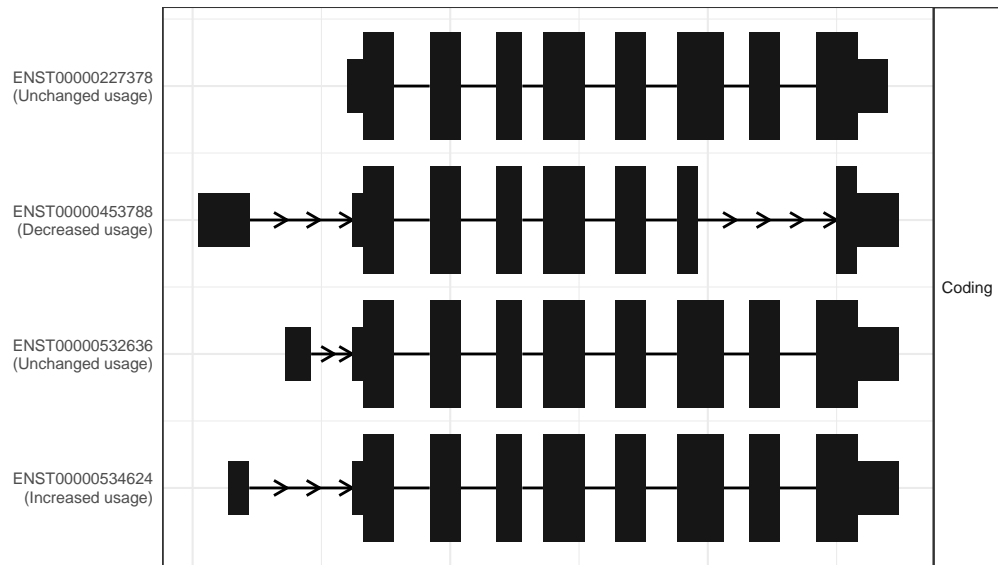
The isoform switch in ZNF326 (RO_D209 vs RO_D45)



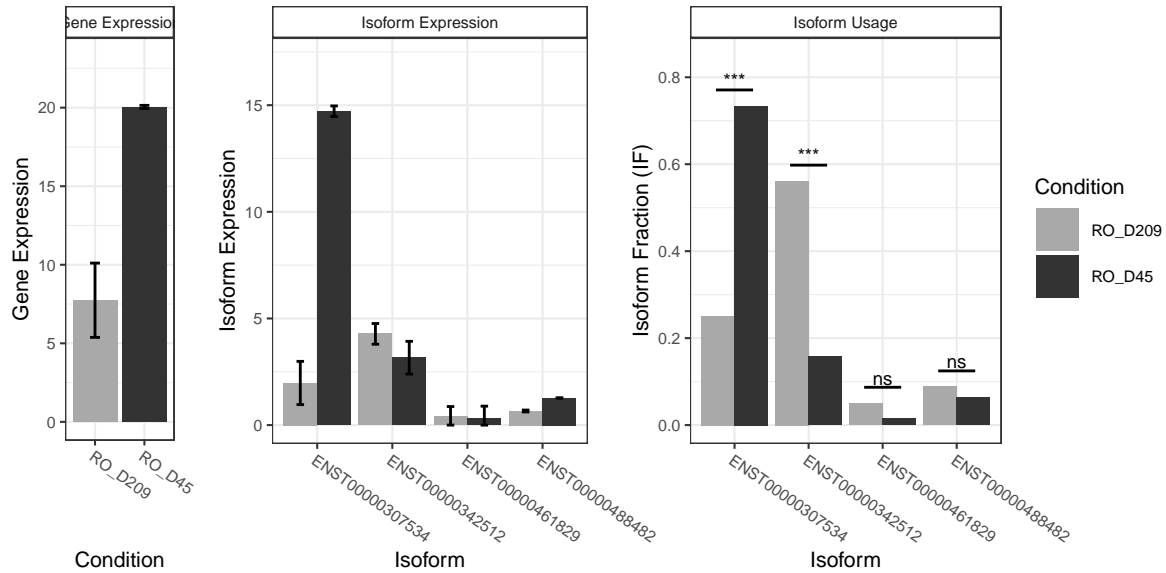
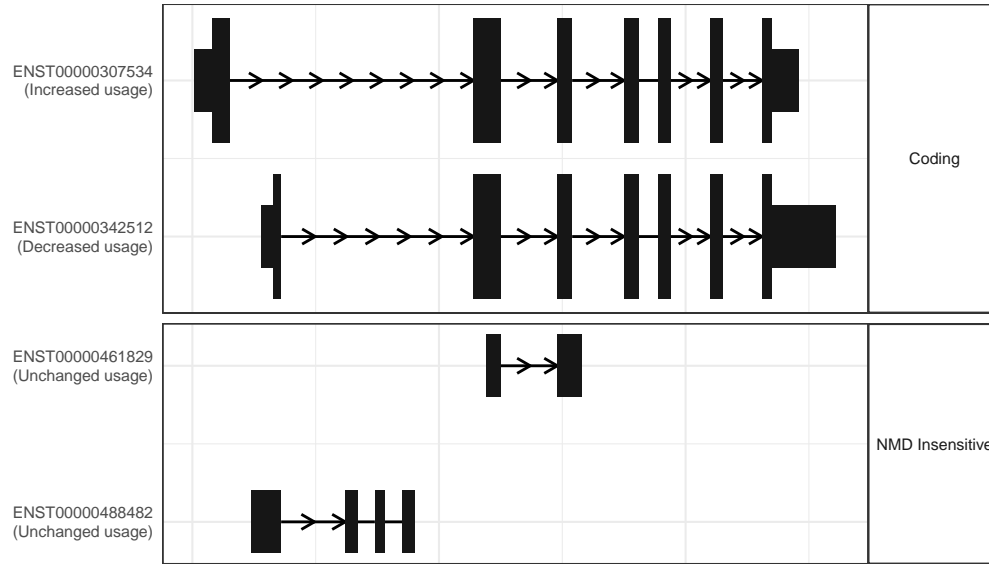
The isoform switch in TACC2 (RO_D209 vs RO_D45)



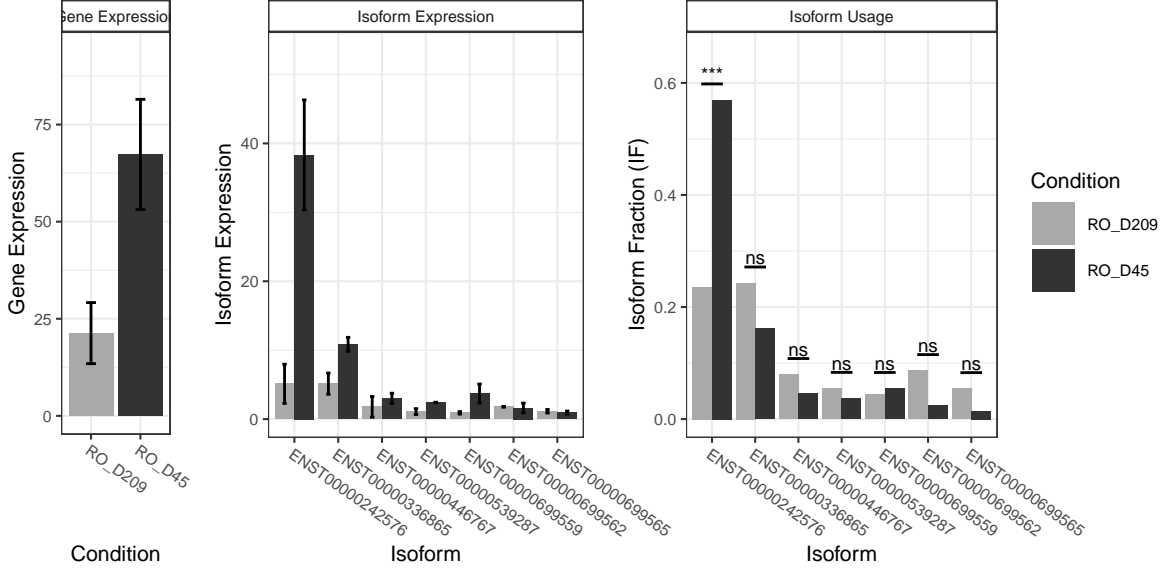
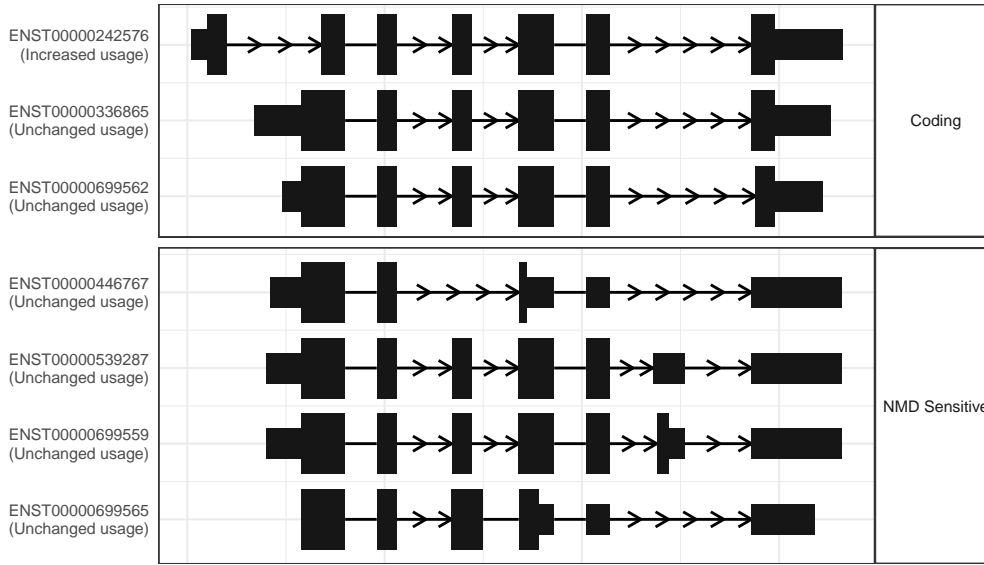
The isoform switch in HSPA8 (RO_D209 vs RO_D45)



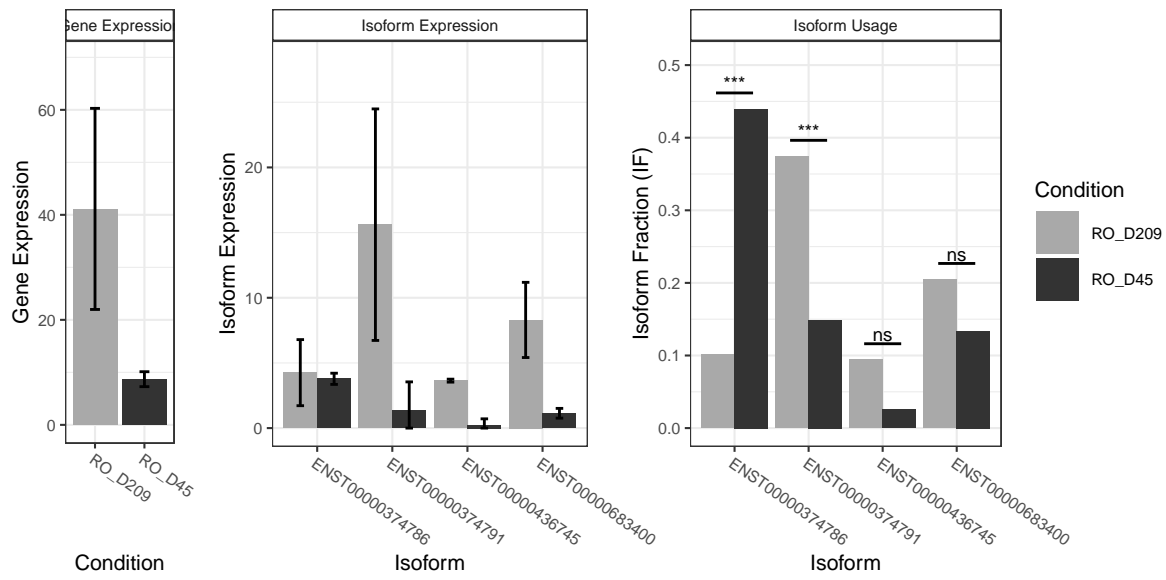
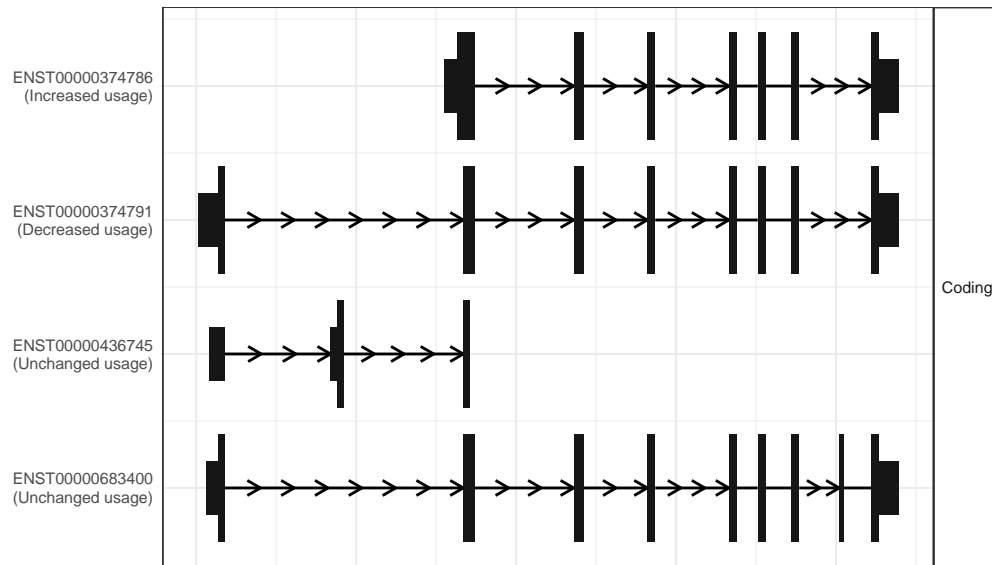
The isoform switch in PANK1 (RO_D209 vs RO_D45)



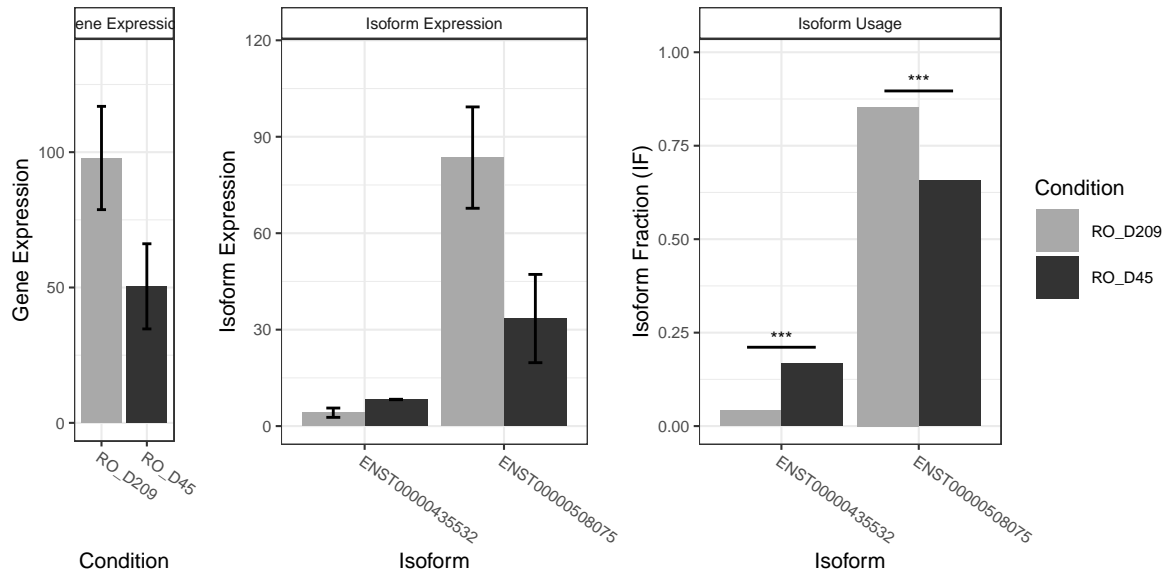
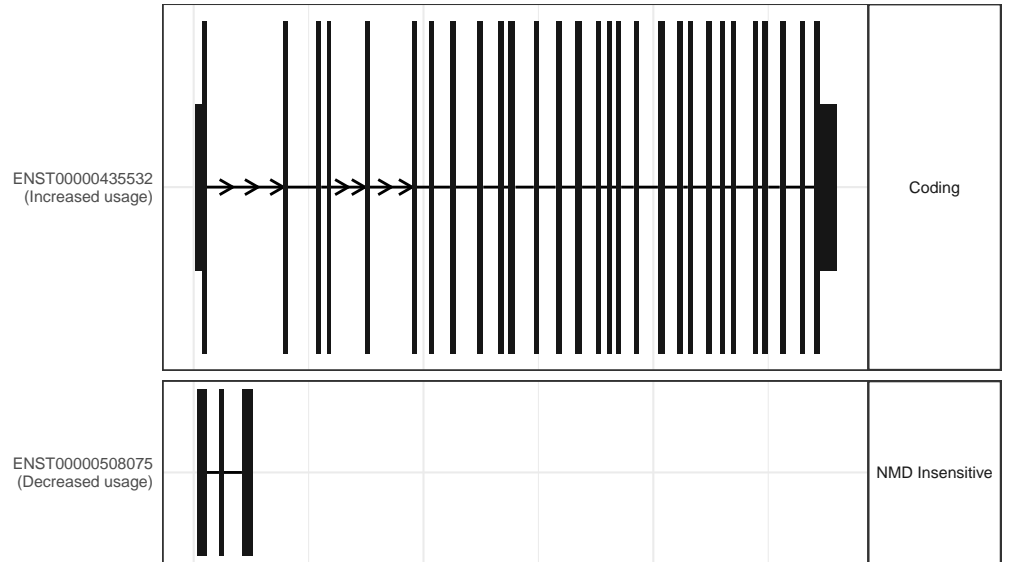
The isoform switch in UNG (RO_D209 vs RO_D45)



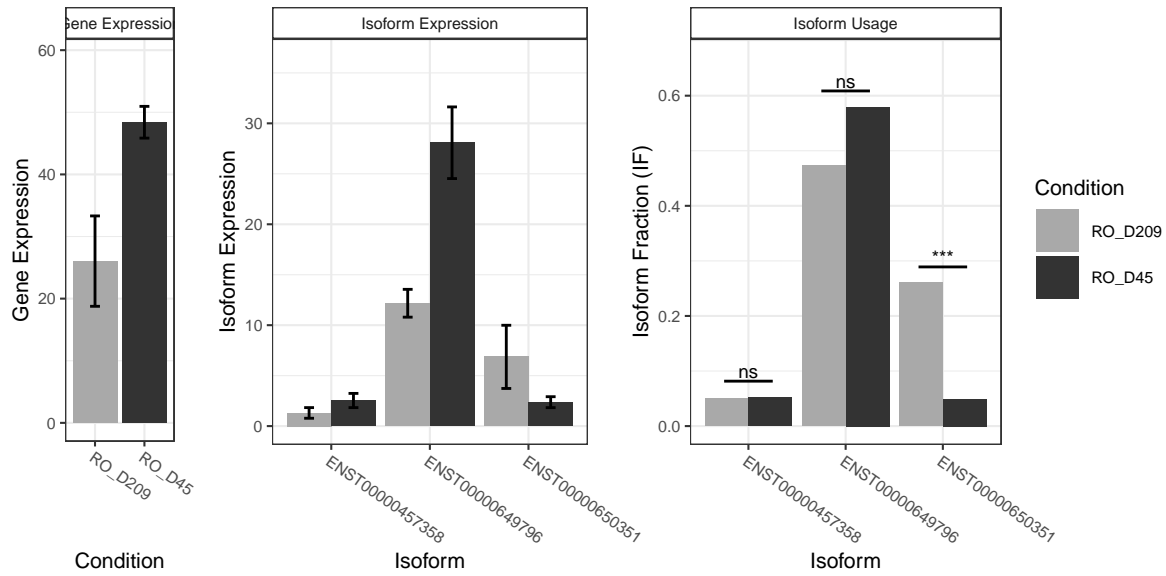
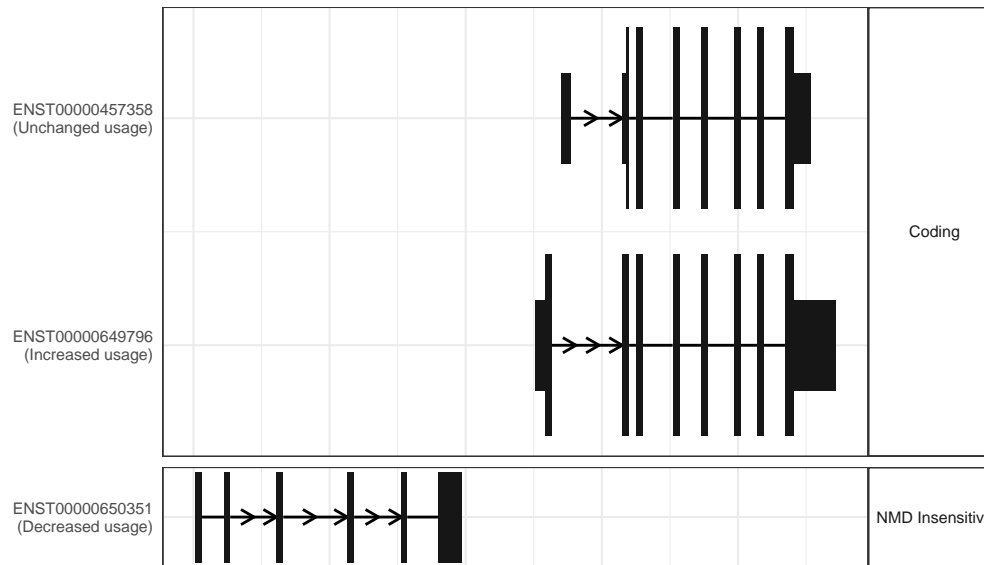
The isoform switch in NTM (RO_D209 vs RO_D45)



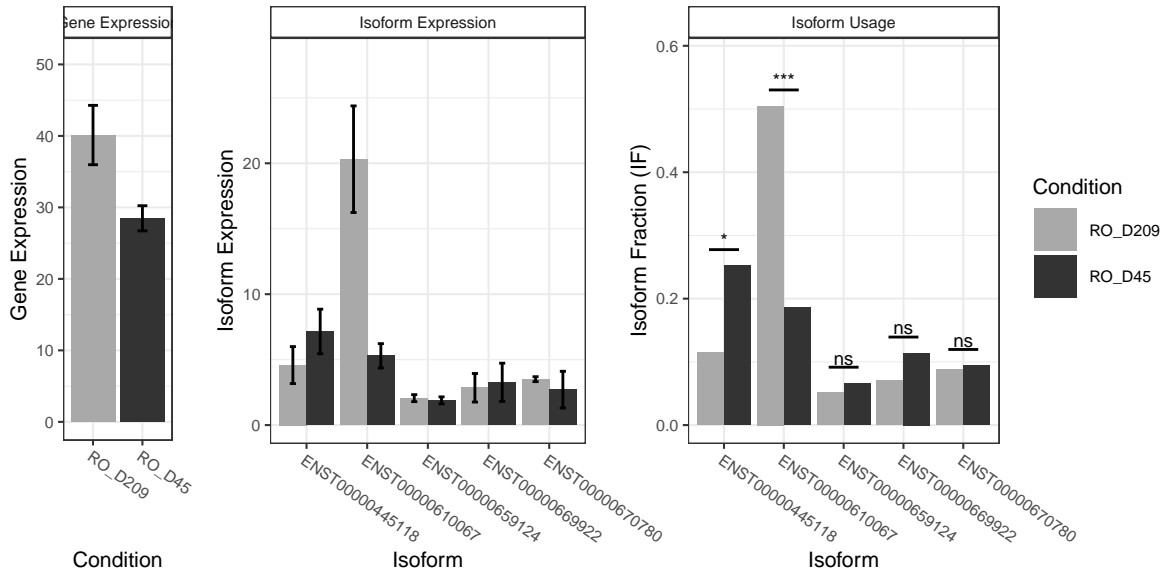
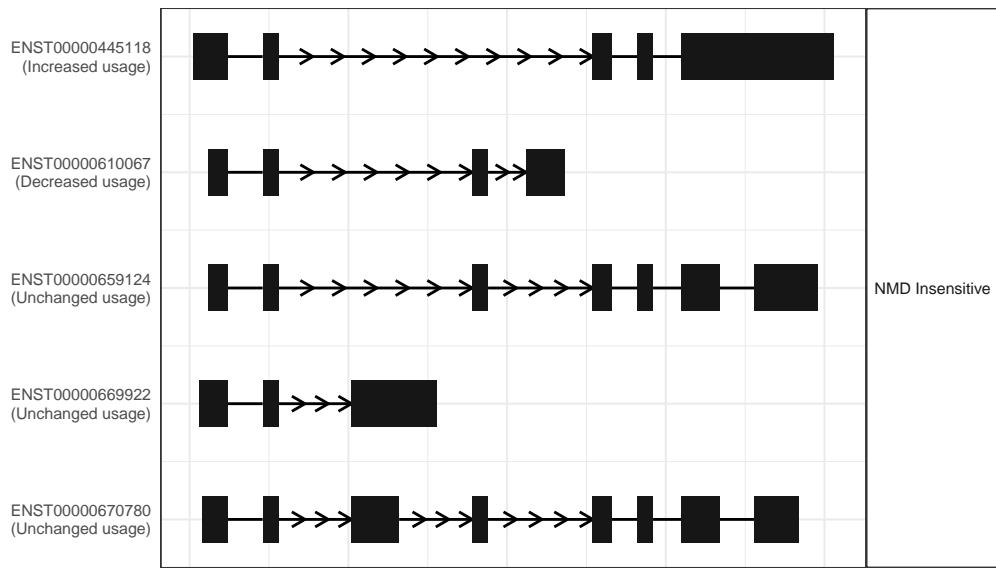
The isoform switch in NEDD4 (RO_D209 vs RO_D45)



The isoform switch in GNAI1 (RO_D209 vs RO_D45)



The isoform switch in LINC01128 (RO_D209 vs RO_D45)



The isoform switch in TBC1D7 (RO_D209 vs RO_D45)

